

Universidade Federal de Campina Grande Centro de Tecnologia e Recursos Naturais PÆs-gradua ´² o em Engenharia Civil e Ambiental E rea de concentra ´² o `Recursos H°dricos e Saneamento Ambiental_

ANELISE DE PERDAS DE EGUA POR MEIO DE OTIMIZA¤ ÚO PARA O PROJETO DE INTEGRA¤ ÚO DO RIO SÚO FRANCISCO, EIXO LESTE - BACIA DO RIO PARAPBA

Virgonia da Costa Brito

Campina Grande - PB Fevereiro de 2019

Virgºnia da Costa Brito

ANELISE DE PERDAS DE EGUA POR MEIO DE OTIMIZA¤ ÚO PARA O PROJETO DE INTEGRA¤ ÚO DO RIO SÚO FRANCISCO, EIXO LESTE ⁻ BACIA DO RIO PARAPBA

Disserta´²o apresentada ao programa de PÆs-Gradua´²o em Engenharia Civil e Ambiental, Universidade Federal de Campina Grande, ®ea de concentra´²o Engenharia de Recursos H°dricos, em cumprimento sexig, ncias para obten´²o do grau de Mestre.

Orientador: Prof. Dr. Wilson Fadlo Curi

Coorientador: Prof. Dr. V alterlin da Silva Santos

Campina Grande - PB Fevereiro de 2019 B862a Brito, Virginia da Costa.

Análise de perdas de água por meio de otimização para o projeto de integração do rio São Francisco, eixo leste – bacia do rio Paraíba / Virgínia da Costa Brito. – Campina Grande, 2019.

107 f.: il. color.

Dissertação (Mestrado em Engenharia Civil e Ambiental) – Universidade Federal de Campina Grande, Centro de Tecnologia e Recursos Naturais, 2019.

"Orientação: Prof. Dr. Wilson Fadlo Curi, Prof. Dr. Valterlin da Silva Santos".

Referências.

 Recursos Hídricos.
 Escassez Hídrica.
 Rio São Francisco – Transposição.
 Escassez Hídrica – Perdas e Otimização.
 Curi, Wilson Fadlo.
 II. Santos, Valterlin da Silva. III. Título.

CDU 556.18(043)

FICHA CATALOGRÁFICA EL ABORADA PELA BIBLIOTECÁRIA SEVERINA SUELI DA SILVA OLIVEIRA CRB-15/225

PARECER FINAL DO JULGAMENTO DA DISSERTAÇÃO DA MESTRANDA

VIRGÍNIA DA COSTA BRITO

TÍTULO: "ANÁLISE DE PERDAS DE ÁGUA POR MEIO DE OTIMIZAÇÃO PARA O PROJETO DE INTEGRAÇÃO DO RIO SÃO FRANCISCO, EIXO LESTE – BACIA DO RIO PARAÍBA"

| COMISSÃO EXAMINADORA | PARECER |
|----------------------------------------------------------|-----------|
| Malon Head | APROVADO |
| Prof. Wilson Fadlo Curi – Dr. | |
| Valteli de Silva Sauls | APROVA DU |
| Prof. Valterlin da Silva Santos - Dr. | |
| Payse brina Barboja | APROUADAL |
| Prof. ^a Dayse Luna Barbosa – Dr. ^a | |
| ain 1 | ADAVAJGA |
| Prof. Camilo Allyson Simões de Farias – Dr. | |

Campina Grande, 26 de fevereiro de 2019

Dedico essa realiza² o primeiramente a Deus, por sempre ter me mostrado o caminho a ser seguido e aos meus pais Vilma e Jos¶ Ariosvaldo, por se dedicarem na minha educa² o e estarem sempre ao meu lado.

AGRADECIMENTOS

A cima de tudo a Deus, por ter permitido que eu chegasse neste momento da minha vida profissional, por estar sempre ao meu lado me guiando e mostrando o caminho a ser seguido.

A os meus pais, Vilma Maria e Jos¶ Ariosvaldo, por todos os ensinamentos transferidos, por todo o empenho na minha educa´²o, por sempre me apoiarem e me darem todo o suporte necess®io. Tudo que conquistei e conquistarei devo a eles.

A os meus irm² os Arthur e Arilma, por todo o carinho em todos esses anos, por toda a prote´² o que sempre tiveram comigo.

A o meu namorado J o² o A rthur, pelo apoio, parceria e amizade, me trazendo sempre as melhores palavras e conselhos.

A os professores do PPGECA por todo o suporte ofertado nessa jornada, em especial aos meus orientadores Dr. Wilson Fadlo Curi e Dr. Valterlin da Silva Santos, por todos os ensinamentos passados e pelo empenho nesse trabalho.

A os meus colegas do PPGECA, pela companhia nessa jornada e por todos os conhecimentos compartilhados.

A o CNPq, pelo suporte financeiro durante o per^oodo de estudos, e a todos que contribu^oram direta ou indiretamente para a conclus² o desse trabalho.

RESUMO

Diante de um cen®io recorrente de escassez hodrica no semi®ido nordestino devido as causas clim@icas caracterosticas da regio, o Projeto de Integra o do Rio So Francisco (PISF) trouxe esperan'a para a popula'²o que necessita dessas ®guas. No Estado da Paraºba, atrav¶s do Eixo Leste, a bacia hidrogr®ica do Rio Paraºba, recebe as ®guas da transposi ´² o garantindo o suprimento hºdrico de todo o trecho do rio, bem como dos quatro reservatArios em s¶rie - Po´Þes, Camalaß, Boqueir²o e Acau² receptores da vaz² o de ®gua do projeto. O PISF foi planejado e executado por meio de constru´² o de canais abertos, onde a ®qua ¶transportada em contato direto com o meio externo, acarretando em consider®reis perdas hºdricas para o sistema. Devido a importºncia desse sistema para a regi²o e a preocupa´²o com a gest²o hºdrica da mesma, cabe o questionamento sobre como a ®gua pode ser distribuºda e utilizada a partir de sua chegada a bacia do rio Paraºba de forma a minimizar perdas de @gua e de ordem financeira. Dessa forma, o objetivo desta pesquisa ¶ estudar o comportamento das perdas em tronsito no rio e por evapora 2º nos quatro reservatærios em s¶rie, que s² o receptores da vaz² o ex*A*gena do PISF, e calcular os custos das perdas hºdricas para cada cen®io. Para isso, criou-se guatro cen®ios, que levam em considera²o a forma atual da transposi²o e cen®ios com proposta de uma nova adutora at¶ a ETA (Esta ´² o de Tratamento de Ξ gua) de Gravat® localizada no municºpio de Queimadas ¯ PB, transportando parte da vaz²o do projeto de integra²o. Consideram-se cen®ios com os usuais perºmetros irrigados da @ea de estudo e tamb¶m com restri´bes de @ea irrigada de acordo com a Resolu´²o Conjunta ANA/AESA nl 87 de 5 de novembro de 2018. Os cen®ios foram avaliados por meio de um modelo de otimiza´²o multiobjetivo baseado em Programa² o Linear Sucessiva, criado por Santos (2011), para um perºodo de 6 anos (2012 a 2017), o qual foi marcado pela forte seca na regi²o em que os reservatÆrios chegaram a um nºvel crºtico de acumula´2o. Os resultados obtidos mostraram que as demandas de abastecimento urbano e irriga 2º foram atendidas plenamente em todos os cen®ios. A vaz²o m®ima estimada para o canal de integra´²o A cau²-A ra´agi n²o ¶ sustent®rel, pois sua demanda n²o foi atendida em totalidade, e sobrecarrega todo o sistema, principalmente o reservatÆrio A cau². Conclui-se que os cen®ios que propÞem o transporte de parte da vaz²o por meio de adutora, demonstraram maior efici ncia com rela´2 o a menores perdas hºdricas e consequentemente menores custos, tendo uma economia da ordem de 11,1 a 16,8 milhes de reais por ano. As limita pes impostas aos perometros irrigados pela Resolu'2º Conjunta ANA/AESA nl 87, n2º trouxeram xito aos seus objetivos de diminuir o volume de ®gua consumido, na otimiza²o ocorreu o oposto, isto ¶ acarretando em maiores perdas hºdricas para o sistema, custando a mais 3,1 milhÞes de reais ao ano.

Palavras-chave: escassez hºdrica; transposi ´² o; perdas; otimiza ´² o.

ABSTRACT

On a recurrent water scarcity scenario in the northeastern semi-arid region due to the characteristic climatic causes of the region, the S2 o Francisco River Integration Project (PISF) has brought hope to the population that needs these waters. In the State of Para^oba, through the east axis, the watershed of the Para^oba River receives the waters of transposition guaranteeing the water supply of the whole stretch of the river, as well as the four reservoirs of the series - Po'Pes, Camalau, Boqueir2 o and Acau² which are receivers of the project's water flow. The PISF was planned and executed through the construction of open channels, where the water is transported in direct contact with the external environment, leading to considerable water losses for the system. Due to the importance of this system for the region and the concern with its water management, a question is placed about how this water can be distributed an used when it reaches the Para^oba river basin in a way that water and financial losses can be minimized. Thus, the objective of this research is to study the behavior of water losses in transit along the river and by evaporation in the four reservoirs in series, which are recipients of the exogenous PISF flow, and calculate the costs of water losses for each scenario. For this, four scenarios were created taking into account the current form of transposition and scenarios with a proposal of a new pipeline to the ETA (Water Treatment Station) of Gravat® located in the city of Queimadas, in Paraoba, transporting part of the flow of the integration project. Scenarios with the usual irrigated perimeters of the study area and also with irrigated area restrictions according to the ANA / AESA Joint Resolution No. 87 of November 5, 2018, were both considered. The scenarios were evaluated by means of a multiobjective optimization model based on Sucessive Linear Programming, created by Santos (2011), for a period of 6 years (2012 to 2017), which was marked by the strong drought in the region where the reservoirs reached a critical level of accumulation. The results showed that the demands of urban supply and irrigation were fully met in all scenarios. The maximum estimated flow rate for the Acau²-Ara´agi integration channel is not sustainable, since its demand has not been fully met, and it overloads the entire system, especially the Acau² reservoir. It can be concluded that the scenarios that propose the transportation of part of the flow through a pipeline, showed greater efficiency in relation to lower water losses and consequently lower costs, with an economy in the range of 11.1 to 16.8 million Reais per year. The limitations imposed on the irrigated perimeters by the Joint Resolution ANA / AESA nl 87, did not bring success to their objectives of reducing the volume of water consumed, in the optimization process occurred the opposite, that resulted in greater water losses for the system, costing a further 3,1 million Reais per year.

K eywords: water scarcity; transposition; losses; optimization.

LISTA DE ILUSTRA¤ ǚ ES

| Figura 1 - Localiza 2 o dos Eixos do Projeto |
|-----------------------------------------------------------------------------------------------------------------------------------------------------------------|
| Figura 2 - Mapa da Bacia Hidrogr®ica do Rio Paraºba30 |
| Figura 3 - Procedimento metodol Ægico da pesquisa34 |
| Figura 4 - Layout do sistema para o Cen®io C136 |
| Figura 5 - Layout do sistema para o Cen®io C237 |
| Figura 6 - Polºgono de Thiessen com os postos pluviom¶tricos |
| Figura 7 - Esquema f°sico do modelo SMAP mensal |
| Figura 8 - Diagrama representando os componentes do reservatÆrio avaliados pelo |
| model o |
| Figura 9 - Fluxograma do modelo de otimiza ´² o |
| Figura 10 - Exemplo fict ^o cio de descarga em reservatÆrio |
| Figura 11 - Volume de ®gua e vertimento do reservatÆrio Mucutu de 2012 a 2017 60 |
| Figura 12 - Volume de ®gua e vertimento do reservatÆrio Tapero®II de 2012 a 2017 61 |
| Figura 13 - Volume de ®gua do reservatÆrio Soledade de 2012 a 201761 |
| Figura 14 - Volume de ®gua do reservatÆrio Serra Branca II de 2012 a 2017 61 |
| Figura 15 - Volume de ®gua e vertimento do reservatÆrio Sum¶de 2012 a 2017 62 |
| Figura 16 - Volume de ®gua do reservatÆrio Santo Ant×nio de 2012 a 2017 62 |
| Figura 17 - Volume de ®gua do reservatÆrio Cordeiro e atendimento da adutora do |
| Congo no perºodo de 2012 a 201763 |
| Figura 18 - A tendimento das demandas de abastecimento urbano no Cen®rio C1 64 |
| Figura 19 - A tendimento das demandas agr ^o colas do Cen®io C164 |
| Figura 20 - A tendimento da demanda do canal A cau² - A ra´agi no Cen®io C1 65 |
| Figura 21 - V az² o defluente do reservatÆrio A cau² no Cen®rio C1 |
| Figura 22 - V olume de ${}^{\circ}\!\!\!\!$ gua dos reservat ${}^{\circ}\!\!\!\!\!$ Erios receptores da vaz 2 o do PISF no Cen ${}^{\circ}\!\!\!\!\!\!\!$ io |
| C1 |
| Figura 23 - V ertimento nos reservatÆrios no Cen®io C1 |
| Figura 24 - Perdas hºdricas (hm \rlap{B}) por evapora $^{'2}$ o e em leito de rio no Cen $^{@}$ io C1 71 |
| Figura 25 - A tendimento das demandas de abastecimento urbano no Cen®io C2 73 |
| Figura 26 - A tendimento das demandas agrºcolas do Cen®io C273 |
| Figura 27 - A tendimento da demanda do canal A cau² - A ra´agi no Cen®io C1 74 |
| Figura 28 - Volumes de ®gua dos reservatAfrios receptores da vaz²o do PISF no |
| Cen®io C2 |

| Figura 29 - V az² o defluente do reservatÆrio A cau² no Cen®io C2 | 76 |
|-------------------------------------------------------------------------------------|----|
| Figura 30 - V ertimento nos reservatÆrios no Cen®io C2 | 76 |
| Figura 31 - Perdas hºdricas (hmB) por evapora ´² o e em leito de rio no Cen®io C2 | 77 |
| Figura 32 - A tendimento das demandas de abastecimento urbano no Cen®io C3 | 79 |
| Figura 33 - A tendimento das demandas agrºcolas do Cen®io C3 | 80 |
| Figura 34 - A tendimento para o canal A cau² - A ra´agi no Cen®io C3 | 80 |
| Figura 35 - Volumes de ®gua dos reservatÆrios receptores da vaz²o do PISF | no |
| Cen®io C3 | 81 |
| Figura 36 - Vaz²o defluente do reservatÆrio Acau² no Cen®rio C3 | 82 |
| Figura 37 - V ertimento nos reservatÆrios no Cen®io C3 | 83 |
| Figura 38 - Perdas hºdricas (hmÞ) por evapora ´² o e em leito de rio no Cen®io C3 | 84 |
| Figura 39 - A tendimento das demandas de abastecimento urbano no Cen®io C4 | 85 |
| Figura 40 - A tendimento das demandas agrºcolas do Cen®io C4 | 86 |
| Figura 41 - A tendimento para o canal A cau²-A ra´agi no Cen®io C4 | 86 |
| Figura 42 - Volumes de ®gua dos reservatÆrios receptores da vaz²o do PISF | no |
| Cen®io C4 | 87 |
| Figura 43 - V az² o defluente do reservatÆrio A cau² no Cen®rio C4 | 88 |
| Figura 44 - V ertimento nos reservatÆrios no Cen®io C4 | 89 |
| Figura 45 - Perdas hºdricas (hmB) por evapora ´² o e em leito de rio no Cen®io C4 9 | 90 |
| Figura 46 - Perda hºdrica m¶dia anual de cada cen®io para o perºodo analisado9 | 91 |

LISTA DE TABELAS

| Tabela 1- Precipita ² o m¶dia (mm) dos postos pluviom¶tricos mais prÆximos aos |
|---------------------------------------------------------------------------------------------------------------------------------|
| reservatÆrios no perºodo de 2012 a 201739 |
| Tabela 2 $^-$ VazÞes afluentes m \P dias (mE/s) nos reservatÆrios no per $^\circ$ odo de 2012 a |
| 201741 |
| Tabela 3 - Evapora $^{\prime 2}$ o m ¶ dia mensal (mm) dos reservat $^{\H}$ Erios e valores de K t42 |
| Tabela 4 - Vaz Pes requeridas (mE/s) para as adutoras no perºodo de 2019 a 202443 |
| Tabela 5 $^{-}$ V az² o das @eas agrºcolas para os Cen®ios C1 e C2 (L/s)43 |
| Tabela 6 $^-$ V az 2 o das $^{\circ}$ eas agr $^{\circ}$ colas para os Cen $^{\circ}$ eios C3 e C4 (L/s)44 |
| Tabela 7 $^-$ V olumes dos reservat $A\overline{r}$ ios (hm \overline{b}) |
| Tabela 8 $^-$ Indicadores de Hashimoto para o a demanda do Canal A cau 2 -A ra $^\prime$ agi no |
| Cen®io C165 |
| Tabela 9 $^-$ Evapora $^{\prime 2}$ o m \P dia mensal dos reservat $A\!r\!r$ ios no Cen \Re io C166 |
| Tabela 10 ⁻ Phdices de Efici, ncia associados aos reservatÆrios no Cen®io C169 |
| Tabela 11 $^-$ V olume anual das perdas h $^{\circ}$ dricas por evapora $^{\prime}{}^{2}$ o e leito do rio para o |
| Cen®io C172 |
| Tabela 12 $^-$ Indicadores de Hashimoto para o a demanda do Canal A cau 2 -A ra´agi no |
| Cen®io C274 |
| Tabela 13 - Evapora´²o m¶dia mensal dos reservatÆrios no Cen®io C276 |
| Tabela 14 - Phdices de Efici, ncia associados aos reservatÆrios no Cen®io C277 |
| Tabela 15 $^-$ V olume anual das perdas h $^{\circ}$ dricas por evapora $^{\prime}{}^{2}$ o e leito do rio para o |
| Cen®io C2 |
| Tabela 16 $^-$ Indicadores de Hashimoto para o a demanda do Canal A cau 2 -A ra´agi no |
| Cen®io C380 |
| Tabela 17 - Evapora´²o m¶dia mensal dos reservatÆrios no Cen®io C382 |
| Tabela 18 $^-$ Phdices de Efici, ncia associados aos reservat $A\!\!\mathrm{F}$ ios no Cen $\!^\circ$ en Cen $\!^\circ$ en Ca83 |
| Tabela 19 $^-$ V olume anual das perdas h $^{\circ}$ dricas por evapora $^{\prime}{}^{2}$ o e leito do rio para o |
| Cen®io C384 |
| Tabela 20 $^-$ Indicadores de Hashimoto para o a demanda do Canal A cau 2 -A ra´agi no |
| Cen®io C487 |
| Tabela 21 - Evapora '2 o m¶dia mensal dos reservatÆrios no Cen®io C488 |
| Tabela 22 ⁻ Phdices de Efici, ncia associados aos reservatÆrios no Cen®io C489 |

| Tabela 23 $^{-}$ V olume anual das perdas h $^{\circ}$ dricas po | or evapora´²o e leito do rio para o |
|------------------------------------------------------------------|-------------------------------------|
| Cen®io C4 | 90 |
| Tabela 24 ⁻ Economia de ®gua e financeira anuais | 92 |

LISTA DE ABREVIA¤ Ŭ ES

AESA Ag, ncia Executiva de Gest² o das E guas do Estado da Paraºba

ANA Ag ncia Nacional de Eguas

CAGEPA Companhia de Egua e Esgotos da Paraºba

CISDERGO - Cropping and Irrigation System Design with Optimal Reservoir and Groundwater Operation

DNOCS - Departamento Nacional de Obras Contra a Seca

DNOS - Departamento Nacional de Obras e Saneamento

DTDQ Demanda nas tomadas de ®gua

ETA Esta 2 o de Tratamento de E gua

FO - Fun'2 o Objetivo

GAMS - General Algebraic Modeling System

GAMS/MINUS - Modular In-Core Nonlinear Optimization System

GAMS/ZOMM - Zero/One Optimization Model

HOPDM - Higher Order Primal-Dual Method

IBGE ⁻ Instituto Brasileiro de Geografia e Estat^ostica

IOCS - Inspetoria de Obras Contra as Secas Contra as Secas

MI - Minist¶rio da Integra '2 o

MODSIM - Modeling and Simulation

ORNAP - Optimal Reservoir Network Analysis Program

PD - Programa '2 o Dinº mica

PISF - Projeto de Integra ² o do Rio S² o Francisco

PL ⁻ Programa ² o Linear

PNL ⁻ Programa² o N² o Linear

RIMA - RelatÆrio de Impacto Ambiental

SNIS ⁻ Sistema Nacional de Informa 'Pes sobre Saneamento

VRM - Volume meta dos reservatÆrios

SUMERIO

| CAPPTULO I - INTRODU¤ ú O E OBJETIV OS16 |
|----------------------------------------------------------------------------------------------------------|
| 1 INTRODU¤ ú O |
| 1.1 OBJ ET IV OS |
| 1.1.1Objetivo Geral18 |
| 1.1.2 Objetivos Especºficos |
| CAPPTULO II - REVISÚO BIBLIOGRE FICA20 |
| 2.1 MODELOS MATEMETICOS PARA AUX PLIO NA GESTÚO HPDRICA 20 |
| 2.1.1 Simula ´² o |
| 2.1.2 Otimiza´²o |
| 2.1.3 Utiliza´²o de ferramentas computacionais para opera´²o de reservatÆrios 23 |
| 2.2 DETALHES DO PISF COM BACIAS HIDROGREFICAS DO NORDESTE |
| SETENTRIONAL27 |
| 2.2.1 Objetivos gerais do PISF27 |
| 2.2.2 Detal hes executivos do PISF |
| CAPPTULO III - METODOLOGIA30 |
| 3.1 E REA DE ESTUDO |
| 3.1.1 Sub-bacia do Rio Tapero® |
| 3.1.2 Regi² o do A Ito Curso do Rio Paraºba |
| 3.1.3 Regi²o do M¶dio Curso do Rio Paraºba31 |
| $3.2~\text{DESCRI}$ º \circ O DOS RESERVAT \circ RIOS RECEPTORES DA VAZ \circ O DO PISF \circ 32 |
| 3.2.1 A ´ude Po´Þes |
| 3.2.2 A ´ude Camalaß |
| 3.2.3 A ´ude E pit®io Pessoa (Boqueir²o) |
| 3.2.4 A ´ude A rgemiro de Figueiredo (A cau²) |
| 3.3 PROCEDIMENTOS METODOLΦGICOS34 |
| 3.3.1 Delineamento dos Cen®ios |
| 3.3.2 Levantamento dos dados do sistema |
| 3.3.3 Dados estruturais dos reservat/Frios |
| 3.4 CRIT§RIOS OPERACIONAIS |
| 3.4.1 Modelo de Simula´²o |
| 3.4.2 Modelo de otimiza´²o quantitativo |
| 3 4 3 Indicadores de desemnenho 53 |

| 3.4.4 Phdices de efici, ncia associados aos reservat/Frios | 56 |
|------------------------------------------------------------|-----|
| CAPPTULO IV - RESULTADOS E DISCUSSŰO | 60 |
| 4.1 RESULTADOS DA SIMULA¤ΰO | 60 |
| 4.2 RESULTADOS DA OTIMIZA¤ Ű O | 63 |
| 4.2.1 Cen®io C1 | 63 |
| 4.2.2 Cen®io C2 | 72 |
| 4.2.3 Cen®io C3 | 78 |
| 4.2.4 Cen®io C4 | 85 |
| 4.3 RESUMO DAS PERDAS E DOS CUSTOS DOS CENERIOS | 91 |
| 5 CONCLUS ČES E RECOMENDA ¤ ČES | 93 |
| REFERNNCIAS | 96 |
| A NEX OS | 103 |

CAPPTULO I - INTRODU¤ ÜO E OBJETIVOS

1 INTRODU¤ ű O

Os recursos hºdricos e seus usos mßltiplos representam um dos grandes desafios para as sociedades atuais. A crescente necessidade por @gua pot@vel, em combina´²o com a diminui´²o da sua disponibilidade, tanto no seu aspecto quantitativo quanto qualitativo, tem intensificado os conflitos pelo acesso, uso, consumo e gest²o desse recurso, constituindo-se um problema de dimensÞes ecolÆgica, cultural, social e de polºtica de gest²o pßblica (BRITO, 2008).

Essa quest² o ¶ intensificada com as condi´Þes naturais do ambiente em que est®inserido o Estado da Paraºba, onde maior parte do territÆrio est®localizada numa regi² o de clima semi®ido, caracterizado por chuvas bastante irregulares a nºvel espa´o-temporal, ºndices pluviom¶tricos baixos e com perdas evaporativas nos reservatÆrios muito altas quando comparadas a outras regiÞes do Brasil (VIEIRA, 1996).

O semi®ido paraibano sofre frequentemente com secas prolongadas que dificulta o atendimento das demandas hºdricas tanto de abastecimento humano como para a irriga´²o de ®eas agr°colas, a pr®ica da piscicultura extensiva e/ou intensiva, entre outros usos.

De acordo com Farias et al. (2017), para amenizar o problema da escassez hºdrica foram construºdas, no territÆrio estadual, v®ias barragens de modo a garantir o abastecimento em perºodos de crise. Devido ¯s incertezas clim®icas, a maior parte desses reservatÆrios s² o operados para manter o maior volume armazenado possºvel, dando prioridade apenas ao abastecimento e limitando os outros usos. Tal polºtica gera conflitos e, ainda, aumenta as perdas por evapora ´² o e vertimentos.

Entretanto, R, go et al. (2000) relata que, durante a ocorr, ncia da seca de 1997-1999, diante da amea´a de colapso total do abastecimento urbano da cidade de Campina Grande (2Ł maior cidade do Estado da Paraºba e do interior do Nordeste), representado pelo baixo nºvel a que ficou reduzido o volume d´®gua acumulado no reservatÆrio Epit®rio Pessoa (2Ł maior reservatÆrio do Estado da Paraºba), foi necess®rio a implanta´²o de um regime de racionamento da distribui´²o de ®gua, que teve inºcio no segundo semestre de 1998 e prolongou-se at¶os primeiros meses do ano 2000. Ao racionamento seguiu-se a suspens²o, por medida judicial, da irriga´²o que

vinha sendo praticada, sem nenhum controle t¶cnico, nas margens do a´ude e o fechamento da comporta de descarga de fundo para a pereniza´²o do rio Paraºba.

Durante a seca que se iniciou no ano de 2012, diversas cidades paraibanas sofreram com longos racionamentos no sistema de distribui²o de ®gua e nas atividades agropastoril devido aos baixos volumes de ®gua armazenados nos reservatÆrios da regi²o.

No caso do reservatÆrio Epit®io Pessoa, em mar´o de 2013, o Minist¶rio Pßblico e o DNOCS (Departamento Nacional de Obras Contra a Seca) decretaram a suspens² o da irriga´²o em torno do a´ude, devido ¯ perda de cerca 128 milhÞes de metros cßbicos de ®gua no perºodo de fevereiro de 2012 a fevereiro de 2013. Em dezembro de 2014 a CAGEPA (Companhia de E guas e Esgoto do Estado da Paraºba) iniciou um racionamento de ®gua de 02 (dois) dias na cidade de Campina Grande e mais 18 cidades da regi²o. Em outubro de 2015, quando o reservatÆrio estava com 14% de sua capacidade de armazenamento, houve a amplia´²o do racionamento para 05 (cinco) dias. Entretanto, como n²o houve precipita´bes suficientes para elevar o nºvel d´®gua do reservatÆrio, em dezembro de 2015, quando o reservatÆrio estava com menos de 10% de sua capacidade, a CAGEPA instalou um sistema de capta´²o flutuante no reservatÆrio de modo a garantir o abastecimento dos centros urbanos. Contanto, em julho de 2016 o nºvel de ®gua do reservatÆrio atingiu o volume morto, diminuindo at¶ atingir a marca histÆrica de apenas 2,9% da sua capacidade de armazenamento (11,97 milhÞes de metros cßbicos), em abril de 2017.

Para minimizar as consequ, ncias das secas na regi²o, foi idealizado o Projeto de Integra´²o do Rio S²o Francisco (PISF) com Bacias Hidrogr®icas do Nordeste Setentrional atrav¶s de dois eixos ¯ Eixo Norte e Eixo Leste. O objetivo do projeto ¶ assegurar a oferta de ®gua, com garantia de atendimento para a popula´²o; fornecer ®gua de forma complementar para a´udes existentes na regi²o, viabilizando uma melhor gest²o da ®gua, e reduzir as diferen´as regionais causadas pela oferta desigual da ®gua entre bacias e popula´Þes (RIMA, 2004).

No Estado da Paraºba ¶ beneficiada a bacia do rio Piranhas-A ´u ¯ atrav¶s do Eixo Norte ¯ e a bacia do rio Paraºba ¯ atrav¶s do Eixo Leste. Esta ßltima ¶ respons®vel pelo abastecimento da cidade de Campina Grande.

Em mar´o de 2017 as ®guas do PISF chegaram — cidade de Monteiro — PB (divisa com o Estado de Pernambuco), sendo que apÆs 41 dias de percurso no leito do rio Paraºba elas chegaram ao reservatÆrio Epit®cio Pessoa, aumentando o nºvel de ®gua

gradativamente. Em agosto de 2017 o reservatÆrio atingiu novamente o seu volume morto, de modo que a CAGEPA suspendeu totalmente o racionamento de ®gua para Campina Grande e mais 18 cidades abastecidas pelo reservatÆrio.

De acordo com Farias et al. (2017), a proposta do PISF ¶ de transportar toda vaz² o exÆgena atrav¶s do leito do rio (como est®sendo atualmente), mas isso aumenta significativamente as perdas em tronsito por infiltra ´² o, evapora ´² o, desvios, etc., e como essa ®gua perdida tem um custo fixo relativamente alto, uma solu ´² o vi®vel para reduzir as perdas seria transportar parte dessa vaz² o por meio de uma adutora at¶ os pontos de consumo.

Al¶m disso, faltam projetos para analisar como a @gua ser® utilizada pelas bacias receptoras, tornando imprescindºvel o planejamento dos recursos hºdricos dos reservatÆrios receptores no sentido de promover o uso eficiente e racional das disponibilidades hºdricas entre os mßltiplos usu®ios de forma integrada e otimizada. Esse planejamento dever®possibilitar a atenua´²o do desequilºbrio entre a oferta e a demanda de @gua, promovendo o desenvolvimento sustent®vel dos sistemas produtivos que usam a @gua como insumo b®ico.

Diante disto, o presente trabalho traz um estudo sobre uma poss°vel forma de transportar parte da vaz² o exÆgena advinda do PISF e maneiras de como utilizar essa vaz² o na bacia do rio Para°ba, objetivando o melhor aproveitamento do uso dos recursos hºdrico em quest² o e avaliando as perdas hºdricas e financeiras decorrentes do percurso da ®gua no leito do rio e por evapora ´² o nos reservatÆrios.

Para tanto, criou-se cen®ios que se diferenciam pela forma de transportar a vaz²o do projeto e pelo uso das ®guas. Estes cen®ios foram analisados por meio de um modelo de otimiza´²o multiobjetivo, baseado em Programa´²o Linear Sucessiva, desenvolvido por Santos et al. (2011), para um horizonte de tempo de 6 anos (2012-2017), perºodo este caracterizado por uma das piores secas sofridas pela regi²o de estudo.

1.1 OBJ ETIVOS

1.1.10bjetivo Geral

O objetivo desta pesquisa ¶ estudar potenciais formas de transporte e de utiliza´²o da vaz²o exÆgena advinda do PISF na bacia do rio Paraºba e promover um

melhor aproveitamento do uso dos recursos hºdricos do sistema, atrav¶s de um modelo de otimiza ´² o multiobjetivo, avaliando as perdas hºdricas e financeiras decorrentes do percurso da ®gua no leito do rio e por evapora ´² o nos reservatÆrios.

1.1.2 Objetivos Especoficos

Dentre os objetivos especoficos, podem ser citados:

- ¿ Propor cen®ios de opera´²o do sistema com a implementa´²o de uma possºvel adutora para transportar parte da vaz²o exÆgena do PISF at¶ Esta´²o de Tratamento de E gua (ETA) de Gravat® bem como o aumento da demanda agrºcola do sistema;
- ¿ Avaliar o comportamento operacional do sistema hodrico atrav¶s de indicadores de desempenho de atendimento s demandas e indicadores de efici, ncia associados aos reservatÆrios, considerando um perodo de seca hidroclim®ica (2012-2017);
- ¿ Quantificar os volumes de @gua perdidos por evapora´²o nos reservatÆrios e percurso da @gua no leito do rio nos cen@ios propostos;
- ¿ Estimar o retorno financeiro da implementa 2º o de uma adutora para transportar parcela da @gua do PISF, bem como do aumento da demanda agrocola do sistema.

2.1 MODELOS MATEMETICOS PARA AUX PLIO NA GESTÚO HPDRICA

Diante da problem®ica mundial de escassez hºdrica, ¶notÆria a necessidade de inser´²o de novas pr®icas e tecnologias no uso dos recursos hºdricos que visem otimiza´²o na condu´²o e na efici, ncia dos sistemas de aplica´²o da ®gua. Para tanto a falta de investimentos na infraestrutura das bacias hidrogr®icas comprometem o melhor aproveitamento dos recursos dispon°veis (MENDOZA et al., 2012).

Para Assis e Vieira (2015) a @gua ¶um recurso natural essencial ¯ vida, por¶m limitada devido ¯ degrada´²o ambiental atual e o crescimento das demandas dos diferentes usos mßltiplos, que exige cada vez mais mecanismos que conduzam a uma utiliza´²o eficiente e racional deste bem.

Sendo assim, na busca de solu´Pes para os complexos problemas de planejamento e gest² o dos recursos hºdricos, lan´a-se m² o de utiliza´² o de t¶cnicas e ferramentas capazes de auxiliarem nos processos de an®ise, opera´² o, planejamento e tomadas de decis² o em sistemas de recursos hºdricos. Os estudos de alternativas operacionais, em sistemas de recursos hºdricos, s² o comumente feitos atrav¶s de aplica´² o de complexas metodologias matem®icas e computacionais, incluindo t¶cnicas de otimiza´² o e simula´² o (Y EH, 1985; SIMONOVIC, 1992; WURBS, 1993 e LABADIE, 2004).

Segundo Lanna (1997), para a an®ise de sistemas de recursos hºdricos, s² o dois os principais propÆsitos: simular o comportamento da realidade e otimizar os processos decisÆrios. Para tanto, as seguintes t¶cnicas s² o comumente utilizadas: a simula′² o e a otimiza′² o. A simula′² o tem como principal caracterºstica flexibilidade, sendo esta considerada uma das principais vantagens, pois permite que todas as caracterºsticas de um sistema sejam representadas por uma descri´² o matem®ica mais detalhada. As t¶cnicas de otimiza´² o buscam identificar a solu´² o que otimize uma determinada fun´² o objetivo que representa matematicamente os objetivos de um sistema a serem melhorados, ordenando-os em rela´² o a sua atratividade, apesar de terem como algumas de suas restri´bes, um modelo matem®ico que simule o comportamento do sistema, estas devem ser, preferencialmente, mais

simples e pouco complexas, dada, em geral, a grande quantidade de equa´Þes que s² o necess®ias para representar o sistema.

Desta forma, os modelos matem®icos, tanto a simula´²o quanto a otimiza´²o, s²o de fundamental importoncia para a gest²o dos recursos hodricos, sendo indispens®vel o uso dessas ferramentas para maximizar a efici, ncia dos usos mßltiplos deste recurso, melhorando assim a seguran´a hodrica de todo um sistema. Assim sendo, Oliveira (2013), ressalta que os modelos matem®icos computacionais s²o uma ferramenta importante de uso contonuo e indispens®vel para realiza´²o de estudos hidrolÆgicos nas diferentes fases do seu planejamento e gerenciamento, sempre buscando o aproveitamento m®imo de cada sistema atrav¶s da busca da melhor alternativa. Com as necessidades impostas naturalmente e o avan´o das t¶cnicas de modelagens e da computa´²o, h® a possibilidade de criar programas de maior complexidade, tendo resultados r®pidos e de Ætima representa´²o do sistema tornando-os mais f®eis e acessoveis para os hidrÆtogos.

Diante dessa situa´²o, a ado´²o de um planejamento Ætimo, com o uso de t¶cnicas de simula´²o e otimiza´²o se fazem necess®ias para utilizar ®gua de forma eficiente, principalmente nos setores que consomem grandes volumes de ®gua. Essas medidas se forem planejadas corretamente ir²o promover a moderniza´²o e a utiliza´²o racional da ®gua, trabalhando com efici¸ ncia, sem prejudicar sua produ´²o e nem causar impactos, de forma negativa, ao meio ambiente (PESSOA et al., 2016).

2.1.1 Simula '2 o

Para Salla et al. (2014), com a crescente necessidade de um planejamento e gerenciamento dos recursos hºdricos adequado a nºvel de bacia hidrogr®ica, fizeram que os modelos de simula´²o fossem cada vez mais aprimorados, aumentando consequentemente a complexidade matem®ica.

Os modelos de simula´²o s²o constituºdos de expressÞes matem®icas estruturadas em sequ, ncia lÆgica capaz de descreverem a opera´²o de um sistema no tempo e no espa´o. O objetivo desses modelos ¶n²o somente representar e operar um sistema de forma detalhada, mas, principalmente, de fornecer informa´bes que permitam a avalia´²o do comportamento real desse sistema (MAUAD, 2000).

Os modelos de simula´² o permitem a gera´² o de cen®ios a partir dos quais se pode orientar o processo de tomada de decis² o, proceder an®ises e avalia´bes de

sistemas que permitam propor a melhoria da performance dos mesmos, fazendo uso de par°metros t¶cnicos e econ×micos. Logo, deve ser concebido como uma abstra ´² o da realidade cujos resultados possibilitam interferirmos na realidade que estamos simulando (BARROS, 2010).

Para Santos (2007), uma vantagem da simula´²o ¶ de se resolver um sistema de reservatÆrios em fun´²o de um instante de tempo de cada vez. Essa caracter°stica reduz o tempo de processamento em rela´²o ¯ otimiza´²o. Assim, seus resultados s²o obtidos em fun´²o das vari®reis no presente e, portanto, na sua an®ise temporal n²o ¶ levado em considera´²o o que ocorre no futuro. A simula´²o ¶ mais apropriada para an®ise de desempenho de alternativas operacionais de longo prazo e representa a opera´²o do sistema com um melhor grau de seguran´a.

De modo geral, pode-se dizer que modelos de simula´²o s²o mais apropriados para an®ise da performance de alternativas operacionais de longo prazo, sendo ßteis para representar a opera´²o do sistema com um grau elevado de seguran´a. A pesar de n²o serem capazes de gerar diretamente uma solu´²o Ætima, podem revelar uma solu´²o pelo menos prÆxima dela, quando poloticas alternativas s²o geradas por meio de numerosas rodadas do modelo (LIMA, 2004).

De modo geral, pode-se dizer que modelos de simula´²o s²o mais apropriados para an®ise do desempenho de alternativas operacionais, principalmente, de longo prazo, sendo ßteis para representar a opera´²o do sistema com um grau elevado de seguran´a (NEPOMUCENO, 2018).

2.1.2 Otimiza 2 o

A otimiza´²o, assim como a simula´²o, ¶ uma ferramenta computacional que auxilia no processo de tomada de decis²o na gest²o de recursos hºdricos. Os modelos de otimiza´²o s²o usados para encontrar a solu´²o Ætima que atenda a um objetivo determinado. A otimiza´²o permite que a solu´²o Ætima do sistema seja encontrada avaliando os valores definidos para as vari®veis de decis²o, maximizando ou minimizando a fun´²o objetivo (FO) que ¶sujeita a restri´bes.

Modelos de otimiza´²o almejam o encontro de uma solu´²o ou configura´²o do modelo que possa atender plenamente a determinados crit¶rios, denominados de crit¶rios de otimiza´²o. De maneira geral, modelos de otimiza´²o checam situa´Þes

em que existem diversas e diferentes poss^oveis formula´ Þes para o modelo. O grau de complexidade de problemas de otimiza´² o tende a aumentar quanto maior for o nßmero de configura´ Þes e de crit¶rios a examinar em um problema (GOLDBARG et al., 2015).

Os modelos de otimiza´²o aplicam-se aos casos em que interessa saber qual ¶a alternativa operacional Ætima do sistema e s²o aplicados, preferencialmente, para um pequeno intervalo de tempo (depende do nßmero de equa´Pes necess®ias para descrever cada estado e da discretiza´²o temporal utilizada). Estes modelos utilizam algoritmos para selecionar, sistematicamente, solu´Pes Ætimas, procurando satisfazer uma fun´²o objetivo e restri´Pes operacionais. N²o existe, por¶m, um procedimento de otimiza´²o que possa resolver eficientemente qualquer tipo de problema. A escolha do modelo de otimiza´²o vai depender da forma, quantidade e propriedades matem®icas da fun´²o objetivo e das restri´Pes (VIEIRA e CURI, 2016).

Em geral, o modelo de otimiza´²o ¶ composto por uma fun´²o objetivo F (X 1, X 2, X 3, ...X n), que se deseja maximizar ou minimizar, onde X 1, X 2, X 3... X n s²o as vari®veis de decis²o do problema. Al¶m da fun´²o objetivo, existem tamb¶m as fun´bes de restri´²o gi (X 1, X 2, X 3... X n), i = 1,2,3, ...m, que passam a determinar a regi²o vi®vel das vari®veis de decis²o. Entre as solu´bes vi®veis, a que satisfaz as restri´bes do problema e garante o melhor valor da fun´²o objetivo ¶ chamada de solu´²o Ætima (PIZZOLATO e GANDOLPHO, 2013).

Na maioria dos casos, os modelos de suporte a decis² o s² o combina´ Þes de t¶cnicas de otimiza´² o e simula´² o. Na primeira, busca-se a alternativa operacional Ætima do sistema e, na segunda, busca-se um refinamento da polºtica operacional, atrav¶s do planejamento e gerenciamento dos recursos hºdricos. Alguns modelos combinam as duas t¶cnicas de simula´² o e otimiza´² o e outros, que utilizam metodologias multiobjetivo, t¸ m sido utilizados no planejamento e gerenciamento de sistema de recursos hºdricos (LIMA, 2004).

Segundo Labadie (2004), h® uma classifica´²o das t¶cnicas de otimiza´²o, como: Programa´²o Linear (PL), Programa´²o Din°mica (PD), Programa´²o N²o-Linear (PNL) e M¶todos Heur°sticos.

2.1.3 Utiliza´² o de ferramentas computacionais para opera´² o de reservatÆrios

A seguir est² o apresentados estudos mais recentes utilizando modelos matem®icos para planejamento de recursos hºdricos:

- Bashiri-Atrabi et al. (2015), desenvolvem uma t¶cnica chamada algoritmo de busca por harmonia, ou harmony search (HS) desenvolvida para otimiza′²o da opera′²o do reservatÆrio no que diz respeito ao controle de inunda′²o. O algoritmo HS ¶ usado para minimizar o d¶ficit de abastecimento de @gua e os danos causados pelas cheias a jusante de um reservatÆrio. A efic@ia do algoritmo HS ¶ avaliada em compara′²o com outras t¶cnicas. A HS mostrou resultados promissores em termos de velocidade de converg, ncia para um valor de fun′²o objetivo ideal em compara′²o com outras t¶cnicas. Os resultados mostram que o algoritmo HS pode ser efetivamente utilizado para opera′²o do reservatÆrio para gerenciamento de inunda′Þes.
 - ¿ Pan et al. (2015), introduzem uma abordagem de otimiza´²o robusta (RO), Regra Iterativa de Decis²o Linear (ILDR), de modo a fornecer uma aproxima´²o trat®vel para um problema de gera´²o de energia hidroel¶trica multiperiÆdica. A abordagem proposta amplia o m¶todo LDR existente, acomodando fun´bes objetivo n²o-lineares. O desempenho do ILDR ¶ comparado com as polºticas de refer¸ ncia, incluindo a polºtica de programa´²o dinºmica estoc®tica de amostragem (SSDP) derivada de dados histÆricos. O ILDR resolve os sistemas de um ou mais servidores mßltiplos com efici¸ ncia. Os resultados do estudo de caso de reservatÆrio ßnico mostram que o m¶todo RO ¶ t²o bom quanto o SSDP quando implementado nos fluxos histÆricos originais e supera a polºtica do SSDP quando testado em entradas geradas com a mesma m¶dia e matriz de covariºncia usuais.
 - ¿ Tiantian Y ang et al. (2015), demonstram a aplica´²o de um Algoritmo de Otimiza´²o Evolutiva, ou Evolutionary Optimization Algorithm (EA) aprimorado, intitulado M¶todo de Otimiza´²o Global de Evolu´²o Complexa Multi-Objetivo com An®ise de Componente Principal e Operador de Dist°ncia de Crowding, ou Multi-Objective Complex Evolution Global Optimization Method with Principal Component Analysis and Crowding Distance Operator (MOSPD), para a opera´²o de reservatÆrio de hidrel¶tricas do Oroville⁻Thermalito Complex (OTC). No estudo de gest²o conjunta de hidrel¶tricas de ®gua do OTC, a n²o-linearidade da gera´²o de energia hidrel¶trica e a rela´²o entre ®gua e

- armazenamento do reservatÆrio s²o explicitamente formuladas por fun´²o polinomial, a fim de se aproximar de situa´Þes realistas e reduzir a lineariza´²o nos erros de aproxima´²o. As solu´Þes do MOSPD proporcionam aos tomadores de decis²o melhores alternativas operacionais para o gerenciamento eficaz e eficiente dos reservatÆrios OTC em resposta aos diferentes climas, especialmente a seca, que se tornou cada vez mais grave e frequente na CalifÆrnia.
- Hamid-Reza Asgari et al. (2016), introduzem o algoritmo de otimiza´²o de plantas daninhas, ou weed optimization algorithm (WOA) para a opera´²o Ætima do reservatÆtio. A efic®tia do WOA ¶ demonstrada com a otimiza´²o de fun´bes matem®ticas e sistemas de reservatÆtios. O WOA ¶ aplicado em formula´bes de tempo contonuo e discreto de otimiza´²o de opera´²o de reservatÆtio e seus resultados s²o comparados com solu´bes Ætimas globais obtidas com programa´²o n²o linear (NLP), programa´²o linear (LP) e algoritmo gen¶tico (GA). Os resultados mostram a r®pida converg, ncia do WOA para solu´bes que est²o muito prÆximas das solu´bes Ætimas globais dos problemas de otimiza´²o do reservatÆtio.
- ¿ Farias et al. (2017), utilizou a simula´²o por meio do software Acquanet para analisar as perdas de @gua na distribui´²o do Projeto de Integra´²o do Rio S²o Francisco pelo Eixo Leste. A nalisa cen@ios de distribui´²o de @gua em termos de perdas de @gua, os quais foram simulados com o modelo Acquanet. Os resultados mostraram que a constru´²o de dutos reduzir®as perdas de @gua e aumentar®o ganho social, atrav¶s do aumento da popula´²o beneficiada.
- ¿ Zhong-kai Feng et al. (2017), mostram o problema do rojido desenvolvimento da energia hidrel prica na China que gera a `maldi´²o da dimensionalidade_ representando um grande desafio para a opera´²o Ætima do sistema hidrel prico (OOHS). A programa´²o dinomica diferencial discreta (DDDP) um motodo closico para aliviar o problema de dimensionalidade da programa´²o dinomica para o OOHS, mas seu requerimento de memÆtia e tempo computacional ainda cresce exponencialmente. A fim de melhorar o desempenho do DDDP, um novo motodo chamado programa´²o dinomica diferencial discreta ortogonal (ODDDP) introduzido para resolver o problema OOHS. O motodo proposto paplicado para a opera´²o Ætima de um sistema hidrel prico de larga escala na China. Os resultados indicam que, em compara´²o com o DDDP padr²o, o ODDDP sÆ precisa de cerca de 0,37% do tempo de computa´²o para obter os resultados com

- cerca de 99,75% de gera´²o no sistema hidrel¶trico, fornecendo uma nova ferramenta eficaz para o problema OOHS em larga escala.
- ¿ Ming B. et al. (2017), para aliviar a carga computacional envolvida em problemas de opera 2 o de reservat Arios restritos em grande escala e restritos, proppem um novo m¶todo de redu'2o de espa'o de busca, ou search space reduction method (SSRM) que considera as restri´Pes de igualdade dispon°vel (por exemplo, equilobrio de @gua) e desigualdade (por exemplo, saoda firme). Com base em um modelo de opera 2º de reservat Ario de energia hidrel¶trica, formularam o SSRM para um ßnico reservatÆrio e um sistema de mßltiplos reservatÆrios, respectivamente. Para validar a efici ncia do SSRM proposto, ¶ individualmente integrado em duas t¶cnicas de otimiza´²o representativas: programa´²o din°mica discreta, ou discrete dynamic programming (DDP) e o algoritmo cuckoo search (CS). Foram utilizados esses m¶todos acoplados para otimizar dois problemas de opera 2º no mundo real do reservatÆrio de Shuibuya e dos reservatÆrios em cascata de Shuibuya-Geheyan-Gaobazhou na China. Os resultados mostram que o SSRM melhora significativamente a efici, ncia de pesquisa das t¶cnicas de otimiza´² o e pode ser integrado em praticamente qualquer m¶todo de otimiza 2º o ou simula 2º o.
- ¿ Y angyang Li et al. (2017), utilizam um modelo de otimiza´²o multiobjetivo melhorado baseado na programa´²o de metas, ou goal programming (GP) para apoiar a opera´²o do reservatÆio, assim, foi desenvolvido sob cen®ios de entrada de mßltiplas taxas de garantia de escoamento e metas ecolÆgicas com a combina´²o de demandas de ®gua ecolÆgica em estado estacion®io e de pulso. Os resultados gerados poderiam cumprir com sucesso as metas operacionais predeterminadas para o projeto. Os resultados da modelagem indicaram que a capacidade de desvio e armazenamento de ®gua para o reservatÆio Danjiangkou seria melhorada devido ¯ opera´²o do Projeto de desvio de ®gua do Sul para o Norte. Os resultados mostraram que os riscos associados a possoveis inunda´bes seriam comparativamente baixos sob as quatro taxas de garantia de escoamento.

2.2 DETALHES DO PISF COM BACIAS HIDROGREFICAS DO NORDESTE SETENTRIONAL

2.2.1 Objetivos gerais do PISF

O objetivo principal do Projeto de Integra´²o do Rio S²o Francisco com Bacias Hidrogr®icas do Nordeste Setentrional ¶ assegurar a oferta de ®gua para uma popula´²o e uma regi²o que sofrem com a escassez e a irregularidade das chuvas. N²o raro, a´bes emergenciais s²o aplicadas para atenuar a situa´²o, mas n²o atingem os pontos centrais do problema: a pouca disponibilidade e a m®distribui´²o de ®gua na regi²o. O Semi®ido Nordestino, na ®ea do Projeto, concentra uma popula´²o de cerca de 12 milhbes de habitantes. Sem ®gua, essa regi²o estar® fadada ao subdesenvolvimento, e a um grande nßmero de brasileiros restar²o poucas alternativas de desenvolvimento social e econ×mico (RIMA, 2004).

Os objetivos b\(\mathbb{B}\)icos do projeto s\(^2\) o:

- ¿ A umentar a oferta de @gua, com garantia de atendimento ao Semi@ido;
- ¿ Fornecer @gua de forma complementar para a´udes existentes na regi²o, viabilizando melhor gest²o da @gua;
- ¿ Reduzir as diferen´as regionais causadas pela oferta desigual da ®gua entre bacias e popula´bes.

O objetivo principal do PISF ¶ levar cerca de 2,3% da vaz²o regularizada do rio S²o Francisco ¯ uma m¶dia de 42,4 mE/s ¯ para ¯s bacias do Cear® do Paraºba e do Rio Grande do Norte; e mais 21,1mE/s (1,2%) destinados ao Estado de Pernambuco, totalizando 63,5 mE/s, o que garantir® a seguran´a da oferta hºdrica para toda a popula´²o beneficiada. Devido ¯s fortes secas e varia´bes clim®icas da regi²o Nordeste, foram cada vez mais sendo utilizadas formas alternativas para suprimento hºdrico, como a execu´²o de cisternas, constru´²o de reservatÆrios, entre outros. O grande problema a ser considerado perante essas alternativas de armazenamento de ®gua, ¶ que devido ¯s condi´bes clim®icas da regi²o, h®forte ºndice de evapora´²o, e se mantidos cheios, esses reservatÆrios acabam n²o sendo aproveitados da melhor forma.

Com o projeto de integra´²o, haver®uma garantia de disponibilidade hºdrica de uma fonte permanente, o rio S²o Francisco, n²o sendo mais necess®io que os a´udes

trabalhem com cotas elevadas. A redu´²o do nºvel de opera´²o dos reservatÆrios acarretar®uma diminui´²o das perdas por evapora´²o e vertimento, representando um ganho de ®gua na regi²o, que aumenta a disponibilidade hºdrica e impulsiona agricultura irrigada e a economia, tal processo denomina-se sinergia hºdrica (FARIAS, 2009).

2.2.2 Detalhes executivos do PISF

A obra do PISF ¶ composta por dois eixos que levam @gua do Rio S²o Francisco para os pontos de capta´²o em CabrobÆ (PE) os quais garantem o suprimento hºdrico de reservatÆrios importantes para a regi²o em diversos estados, como: Castanh²o (CE), Armando Ribeiro Gon´alves (RN), Entremontes (PE), Pau dos Ferros (RN), Santa Cruz (RN), Chap¶u (PE), Po´o da Cruz (PE) e Epit@cio Pessoa (PB).

A maior parte do transporte das @guas ¶ realizada em canais, cerca de 82% do total, o que pode ser questionado devido ¯ grandes perdas hºdricas que ocorrem no sistema. A l¶m desses canais, tamb¶m ser®lan´ada boa parte da @gua em leitos de rios para condu´² o de seu destino final.

O PISF beneficia as seguintes bacias hidrogr@icas da regi²o Nordeste (Figura 1):

- ¿ Do rio Jaguaribe, no Cear®
- ¿ Do rio Piranhas-A ´u, na Paraºba e Rio Grande do Norte;
- ¿ Do rio A podi, no Rio Grande do Norte;
- ¿ Do rio Paraºba, na Paraºba;
- ¿ Dos rios MoxotÆ Terra Nova e Br^ogida, em Pernambuco, na bacia do rio S² o Francisco.



Figura 1 - Localiza´²o dos Eixos do Projeto

Fonte - RIMA, (2004)

A defini ´²o do melhor tra´ado a ser percorrido pelos canais do Projeto de Integra´²o leva em conta aspectos t¶cnicos, econ×micos e ambientais, ou seja, estuda o melhor caminho para conduzir a ℚgua, da forma menos custosa possºvel, e procura interferir o mºnimo na natureza, levando o mℚsimo de benefºcios para a popula´²o do entorno dos canais (RIMA,2004).

Dessa forma, considerando os objetivos desta pesquisa, levando-se em considera´²o os aspectos t¶cnicos, econ×micos, ambientais e sociais, ser® possºvel analisar se esta afirmativa est®de acordo com a realidade atual da transposi´²o. Cabe o questionamento se a situa´²o com que esta obra foi concluºda, realmente foi a melhor alternativa de levar ®gua com sua m®tima efici¸ ncia e menores impactos em aspectos t¶cnicos, econ×micos e ambientais.

CAPPTULO III - METODOLOGIA

3.1 EREA DE ESTUDO

A Bacia Hidrogr®ica do rio Paraºba (Figura 2), com uma ®ea de 20.071,83 kmД compreendida ente as latitudes 6ł51'31" e 8ł26'21" Sul e as longitudes 34ł48'35"; e 37ł2'15"; Oeste de Greenwich, ¶a segunda maior do Estado da Paraºba, pois abrange 38% do seu territÆrio, abrigando 1.828.178 habitantes que correspondem a 52% da sua popula '² o total. Considerada uma das mais importantes do semi®ido nordestino, ela ¶ composta pela sub-bacia do Rio Tapero®e RegiÞes do Alto Curso do rio Paraºba, M¶dio Curso do rio Paraºba e Baixo Curso do rio Paraºba. Al¶m da grande densidade demogr®ica, na bacia est² o incluºdas as cidades de Jo² o Pessoa, capital do Estado e Campina Grande, seu segundo maior centro urbano estadual (AESA, 2018).

Legenda

Sub Bacias

Taperoá

Região do Alto Curso do Rio Paraíba

Região do Médio Curso do Rio Paraíba

Figura 2 - Mapa da Bacia Hidrogr®ica do Rio Paraºba

Fonte: Autor

3.1.1 Sub-bacia do Rio Tapero®

Para fins de an®ises e administra´²o, e devido a sua larga escala de abrang, ncia, a bacia hidrogr®ica do rio Paraºba foi dividida em sub-bacia do rio Tapero®e tr¸ s regi Pes hidrogr®icas (alto, m¶dio e baixo Paraºba) (PERH-PB, 2006).

Seu principal rio ¶o Tapero® caracterizado por seu regime intermitente. Nasce na Serra do Teixeira e desemboca no rio Paraºba, no A ´ude de Boqueir² o (reservatÆrio Epit®rio Pessoa). Drena uma ®ea aproximada de 5.661,45 kmДe apresenta clima semi®ido quente, cujas temperaturas variam entre 18 a 22 łC a mºnima, e a m®rima entre 28 e 31 łC. A precipita ´² o m¶dia anual oscila entre 400 e 600 mm e se concentra no perºodo de dois a quatro meses. Esta bacia recebe contribui ´² o dos rios S² o Jos¶ dos Cordeiros, Floriano, Soledade, Boa Vista e Riacho dos Canudos (OLIVEIRA, 2013).

3.1.2 Regi² o do Alto Curso do Rio Paraºba

O rio principal dessa regi² o da bacia ¶ o rio Paraºba, que nasce da conflu¸ ncia dos rios Sucurß e o rio do Meio localizado no municºpio de Sum¶. Essa regi² o tamb¶m recebe aflu¸ ncias dos rios Monteiro e Umbuzeiro.

Encontra-se em altitudes superiores a 600m e drena uma ®ea de aproximadamente 6.717,39 kmД Seu clima ¶ semi®ido quente, com temperaturas mºnimas variando entre 18 e 22 éC, e com m®timas entre 28 e 31 éC. Os ºndices pluviom¶tricos tem em m¶dia anual entre 300 e 600 mm, chegando a atingir 800 mm em perºodos mais chuvosos, e apresenta prolongado tempo de estiagem podendo chegar a at¶ 10 meses. Al¶m de baixos ºndices pluviom¶tricos, h®uma significativa evapora '² o na regi² o, variando entre 2500 e 3000 mm ao ano, com insola '² o de 7 a 8 horas di®ias no perºodo de janeiro a julho, e de 8 a 9 horas di®ias no perºodo de agosto a dezembro.

Nesta regi² o de vegeta ´² o natural predominante do tipo caatinga, encontram-se os cinco principais a ´udes pßblicos da bacia do rio Paraºba, sendo: o a ´ude Epit®io Pessoa, o segundo maior do estado com capacidade de 411 milhÞes de mE, localizado em Boqueir² o; o a ´ude Po ´Þes, com capacidade de 29,86 milhÞes de mE e o a ´ude Cordeiro, com capacidade de 69,96 milhÞes de mE, localizados em Monteiro; o a ´ude Camalaß, com capacidade de 46,43 milhÞes de mE, localizado em Camalß; e o a ´ude Sum¶, com capacidade de 44,86 milhÞes de mE, situado na cidade de mesmo nome (OLIV EIRA, 2013).

3.1.3 R egi² o do M ¶dio C urso do R io Paraºba

Essa regi²o ¶ respons®vel por drenar aproximadamente 3.760,65 kmД onde se encontra entre as regiÞes do Alto Curso e Baixo Curso do Rio Paraºba. Recebe contribui ´Þes dos rios S²o Pedro, Catol¶, Ing®e do riacho BodocongÆ

Assim como a regi² o do Alto Curso do Rio Paraºba, o M¶dio Curso tamb¶m ¶ classificado como semi®ido quente, com ºndices pluviom¶tricos variando entre 600 e 1100 mm. A evapora ´² o dessa regi² o tamb¶m ¶ bastante significativa, variando em torno de 1600 e 3000 mm.

De acordo com Farias (2009), sua ®ea abrange os seguintes munic°pios: Alcantil, Aroeiras, Barra de Santana, Barra de S²o Miguel, Boa Vista, Boqueir²o, Campina Grande, Caturit¶ Fagundes, Gado Bravo, Itatuba, Montadas, Natuba, Pocinhos, Puxinan², Queimadas, Riacho de Santo Ant×nio, Santa Cec°lia e Umbuzeiro. Suas temperaturas variam entre 18 e 22½C a mºnima e a m®xima atinge de 28 e 31 ½C, com precipita´²o m¶dia anual decrescendo de leste para o oeste. Sua vegeta´²o predominante ¶ do tipo caatinga hiperxerÆfila, hipoxerÆfila, floresta caducifÆfia e subcaducifÆfia. Nesta regi²o est®situado o segundo maior reservatÆfio da bacia do Rio Paraºba e o terceiro maior reservatÆfio estadual, o Argemiro Figueiredo tamb¶m conhecido como A cau².

3.2 DESCRI¤ΰO DOS RESERVATΦRIOS RECEPTORES DA VAZΰO DO PISF

3.2.1 A 'ude Po'bes

De acordo com o DNOCS (2018), a barragem do A ´ude Po´Þes est®situada no riacho Mulungu, no municºpio de Monteiro, estado da Paraºba. A cidade de Monteiro dista 164 km de Campina Grande e 292 km de Jo²o Pessoa, capital do Estado. A finalidade principal do a´ude ¶ o aproveitamento do potencial hºdrico para irriga´²o. A bacia hidrogr®ica do a´ude tem 656 kmДe a regi²o apresenta uma precipita´²o m¶dia de 588 mm. O barramento forma um lago que cobre uma ®ea com 773,41 ha e acumula um volume de 29.861.562 mE

3.2.2 A 'ude Camalaß

O reservat/Ærio de Camalaß, respons®vel pelo abastecimento da cidade de mesmo nome do referido reservat/Ærio, situa-se na regi²o de Alto Curso do Rio Paraºba. A presenta aproximadamente uma capacidade para armazenamento de 46 HmE, e suas ®guas s²o utilizadas tamb¶m para irriga ´²o e piscicultura. Segundo Vieira (2008), a piscicultura beneficia 21 pescadores e tem instalado 60 tanques-rede (o limite m®ximo ¶ de 178).

3.2.3 A 'ude E pit®cio Pessoa (Boqueir² o)

O a´ude Epit®io Pessoa (Boqueir²o), est®localizado a 165 km da capital do estado e a 44 km de Campina Grande. Est®situado na por´²o semi®ida da bacia do Rio Paraºba, abastecendo 26 sedes municipais e distritos espalhados pelas microrregiPes do Cariri e do Agreste.

O reservatÆrio, com capacidade estimada em 411.686.287 mE, ¶alimentado por uma bacia hidrogr®ica de cerca de 14 mil kmД cuja precipita′²o se concentra em quatro meses do ano (fevereiro a maio), sendo uma das mais baixas do Brasil.

O a´ude Boqueir² o est®inserido na sub-bacia hidrogr®ica do Alto Paraºba e recebe suas ®guas dos rios Paraºba e Tapero® Localiza-se entre as latitudes sul de 07é20 48_ e de 08é18 12_, longitude oeste de 36é07 44_ e 37é21 22_. A presenta temperatura m¶dia de 27éC, com precipita 2 o m¶dia de 450 mm/ano e evapora 2 o potencial m¶dia em torno de 2000 mm/ano.

Este reservat/Frio enfrentou v®ias crises hºdricas na regi²o onde est®inserido, em diversos perºodos de tempo em que se encontrava em funcionamento. A seca que mais impactou o a´ude Boqueir²o, foi a que teve inºcio no ano de 2012 e se estendeu at¶ a chegada da transposi´²o em abril de 2017. Antes da finaliza´²o da obra do Projeto de Transposi´²o do Rio S²o Francisco (PISF), o reservat/Frio de Boqueir²o sofreu com o quase total esgotamento dos seus recursos, sem previs²o de chuvas para novas recargas. De acordo com dados da AESA (Ag, ncia Executiva de Gest²o das E guas do Estado da Paraºba), no dia 18 de abril de 2017, o a´ude apresentou cerca de 2,91% de sua capacidade total, batendo um novo recorde negativo desde a funda´²o e primeira sangria do a´ude, no fim da d¶cada de 1950.

3.2.4 A 'ude Argemiro de Figueiredo (Acau²)

O a´ude Argemiro Figueiredo conhecido como Acau², est® situado no municºpio de Natuba, na regi²o do M¶dio Curso do Rio Paraºba e se localiza nas coordenadas 7½27 07_S de latitude e 35⅓34 22_O de longitude. Sua constru´²o foi concluºda em mar´o de 2002 e apresenta capacidade m®tima de 253 milhÞes de metros cßbicos, o que o torna o terceiro maior reservatÆrio do Estado. Esse reservatÆrio foi projetado para atender ao abastecimento das cidades de Itabaiana, Salgado de S²o Felix, Natuba e Itatuba, dar um refor´o ao sistema integrado de o abastecimento de Campina Grande e para o controle de cheias no baixo Paraºba (FARIAS, 2009).

De acordo com Vieira (2008), sua finalidade ¶ o abastecimento urbano das cidades de sua abrang, ncia, tendo tr, s sistemas adutores: A cau² - ramal norte, leste e oeste; a pr®ica de piscicultura intensiva com cerca de 15 tanques-redes, em m¶dia, colocadas de forma permanente; o abastecimento rural das propriedades situadas nas margens do a´ude; na dessedenta´²o animal e irriga´²o de pequenas ®eas cultivadas nas margens do a´ude.

3.3 PROCEDIMENTOS METODOL ФGICOS

Para realiza´²o dessa pesquisa foi seguido ¯s etapas do fluxograma a seguir (Figura 3).

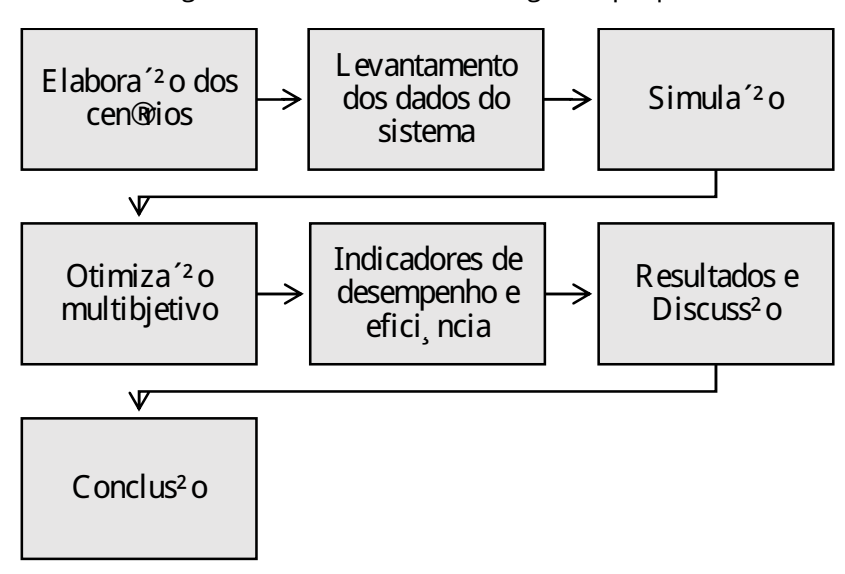


Figura 3 - Procedimento metodol Ægico da pesquisa

Fonte: Autor

Em resumo, este trabalho traz um estudo sobre uma possºvel forma de transportar parcela da vaz²o exÆgena advinda do PISF na bacia hidrogr®fica do Rio Paraºba, avaliando as perdas hºdricas e financeiras decorrentes do percurso da ®gua no leito do rio e por evapora ´²o nos reservatÆrios. Sendo assim, criou-se cen®ios que se diferenciam pela forma de transportar essa vaz²o e pelo uso das ®guas, analisados por meio de um modelo de otimiza ´²o multiobjetivo.

Neste estudo foram considerados os quatros reservat/Frios da bacia receptores da vaz²o do PISF (Po´Pes, Camalaß, Epit®tio Pessoa, conhecido como Boqueir²o e Argemiro Figueiredo, conhecido como Acau²) como tamb¶m os reservat/Frios a montante ao reservat/Frio Boqueir²o com uma capacidade maior que 10 milhPes de metros cßbicos (Sum¶, Santo Ant×nio, Cordeiro, Serra Branca II, Soledade, Mucutu, Tapero® II), pois os mesmos influenciam na vaz²o afluente ao reservat/Frio. Esses dados foram adicionados as vazPes afluentes ao reservat/Frio Boqueir²o para o processo de otimiza´²o.

Os resultados obtidos para os cen®ios propostos por meio do processo de otimiza´²o, foram avaliados de acordo com os Indicadores de efici¸ ncia e desempenho.

3.3.1 Delineamento dos Cen®rios

Cen®rio C1

O Cen®io C1 representa a situa´²o atual do PISF, que recebe a ®gua da transposi´²o no munic°pio de Monteiro-PB e segue para o a´ude de Po´bes, e abastece em seguida os reservatÆrios de Camalaß, Boqueir²o e Acau², de onde sai uma vaz²o regularizada para abastecer os munic°pios ¯s margens do rio Para°ba, como pode ser observado na Figura 4. O trecho principal, onde est²o inseridos os quatro reservatÆrios em s¶rie, recebe aflu¸ ncias dos demais reservatÆrios representados na imagem, que foram simulados para mensura´²o das vazÞes contribuintes destes para o trecho principal em quest²o. Este cen®io considera a Resolu´²o Conjunta ANA/AESA-PB n² 87, de 05 de novembro de 2018, a qual estabelece as condi´Þes de uso de recursos h°dricos superficiais e subterr°neos para o Sistema H°drico Rio Para°ba - Boqueir²o,

no Estado da Paraºba, limitando os usos da @gua da transposi´²o, conforme seu Art. 4é, Incisos I e II:

I ¯ a @rea de cultivo no entorno do A ´ude Epit@rio Pessoa (Boqueir²o) e ao longo do rio Paraºba fica limitada a 250,0 ha (duzentos e cinquenta hectares), para cada trecho; II ¯ a vaz²o autorizada a cada usu@rio de recursos hºdricos ser@limitada ¯ necess@ria para o cultivo em @rea m@rima de 0,50 ha ou volume m@rimo di@rio igual a 25.920 L.

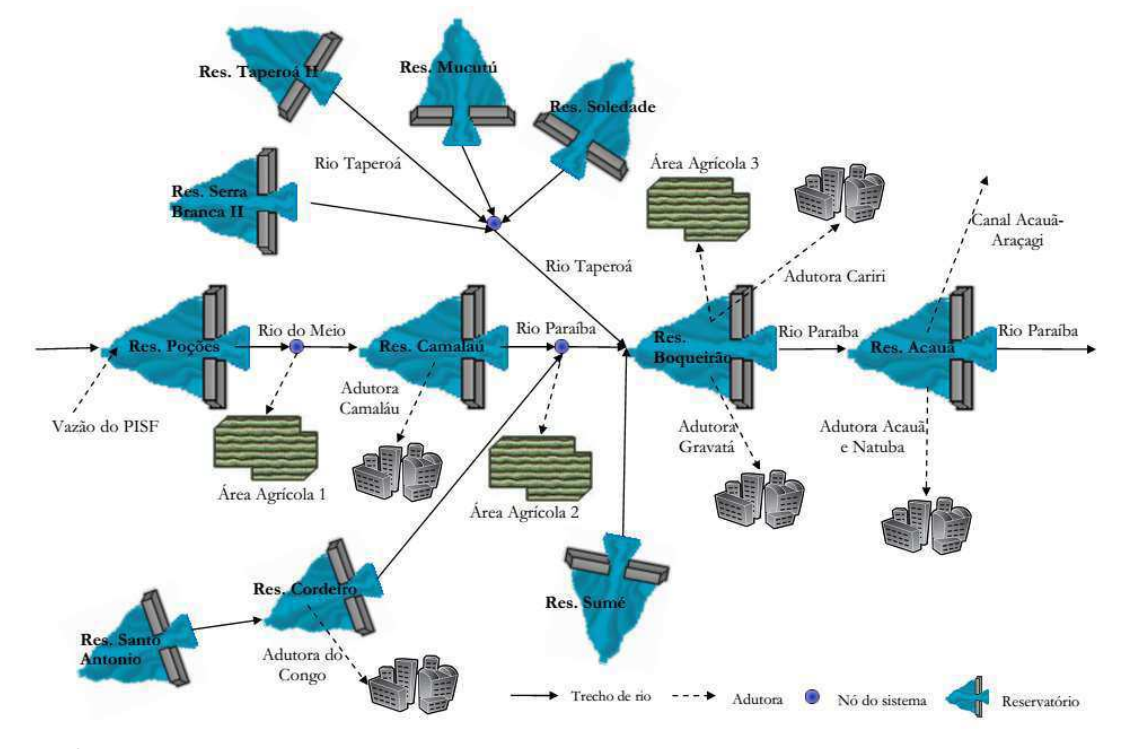


Figura 4 - Layout do sistema para o Cen®io C1

Fonte - Autor

Desse modo, para a @ea agrºcola 1 entre os reservatÆrios de Po´Þes e de Camalaß foi estimada uma @ea de 50 ha, cuja demanda ser®de 30,0 L/s para todos os meses do ano. Para a @ea agrºcola 2 entre os reservatÆrios de Camalaß e de Boqueir² o foi estimada uma @ea de 200 ha, cuja demanda ser®de 120,0 L/s para todos os meses do ano. Para a @ea agrºcola 3 foi considerada uma @ea de 250 ha, cuja demanda ser® de 150,0 L/s para todos os meses do ano.

Cen®rio C2

O Cen®io C2 mostra um possºvel tra´ado para o transporte das ®guas do PISF, em que a partir da chegada das ®guas da transposi´²o em Monteiro, por meio de adutora, ser®transportada uma parcela de vaz² o de @gua ¯ esta vaz² o ¶ dependente do valor requerido pela ETA (Esta´² o de Tratamento de Œ gua) de Gravat® localizada no municopio de Queimadas ¯ PB - at¶ a ETA para posterior distribui´² o das demandas de abastecimento, por meio da adutora de Boqueir² o (Figura 5), a qual abastece 10 cidades, dentre elas Campina Grande, com o requerimento de maior demanda. Esse valor de vaz² o, foi calculado de acordo com a progress² o populacional (dados dos censos do IBGE ¯ Instituto Brasileiro de Geografia e Estatostica), consumo per capita da popula´² o e perdas na distribui´² o de @gua (dados do SNIS - Sistema Nacional de Informa´ pes sobre Saneamento ¯ s¶rie histÆrica de 2012) em cada municopio abastecido pela respectiva adutora, como pode ser observado no A nexo 1.

Este cen®io tamb¶m considera a Resolu´²o Conjunta ANA/AESA-PB nł 87, de 05 de novembro de 2018 da mesma forma do Cen®io C1, alterando apenas na forma de transpor a ®gua, por meio de adutora e por leito de rio.

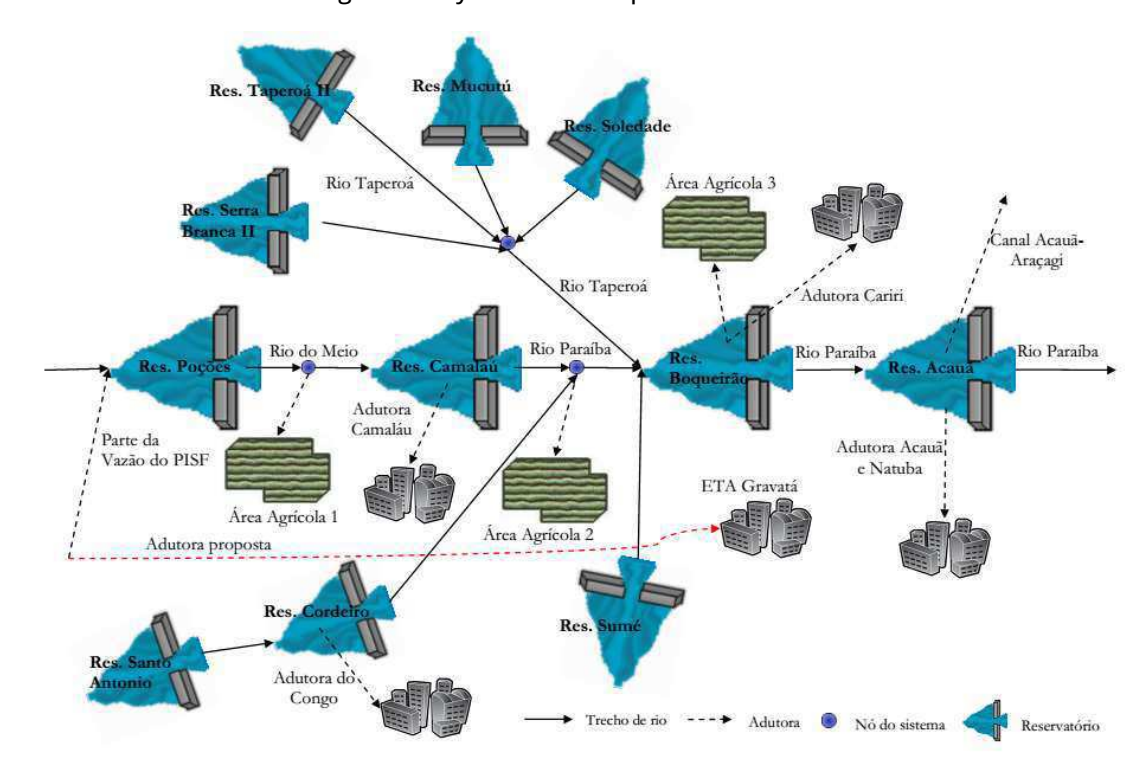


Figura 5 - Layout do sistema para o Cen®io C2

Fonte- Autor

Cen®rio C3

O Cen®io C3 apresenta a mesma situa´²o do Cen®io C1, diferindo apenas em rela´²o ¯s ®reas agr°colas, cuja demanda hºdrica foi estimada por Oliveira (2013) por meio de um modelo de otimiza´²o multiobjetivo maximizando o uso das ®reas agr°colas e da ®gua.

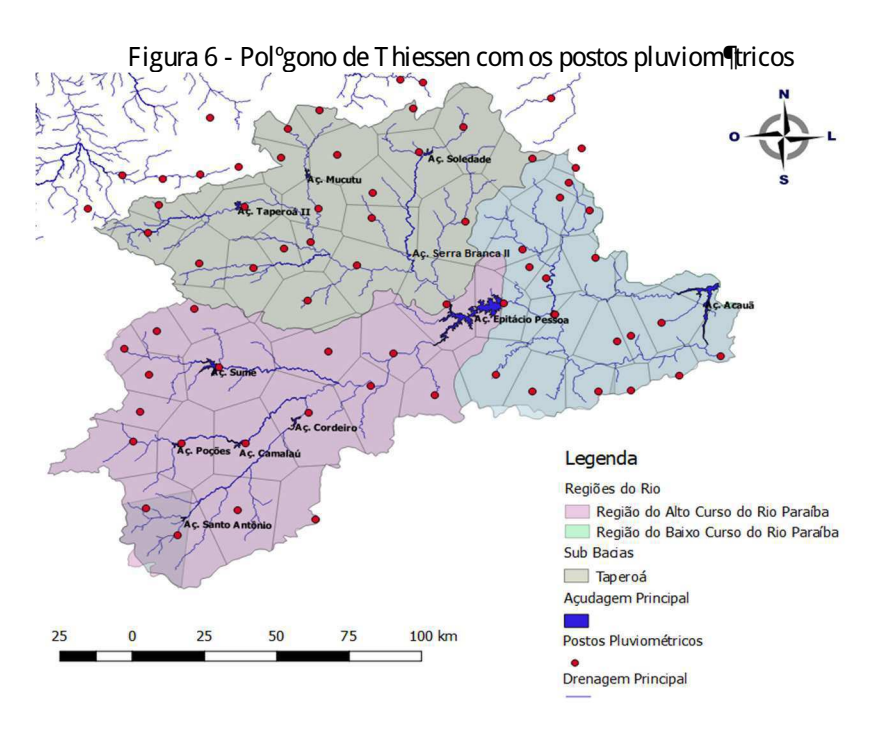
Cen®rio C4

O Cen®io C4 apresenta o mesmo layout do Cen®io C2, diferindo apenas com rela´²o ¯s ®eas agr°colas, cuja demanda hºdrica foi estimada por Oliveira (2013).

3.3.2 L evantamento dos dados do sistema

Precipita'2 o

Os valores de precipita´²o foram disponibilizados pela AESA com dados histÆricos de 6 anos, de 2012 a 2017 (anos considerados como uma das maiores secas da regi²o). Foi utilizado o Polºgono de Thiessen (Figura 6) - atrav¶s do software Qgis - para encontrar a chuva m¶dia da bacia hidr®ulica dos reservatÆrios.



Fonte: Autor

Para calcular a precipita´²o direta nos reservatÆrios foram utilizados valores dos postos pluviom¶tricos mais prÆximos de cada reservatÆrio como pode ser observado na Tabela 1.

Tabela 1⁻ Precipita '² o m¶dia (mm) dos postos pluviom¶tricos mais prÆximos aos reservatÆrios no perºodo de 2012 a 2017

| JAN | FEV | MAR | ABR | MAI | JUN | J UL | AGO | SET | OUT | NOV | DEZ |
|-------|-------|---------|--------|---------|----------|----------------------|----------------------|-------------|----------|-------|-------|
| | | | RE | SERVAT | ΦRIOA | CAUű ⁻ F | osto Itati | ıba | | | |
| 41,32 | 40,16 | 31,31 | 66,81 | 74,85 | 83,17 | 82,03 | 21,97 | 7,39 | 13,06 | 5,77 | 45,44 |
| | | | RESER | VATΦRI | O BOQU | JEIR Ű O ¯ | Posto Bo | queir² o | | | |
| 26,26 | 30,5 | 9,6 | 34,23 | 39,63 | 37,25 | 62,95 | 8,76 | 9,16 | 4,58 | 17,13 | 17,18 |
| | | | RESE | RVATФF | RIO CAN | IALAΩ - | Posto Ca | malaß | | | |
| 22,55 | 22,1 | 51,25 | 68 | 26,53 | 14,9 | 21,17 | 4,67 | 0,86 | 3,66 | 12,4 | 31,38 |
| | | | RESI | ERVAΤΦ | RIO PO | ¤ ǚ ES ¯ P | osto M on | teiro | | | |
| 69 | 38,21 | 81,93 | 90,3 | 48,82 | 31,9 | 32,46 | 7,05 | 1,96 | 1,7 | 4,88 | 50,2 |
| | | | RESE | RVATФR | RIO SOLI | EDADE - | Posto Sol | edade | | | |
| 13,28 | 35,16 | 18,05 | 28,06 | 37,5 | 33,26 | 31,6 | 6,2 | 5,56 | 2,65 | 2,66 | 6,98 |
| | | | RESE | RVATΦ | RIO MU | CUTU ⁻ F | osto Assu | ın´² o | | | |
| 16,6 | 24,63 | 64,18 | 51,93 | 15,66 | 20,32 | 17,02 | 2,1 | 0 | 0 | 3,66 | 8,83 |
| | | | RESE | RVATΦR | IOTAPE | ROE II | Posto Ta | apero® | | | |
| 50,73 | 77,2 | 58,23 | 79,22 | 37,08 | 24,03 | 31,53 | 2,06 | 3,13 | 3,55 | 10,26 | 18,06 |
| | | RE | SERVAT | ΦRIO SE | RRA BR | ANCA II | - Posto S | erra Bra | nca | | |
| 36,2 | 28,71 | 33,13 | 33,13 | 34,98 | 18,26 | 21,86 | 3,23 | 7,75 | 1,42 | 6,76 | 15,35 |
| | | | R | ESERVA | ΤΦRIOS | SUM§ - F | osto Sum | n¶ | | | |
| 31,55 | 20,02 | 67,38 | 70,86 | 23,35 | 15,73 | 19,16 | 10,66 | 1,96 | 3,38 | 5,72 | 21,96 |
| | F | RESERVA | ATΦRIO | SANTO A | ANTXNI | O ⁻ Posto | S² o Seba | sti² o do l | Jmbuzeir | 0 | |
| 36,2 | 64,85 | 52,05 | 43,22 | 28,66 | 8,68 | 23,46 | 2,13 | 0,96 | 9,56 | 15,06 | 35,06 |
| | | | RESE | RVAΤΦ | RIO COI | RDEIRO | ⁻ Posto C | ongo | | | |
| 31,64 | 65,6 | 43,16 | 32,85 | 32,13 | 12,11 | 17,18 | 3,18 | 0,65 | 4,41 | 12,44 | 20,6 |

Fonte: AESA (2018)

V az bes afluentes

Os dados de vaz Pes afluentes aos reservat Afrios e n As do sistema foram gerados pelo o modelo hidrol Agico chuva x vaz o SMAP-M (LOPES et al., 1981). O modelo foi calibrado e validado utilizando-se s fries de vaz Pes do posto fluviom frico de Po´o de Pedras de acordo com Diniz (2008), onde foram geradas as s fries de deflísvios

m¶dios mensais de janeiro de 2012 a dezembro de 2017 a partir de dados de precipita´²o totais mensais.

De acordo com Nepomuceno (2018), o desenvolvimento do SMAP teve como base a experi, ncia com a aplica´²o dos modelos Stanford Watershed IV e Mero em trabalhos realizados no DAEE ¯ Departamento de Ξ guas e Energia El¶trica do Estado de S²o Paulo. Inicialmente, o SMAP foi desenvolvido para intervalos de tempo di®ios, sendo posteriormente utilizado em estudos mensais e hor®ios, com devidas adapta´Pes em sua estrutura. Como dados de entrada, o modelo utiliza as alturas totais de precipita´²o e evapora´²o no intervalo de tempo desejado, a ®ea de drenagem e condi´Pes iniciais da bacia hidrogr®ica.

A vers² o mensal do modelo utilizada neste estudo, ¶ constituºda por dois reservatÆrios matem®ticos que representam o solo (reservatÆrio do solo) e o aquºfero (reservatÆrio subterrº neo), como pode ser visto na Figura 7. O reservatÆrio de superfºcie ¶ excluºdo da estrutura do modelo devido ao amortecimento desse reservatÆrio ocorrer em intervalos inferiores a um m s.

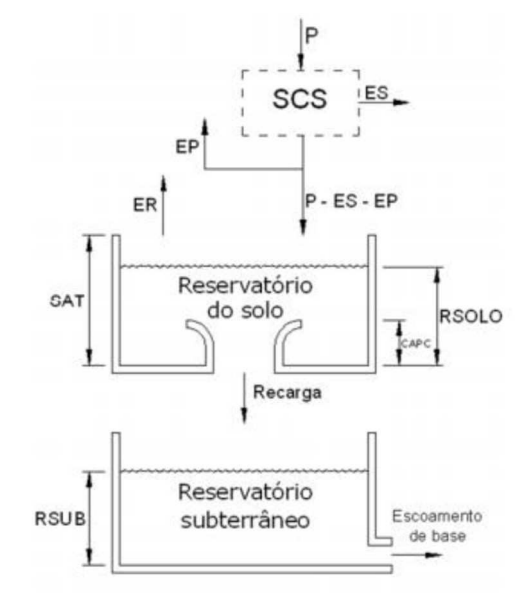


Figura 7 - Esquema fºsico do modelo SMAP mensal

Fonte: Saraiva et al. (2010)

Os valores das vaz pes afluentes m¶dias geradas para cada reservatÆrio no perºodo estudado podem ser vistos na Tabela 2.

Tabela 2 ⁻ V az Pes afluentes m¶dias (mE/s) nos reservat Ærios no perºodo de 2012 a 2017

| JAN | FEV | MAR | ABR | MAI | JUN | J UL | AGO | SET | OUT | NOV | DEZ |
|-------|-------|-------|-------|--------|--------|------------------|------------|--------|--------|--------|-------|
| | | | | RE | SERVA | ΤΦRΙΟ | ACAUű | | | | |
| 0,9 | 1,13 | 0,71 | 1,85 | 4,68 | 6,87 | 12,2 | 3,17 | 1,64 | 0,69 | 0,23 | 0,28 |
| | | | | RESE | RVAT¢ | RIO BO | QUEIRΰ | iΟ | | | |
| 2,01 | 1,79 | 1,8 | 4 | 4,98 | 2,18 | 3,05 | 0,54 | 0,21 | 0,12 | 0,22 | 0,35 |
| | | | | RES | ERVAT | ΦRIO C | AMALA | Ω | | | |
| 0,06 | 0,06 | 0,25 | 1,17 | 0,41 | 0,1 | 0,15 | 0,02 | 0,003 | 0,004 | 0,015 | 0,12 |
| | | | | RE | SERVA | ΓΦRΙΟ | PO¤ ü̈ E S | | | | |
| 1,07 | 0,54 | 1,53 | 2,23 | 1,32 | 0,72 | 1,1 | 0,13 | 0,01 | 0,004 | 0,01 | 0,33 |
| | | | | RES | ERVAT | ΦRIO S | OLEDAD | E | | | |
| 0,018 | 0,044 | 0,04 | 0,07 | 0,14 | 0,12 | 0,13 | 0,015 | 0,01 | 0,001 | 0,0006 | 0,004 |
| | | | | RES | SERVAT | ΦRIO | иисити | J | | | |
| 0,08 | 0,12 | 0,74 | 0,89 | 0,25 | 0,14 | 0,18 | 0,013 | 0,006 | 0,0015 | 0,011 | 0,03 |
| | | | | RESE | RVAT | ÞR IO T <i>A</i> | APEROE | II | | | |
| 0,56 | 0,42 | 1,48 | 1,75 | 0,85 | 0,22 | 0,33 | 0,04 | 0,02 | 0,01 | 0,03 | 0,08 |
| | | | F | RESERV | 'AΤΦRΙ | O SERR | A BRAN | CA II | | | |
| 0,04 | 0,015 | 0,012 | 0,014 | 0,04 | 0,005 | 0,01 | 0,001 | 0,002 | 0,0004 | 0,0008 | 0,002 |
| | | | | R | ESERVA | AΤΦRIC | SUM§ | | | | |
| 0,89 | 0,31 | 1,17 | 3,45 | 1,71 | 0,65 | 1,02 | 0,26 | 0,03 | 0,04 | 0,03 | 0,08 |
| | | | | RESERV | /ATΦR] | O SAN | TO ANTX | OIN | | | |
| 0,17 | 0,44 | 0,29 | 0,25 | 0,17 | 0,06 | 0,2 | 0,009 | 0,0005 | 0,009 | 0,11 | 0,19 |
| | | | | RES | ERVAT | ΦRIO C | ORDEIR | 0 | | | |
| 0,22 | 0,42 | 0,49 | 0,93 | 0,47 | 0,15 | 0,302 | 0,03 | 0,002 | 0,015 | 0,08 | 0,332 |

Fonte: Autor

Evapora² o

O volume de ®gua mensal evaporado nos reservatÆrios foi obtido a partir da multiplica´²o da ®ea do espelho d´®gua pela l°mina evaporada em tanques evaporim¶tricos Classe A. Para os onze reservatÆrios foram utilizadas medi´Þes de evapora´²o obtidas de tr¸s postos de esta´Þes climatolÆgicas mais prÆximas dos reservatÆrios, sendo adotados os valores mensais do coeficiente do tanque Kt estimados por Oliveira et al. (2005) para a regi²o do cariri paraibano.

Os dados do posto Monteiro foram usados nos reservat/Frios de Po´Pes, Camalaß, Cordeiro, Santo Ant×nio e Sum¶, o do posto S² o J o² o do Cariri foi utilizado nos reservat/Frios de Tapero®II, Mucutu, Serra Branca II, Soledade e Boqueir² o e do posto Campina Grande foi utilizado no reservat/Frio de Acau².

Os dados de evapora 2º o m¶dia mensal nos reservatÆrios e os respectivos coeficientes do tanque K t podem ser observados por meio da Tabela 3.

Tabela 3 - Evapora '2 o m¶dia mensal (mm) dos reservatÆrios e valores de Kt

| | JAN | FEV | MAR | ABR | MAI | JUN | J UL | AGO | SET | OUT | NOV | DEZ |
|------------|--------|--------|--------|--------|---------|--------|--------|-------|--------|--------|--------|--------|
| | | | | P | OSTO MC | NTEIRO |) | | | | | |
| EVAPORA¤ŰO | | | | | | | | | | | | |
| (MM) | 233 | 178 | 156 | 116 | 115 | 127 | 156 | 206 | 239 | 263 | 266 | 273 |
| КТ | 0,78 | 0,8 | 0,78 | 0,89 | 0,93 | 0,92 | 0,87 | 0,82 | 0,76 | 0,79 | 0,8 | 0,8 |
| | | | | POSTO | SűOJOű | 0 D0 C | ARIRI | | | | | |
| EVAPORA¤űO | | | | | | | | | | | | |
| (MM) | 228,54 | 202,38 | 200,12 | 174,24 | 153,57 | 119,4 | 128,84 | 159,6 | 197,16 | 250,53 | 238,64 | 238,01 |
| KT | 0,78 | 0,8 | 0,78 | 0,89 | 0,93 | 0,92 | 0,87 | 0,82 | 0,76 | 0,79 | 0,8 | 0,8 |
| | | | | POST | O CAMPI | NA GRA | NDE | | | | | |
| EVAPORA¤ŰO | | | | | | | | | | | | |
| (MM) | 147,1 | 132,5 | 108,1 | 88,3 | 102,5 | 64,9 | 73 | 105,1 | 126,1 | 153,6 | 151,2 | 165 |
| КТ | 0,78 | 0,8 | 0,78 | 0,89 | 0,93 | 0,92 | 0,87 | 0,82 | 0,76 | 0,79 | 0,8 | 0,8 |

Fonte: Adaptado de Oliveira et al. (2005)

A bastecimento urbano

Para c®culo do abastecimento urbano, foi feito um estudo das adutoras inseridas na bacia hidrogr®ica do Rio Paraºba com seus respectivos municºpios abastecidos por cada adutora. Para an®ise do crescimento populacional, foram usados os dados disponibilizados pelo IBGE, nos censos de 1980, 1991, 1996, 2000, 2007 e 2010. Com esses dados foi possºvel fazer uma estimativa populacional e consequentemente o consumo per capita de cada municºpio abastecido. Foi utilizado o software, LAB Fit (SILVA et. al., 2004), para tratamento de dados experimentais para estimar esses valores.

De acordo com Farias (2009), para determinar a vaz² o de demanda m®ima ¶ necess®io fazer alguns estudos, tais como: previs² o de popula ² o e a estimativa de consumo, e a partir daº determinar a vaz² o de projeto, no final do perºodo de alcance. Neste estudo o horizonte de projeto ¶ o ano 2024, ou seja, de 6 anos.

Os dados de consumo per capita de cada munic^opio e dados das perdas no sistema de distribui² o da ®gua foram coletados no site do SNIS para o ano de 2012. A

estimativa de consumo per capita acrescida das perdas na distribui´²o foi feita utilizando estes dados do SNIS como pode ser verificado no A nexo 1.

A Tabela 4 apresenta os valores anuais utilizados no estudo.

Tabela 4 - V az Pes requeridas (mE/s) para as adutoras no perºodo de 2019 a 2024

| A dutoras Bacia Rio Paraºba | Fonte hºdrica | 2019 | 2020 | 2021 | 2022 | 2023 | 2024 |
|--------------------------------|-------------------|------|------|------|------|------|------|
| Camalaß | A ´ude Camalaß | 0,01 | 0,01 | 0,01 | 0,01 | 0,01 | 0,01 |
| Congo | A ´ude Cordeiro | 0,13 | 0,13 | 0,14 | 0,14 | 0,14 | 0,14 |
| Cariri | A ´ude Boqueir² o | 0,09 | 0,09 | 0,09 | 0,09 | 0,09 | 0,09 |
| Gravat® | A ´ude Boqueir² o | 1,09 | 1,10 | 1,11 | 1,12 | 1,13 | 1,13 |
| A cau² e Natuba | A ´ude A cau² | 0,27 | 0,27 | 0,27 | 0,27 | 0,27 | 0,28 |

Fonte: Autor

Demandas para irriga '2 o

Para a irriga´²o com as @guas do PISF, foi considerada para os Cen®ios C1 e C2 a irriga´²o conforme a RESOLU¤ ÜO CONJUNTA ANA/AESA-PB Nł 87, de 5 de novembro de 2018, a qual permite a irriga´²o apenas para as culturas tempor®ias.

A Tabela 5 apresenta os valores da vaz²o de cada ®ea agr^ocola para os Cen®ios C1 e C2.

Tabela 5 ⁻ V az² o das @eas agr^ocolas para os Cen@ios C1 e C2 (L/s)

| JAN | FEV | MAR | ABR | MAI | JUN | J UL | AGO | SET | OUT | NOV | DEZ |
|-------|-------|-------|-------|-------|-------|----------------------|-------|-------|-------|-------|-------|
| | | | | ΞRΕΑ | AGRPC | OLA 1 - | 50 HA | | | | |
| 30,0 | 30,0 | 30,0 | 30,0 | 30,0 | 30,0 | 30,0 | 30,0 | 30,0 | 30,0 | 30,0 | 30,0 |
| | 1 | | | ΞRΕΑ | AGRPC | DLA 2 ⁻ 2 | 00 HA | | | | |
| 120,0 | 120,0 | 120,0 | 120,0 | 120,0 | 120,0 | 120,0 | 120,0 | 120,0 | 120,0 | 120,0 | 120,0 |
| | I | | | ΞRΕΑ | AGRPC | DLA 3 ⁻ 2 | 50 HA | | | | |
| 150,0 | 150,0 | 150,0 | 150,0 | 150,0 | 150,0 | 150,0 | 150,0 | 150,0 | 150,0 | 150,0 | 150,0 |

Fonte: Autor

Para os Cen®ios C3 e C4, foram considerados os resultados de Oliveira (2013), nos quais as demandas hºdricas de irriga´² o foram estabelecidas realizando um plano de cultivo das culturas agrºcolas cultivadas nos municºpios de Monteiro e Boqueir² o, cujas informa´ Þes foram obtidas atrav¶s da Associa´² o de Agricultores de cada localidade.

A Tabela 6 apresenta os valores da vaz²o de cada ®ea agr^ocola para os Cen®ios C3 e C4.

Tabela 6 ⁻ V az² o das @eas agr^ocolas para os Cen@ios C3 e C4 (L/s)

| JAN | FEV | MAR | ABR | MAI | JUN | J UL | AGO | SET | OUT | NOV | DEZ |
|-------|-------|-------|-------|--------|--------|---------|-------------------------|-------|-------|-------|-------|
| | | | | PERPMI | ETRO D | E PO¤ ἰ | i ES ⁻ 356 H | IA | | | |
| 0,00 | 38,51 | 57,89 | 36,19 | 30,31 | 0,00 | 0,00 | 113,4 | 259,2 | 275,7 | 131,3 | 0,00 |
| ı | | | | PERPM | ETRO | O CON | GO ⁻ 156 H | Α | | | |
| 0,00 | 16,88 | 25,37 | 15,86 | 13,28 | 0,00 | 0,00 | 49,72 | 113,5 | 120,8 | 57,54 | 0,00 |
| I | | | F | PERPME | TRO BO | QUEIR | űΟ ⁻ 1020 | НА | | | |
| 444,1 | 207,8 | 224,4 | 198,7 | 336,2 | 299,3 | 265,1 | 304,7 | 439,9 | 729,4 | 594,7 | 890,9 |

Fonte: A daptado de Oliveira (2013)

Cobran´a pela ®gua transposta

De acordo com a Lei 9.433/1997 em seu Art. 19, ¶ preconizado que deve ser realizada a cobran´a do uso, para reconhecimento de que a �gua ¶ um recurso dotado de valor econ×mico incentivando assim a racionaliza´²o do seu uso, al¶m da obten´²o de recursos financeiros para financiamento dos programas e interven´bes contemplados nos planos de recursos hodricos.

Conforme Oliveira (2013), para cobran´a pelo servi´o de adu´²o de @gua bruta, pode-se citar a tarifa de demanda, consumo e os valores acrescidos da cobran´a pelo uso da @gua. A primeira tarifa ¶ devida aos custos operacionais fixos: manuten´²o das instala´bes, obras e equipamentos; opera´²o e administra´²o; demanda de energia el¶trica referente pot¸ ncia instalada das esta´bes de bombeamento; seguros, impostos e taxas de car@er fixo; programas ambientais; e taxa de administra´²o da Entidade Operadora Federal. J®a tarifa de consumo ¶ proveniente dos custos operacionais vari®reis do consumo de energia el¶trica para bombeamento de @gua; encargos tribut®ios respectivos; taxa de administra´²o da Entidade Operadora Federal; e demais gastos necess®ios para a presta´²o do servi´o.

De acordo com a Resolu´²o nł 67, de 11 de Setembro de 2018, considerando que compete ANA (Ag, ncia Nacional de Eguas) regular a presta´²o dos servi´os de adu´²o de ®gua bruta do PISF, cabendo-lhe o estabelecimento de tarifa, a tarifa de disponibilidade para 2018 ter®o valor de R\$ 0,244/mE e a tarifa de consumo ter®o valor de R\$ 0,801/mE, sendo estes pagamentos de responsabilidade dos Estados

beneficiados pelo projeto. Estes valores estabelecidos s² o utilizados na otimiza ² o multiobjetivo.

3.3.3 Dados estruturais dos reservatÆrios

Os dados dos reservat/Ærios adotados no modelo de otimiza ´²o, tanto estruturais quanto operacionais, dizem respeito ¯s rela ´Þes cota-®ea-volume; volumes de armazenamento m®ximos e mºnimos permitidos, caracterºsticas hidr®ulicas das tomadas d´®gua, descargas de fundo e vertedouros (SANTOS, 2007).

Rela ² o Cota x E rea x V olume

Os dados das curvas cota-®ea-volume, das descargas de fundo e vertedouros foram obtidos do Cadastro de A ´ude do Plano Diretor de Recursos Hºdricos da Bacia do rio Paraºba (TC/BR RIVERSIDE TECHONLOGY, 2001). Os dados est²o no Anexo 2.

V olumes de ®gua m®imos, mºnimos e inicial dos reservatÆrios

Os dados de volume tamb¶m foram disponibilizados pela AESA. Na Tabela 7 est² o apresentados os valores m®imos e mºnimos dos reservatÆrios e tamb¶m o volume inicial referente ao m¸ s de janeiro de 2012.

Tabela 7 - V olumes dos reservatÆrios (hmB

| RESERVATΦRIO | VOLUME MEXIMO | VOLUME MPNIMO | VOLUME |
|-----------------|---------------|---------------|---------------|
| RESERVATORIO | (HMB) | (HMB) | INICIAL (HMB) |
| SANTO ANTONIO | 24,42413 | 0,43 | 18,155866 |
| CORDEIRO | 69,965945 | 1,526365 | 44,84657 |
| PO¤ ǚ ES | 29,861562 | 0,582125 | 15,37 |
| $CAMALA\Omega$ | 46,43752 | 0,16 | 26,58 |
| SUM§ | 36,8 | 0,185437 | 35,48 |
| SERRA BRANCA II | 14,042568 | 0,9265 | 10,0365 |
| TAPEROE II | 15,1489 | 0,02815 | 9,9341 |
| MUCUTU | 25,37 | 0,65 | 21,056435 |
| SOLEDADE | 27,0581 | 3,5216 | 13,20398 |
| BOQUEIRŰO | 411,686287 | 34,19 | 373,6 |
| ACAUű | 253,1 | 2,03 | 205,78 |
| 1 - 6 1 (0010) | L. | | |

Fonte AESA (2018)

3.4 CRIT§RIOS OPERACIONAIS

Os cen@ios observaram os seguintes pressupostos para opera ´² o do sistema:

- ¿ O perºodo de estudo corresponde a 6 (seis) anos, iniciando o processo de otimiza´² o no m¸ s de janeiro;
- ¿ O volume de **®** ua inicial dos reservat**/**Erios foi considerado igual ao do dia 01 de janeiro de 2012;
- ¿ O volume de @gua do reservatÆrio, ao final do perºodo de estudo de otimiza´²o, deve ser maior ou igual ao volume inicial, garantindo a sustentabilidade hºdrica das atividades econ×micas;
- ¿ O volume meta dos reservat/Frios, em todos os meses, foi considerado igual capacidade dos mesmos;
- ¿ As capacidades das tomadas d'®gua destinada ao abastecimento humano foram consideradas iguais as suas respectivas demandas;
- ¿ As perdas por evapora´²o e a infiltra´²o em cada calha do rio foram consideradas da ordem de 5% entre os reservatÆrios Po´Þes e Camalaß; de 20% entre Camalaß e Bogueir²o e de 20% entre Bogueir²o e A cau².
- ¿ O Canal A cau²-A ra´agi tem uma capacidade m®xima de 10 mE/s, sendo esse valor considerado como sua demanda;
- ¿ As prioridades de atendimento foram: 1Ł atendimento da demanda de abastecimento urbano das adutoras; 2Ł atendimento da demanda das ®eas agrºcolas; 3Ł atendimento da demanda do canal A cau²-A ra´agi; 4Ł atendimento ao volume meta dos reservatÆrios.

3.4.1 Modelo de Simula ² o

Com o intuito de verificar as vaz Pes defluentes (vertidas) dos reservat Arios Santo Ant×nio, Cordeiro, Sum¶, Soledade, Mucutu, Tapero®II e Serra Branca II, que afluem para o reservat Ario Boqueir²o, foi realizado a simula ´²o da opera ´²o de cada reservat Ario separadamente utilizando o seguinte modelo:

$$Vr_{t+1} = Vr_t + Qa_t - R_t + Pr_t - Evr_t - Qv_t$$
 (1)

Onde: Vr_t ¶ o volume do reservatÆrio no inºcio do ano t; Vr_{t+1} ¶ o volume do reservatÆrio no final do ano t+1; Qa_t ¶ a vaz^2 o afluente ao reservatÆrio durante o ano t; R_t ¶ o volume retirado de @ua do reservatÆrio durante o ano t; Pr_t ¶ a precipita´² o direta sobre o espelho dú@ua do reservatÆrio durante ano t; Evr_t ¶ o volume evaporado no reservatÆrio durante o ano t, Qv_t ¶ o volume vertido do reservatÆrio durante o ano t; Vr_{min} ¶ o volume mºnimo (ou morto) do reservatÆrio; Vr_{max} ¶ a capacidade m®xima do reservatÆrio.

As retiradas de @gua do reservatÆrio foram efetuadas utilizando a chamada Polºtica de Opera´²o Linear Padr²o (SLOP, da abrevia´²o em ingl¸s) (Loucks et al., 1981). A SLOP especifica a vaz²o de retirada do reservatÆrio em fun´²o da @gua disponºvel (volume total e influxos previstos). Quando a disponibilidade hºdrica ¶ menor do que as demandas, todo o armazenamento ¶ liberado para satisfazer as demandas, do contr®io o excesso de @gua ¶ armazenado no reservatÆrio at¶ que sua capacidade de acumula´²o seja atingida e o vertimento ocorra.

3.4.2 M odelo de otimiza ´² o quantitativo

Para avaliar o uso da \(\)gua nos quatros reservat\(\alpha\) ios receptores da vaz\(2\) o do PISF e as perdas h\(0\)dricas no sistema estudado foi utilizado o modelo de otimiza\(2\) o multiobjetivo desenvolvido por Santos et al. (2011). O modelo \(0\) baseado em programa\(2\) o linear sucessiva, utilizando o Toolbox Optimization do software MATLAB 6.5 com o M\(0\) todo do Ponto Interior para a busca da solu\(2\) o \(A\)tima. Para tanto, lineariza\(2\) pes apropriadas das \(0\) linearidades intr\(0\)nsecas aos processos de cada um de seus componentes tiveram que ser pesquisadas e implementadas atrav\(0\) so uso combinado do Artif\(0\) cio de Lineariza\(2\) o por Segmentos e da Programa\(2\) o Linear Sequencial.

O modelo se destina a otimizar os mßltiplos usos de um sistema de reservatÆrios, com a implanta´²o ou melhoramento da opera´²o das ®eas irrigadas. O mesmo trabalha com vari®reis relacionadas aos elementos naturais, tais como: hidroclim®icos e hidroagr°colas, como tamb¶m outras vari®reis (demandas h°dricas, caracter°sticas f°sicas dos componentes, etc.) identificadas no estudo do sistema

hºdrico. Para estes elementos, s² o definidas as informa´ Þes necess®i as ao modelo para a entrada de dados, envolvendo: os reservatÆrios, as demandas, calhas dos rios e perºmetros irrigados.

A opera´²o do reservatÆrio e dos nÆs ¶ fundamentada na equa´²o do balan´o hºdrico destes elementos naturais, mesmo quando se faz uso de demandas fixas e vari®veis. A demanda hºdrica de um perºmetro irrigado ¶ determinada com base na necessidade suplementar lºquida de irriga´²o, estabelecida atrav¶s do balan´o hºdrico, no solo, para as culturas selecionadas, estando a ®ea a ser plantada limitada pelos demais usos do reservatÆrio. O modelo tamb¶m leva em considera´²o os diferentes tipos de sistemas de irriga´²o e suas necessidades de altura manom¶trica, as ®eas a serem irrigadas para cada tipo de cultura, os custos de ®gua e de produ´²o, os aspectos econ×micos e a combina´²o ou varia´²o nas fontes de bombeamento e a quantidade de ®gua captada.

Como se trata de uma otimiza´²o multiobjetivo, utilizou-se o M¶todo das Pondera´Þes, na qual cada fun´²o objetivo ¶ normalizada sendo atribuºdos pesos para definir as prioridades de atendimento.

Neste trabalho, o modelo de otimiza´²o tem como objetivo principal prover um estudo da opera´²o integrada do sistema de reservatÆrios e do atendimento ¯s demandas do sistema com foco na aloca´²o Ærima dos recursos hºdricos, entre os mßltiplos usos via uma an®ise multiobjetivo.

Fun '2 o Objetivo

O processo de otimiza´²o come´a pela Fun´²o Objetivo (FO), a qual representa a medida de desempenho do sistema em estudo. Ros e Barros (2003) concluºram que a escolha da fun´²o objetivo a ser otimizada interfere na polºtica de opera´²o e deve ser definida com cuidado.

De acordo com Santos et al. (2011), a fun´²o objetivo especificada permite a medida do desempenho do modelo e est®sujeita ¯s inßmeras restri´bes, representadas por equa´bes de natureza linear e n²o linear que traduzem as limita´bes f°sicas dos reservatÆrios, per°metros irrigados e equipamentos hidr@licos, limita´bes hidrolÆgicas, legais, econ×micas e sociais, inerentes aos sistemas de usos mßltiplos.

Para esta pesquisa, o modelo ¶ representado pelos seguintes tÆpicos, os quais s² o levados em considera ´² o nas equa ´ Þes da FO, segundo Oliveira (2013):

- ¿ Demandas nas tomadas de @gua (DTDQ): permitem a capta´²o de @gua nos reservatÆrios do sistema para atender determinados requerimentos de consumo, objetivando a minimiza´²o no d¶ficit do atendimento para as demandas nas tomadas d`@gua e nÆs do sistema.
- ¿ Volume meta dos reservatÆrios (VMR): destina-se a manter o volume de ®gua do reservatÆrio em certo nºvel para atender certas demandas, como controle de cheias, recrea´²o, piscicultura, ou gera´²o de energia el¶trica. Um crit¶rio operacional atribuºdo aos reservatÆrios ¶ que o volume final no ßItimo ano seja igual ou maior ao volume inicial do reservatÆrio em estudo.

Fun´² o Multiobjetivo

De acordo com Santos et al. (2011), o modelo permite efetuar uma an®ise multiobjetivo atrav¶s do M¶todo das Pondera´Þes, sendo cada fun´²o objetivo, descrita anteriormente, normalizada. Logo a fun´²o objetivo do modelo ¶ dada pela Equa´²o 3.

$$Minfo=w1*DTDQ + w2*VER + w3*VMR - w4*RL - w5*MO$$
 (3)

Onde.

iw $\bar{}$ coeficiente de pondera $\bar{}$ o que mede a relativa import $\bar{}$ ncia (ou prioridade de atendimento) dada a cada objetivo, i = 1, $\bar{}$ u, 5. Quando i w = 0 a fun $\bar{}$ o objetivo i $\bar{}$ o ser $\bar{}$ considerada no processo de otimiza $\bar{}$ o.

E qua 'Þes de restri 'Þes

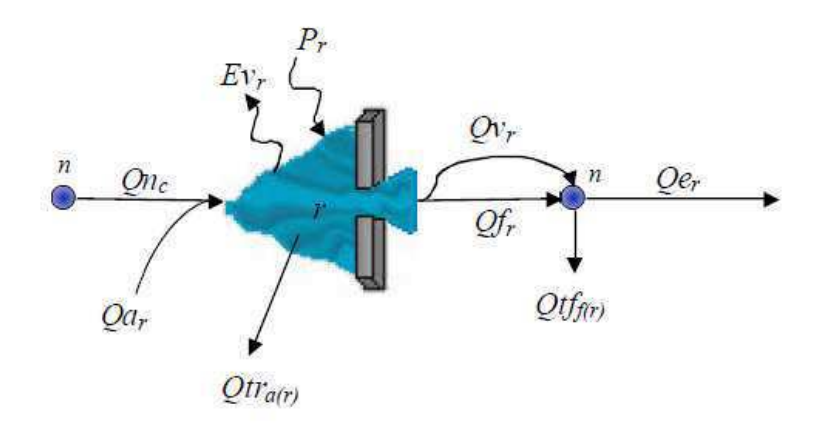
As equa´bes de restri´bes est²o relacionadas ¯ opera´²o dos reservatÆrios e aos crit¶rios operacionais e agron×micos.

Opera ´² o dos reservatÆrios

De acordo com Santos et al. (2011), os reservatÆrios podem ser conectados a outros elementos do sistema, a montante, a um nÆ do sistema onde recebe vazÞes afluentes, e a jusante, o descarregador de fundo, vertedouros e tomadas de ®gua,

atrav¶s de nÆs (Figura 8). A vaz²o em cada um destes elementos depende de seus par°metros hidr®ulicos e do nºvel de ®gua dos reservatÆrios.

Figura 8 - Diagrama representando os componentes do reservat/Frio avaliados pelo modelo



Fonte - SANTOS, 2007

O reservatÆrio tem v®ios dados e equa´Þes associadas a ele. Dentre os dados podemos ressaltar os de precipita´²o, evapora´²o, volume morto, capacidade m®xima, volumes operativos, etc. Existem, tamb¶m, rela´Þes entre a cota da superfocie do espelho loquido, a ®ea desta superfocie e o volume. Por outro lado, tem-se que efetuar, a cada m¸s t, o balan´o hodrico do reservatÆrio, que ¶ baseado no princopio de conserva´²o da massa e determina a varia´²o mensal do volume armazenado do reservatÆrio expressa pela seguinte equa´²o:

Onde,

r⁻ ondice que representa o r-¶simo reservatÆrio do sistema;

n⁻ ondice que representa o n-¶simo nÆdo sistema;

VRr(t) - volume do reservatÆrio r no final do m, s t;

VRr(t - 1) - volume do reservatÆrio r no inºcio do m s t;

Qar(t) - vaz² o afluente ao reservatÆrio r durante o m s t;

a(r) ⁻ ondice que representa a a-¶sima tomada d ®gua do reservatÆrio r;

f(r) - ondice que representa a f-¶sima tomada d gua de fundo do reservatÆrio r;

Qtra(r) (t) a-¶sima vaz² o de tomada d ®gua do reservatÆrio r no m s t;

Qtff(r) (t) - f-¶sima vaz² o de tomada d ®gua de fundo do reservatÆrio r no m s t;

Qfr(t) - vaz² o de descarga de fundo do reservatÆrio r durante o m, s t;

Qvr(t) - volume vertido do reservatÆrio r durante o m. s t;

Pr(t) - volume precipitado no reservat/Frio r durante o m s t;

Evr(t) - volume evaporado no reservatÆrio r durante o m, s t;

Qnc(t) vaz²o de entrada no reservatÆrio r oriundo de contribui´Þes da c-¶sima calha (trecho) do rio montante do reservatÆrio r no m, s t.

A inda segundo Santos et al. (2011), dependendo das vaz pes afluentes, a aloca´²o mensal de ®gua do reservat Afrio para os diversos usos, as ®eas do espelho d´®gua, as cotas do n°vel de ®gua e os volumes mensais de ®gua do reservat Afrio variam de m¸s a m¸s sendo, portanto, necess®io atualiz®los mensalmente. Para tanto, faz-se necess®io o uso das rela´pes cota-®ea-volume de cada um dos reservat Afrios. A ®ea do espelho de ®gua do reservat Afrio ¶relacionada com o volume do reservat Afrio atrav¶s de segmentos de reta na curva ®ea-volume de modo a obter um bom ajuste linear da mesma.

Outros componentes do sistema

Dentre os componentes do sistema hºdrico est² o as calhas dos rios, cujas vaz Þes podem estar limitadas por valores inferiores, indicando requerimentos de regulariza´ Þes e de vaz Þes ecol Ægicas para saneamento do rio, ou superiores, para o controle de cheias, que podem ser descritas matematicamente por:

$$Qnminc(t) \#Qnc(t) \#Qnmaxc(t)$$
(5)

Onde,

Qnminc(t) vaz² o mºnima na c-¶sima calha de rio no m s t;

Qnmaxc(t) vaz²o m®ima na c-¶sima calha de rio no m, s t.

As perdas por evapora´²o e a infiltra´²o nas calhas dos rios s²o avaliadas atrav¶s de um coeficiente de perda, que deve ser especificado para o sistema e representa a fra´²o do fluxo que seria perdida durante o percurso na calha do rio.

Processo iterativo de otimiza ´² o e an@ise de converg, ncia

O modelo utiliza um procedimento iterativo do uso da PL, denominado Programa´²o Linear Sequencial (ou Sucessiva). Os trechos segmentados do volume do reservatÆrio (Vrmr(t)) s²o ajustados em cada itera´²o de modo a resultarem em um volume de ®gua armazenado de forma correta (SANTOS et al., 2011).

De acordo com Oliveira (2013), na primeira otimiza´²o (l = 1), os valores de cada trecho segmentado podem estar corretos, indicando assim a solu´²o Ætima do problema. Por¶m, quando isso n²o ocorre, para uma boa aceita´²o dos resultados, al¶m da verifica´²o dos valores dos trechos segmentados, s²o analisados os valores calculados para a fun´²o objetivo fo, sendo avaliado atrav¶s do erro relativo (erroŧo), dado por:

Onde,

 I^- indica o nßmero de vezes que est®sendo aplicado o processo de otimiza $^{\prime 2}$ o em PL (I=2);

fol valor da fun 2 o objetivo para a l-¶zima otimiza 2 o.

O erro relativo (errofo) deve respeitar certo nºvel de tolerºncia (tol) especificado para o sistema a ser otimizado. Para esse trabalho, foi utilizada uma tolerºncia da ordem de 🗔 🎏

O fluxograma geral do modelo est® apresentado na Figura 9. § importante ressaltar que as saºdas do modelo, que possibilitam extensivas an®ises de desempenho do sistema hºdrico em estudo, s²o os valores mensais para volumes, cotas e ®eas de espelho d´®gua, vaz Þes mensais de afluxos, de descargas e de sangria por reservatÆrio; vaz Þes mensais nas tomadas d´®gua e nas calhas do rio; vaz Þes mensais para irriga´²o por perºmetro, ®eas irrigadas e m²o de obra alocadas por cultura e por perºmetro, receita l°quida anual auferida por cultura em cada perºmetro (SA NTOS, 2007).

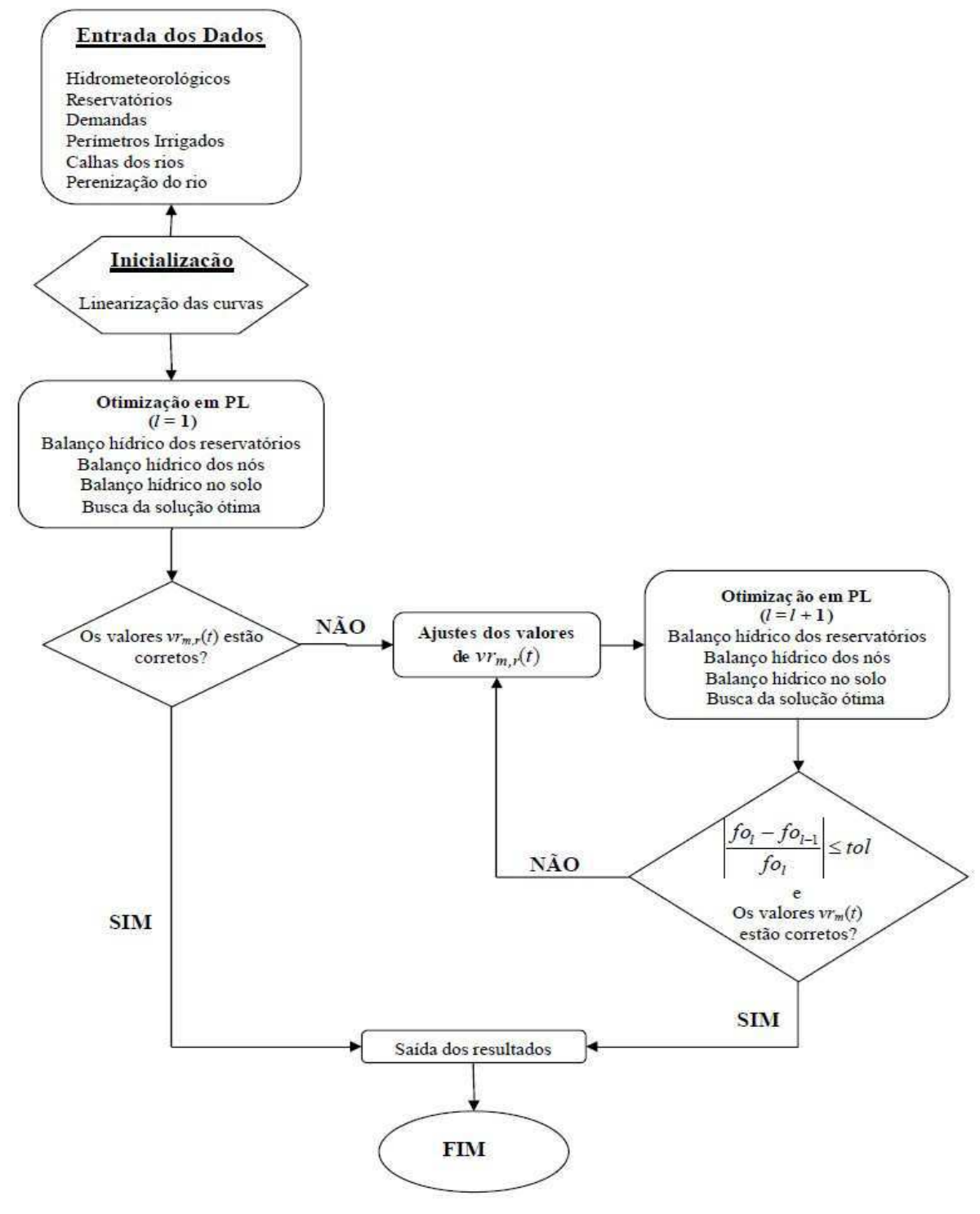


Figura 9 - Fluxograma do modelo de otimiza 2º o

Fonte - Santos (2007)

3.4.3 Indicadores de desempenho

A opera´²o de sistemas de recursos hºdricos composto por reservatÆrios de abastecimento de ®gua, e a incerteza quanto aos aspectos hidrolÆgicos do sistema

podem levar a ocorr, ncia de falhas no atendimento aos requerimentos hºdricos. As caracterºsticas destas podem ser representadas pelos indicadores de desempenho.

De acordo com Srinivasan et al. (1999) apud Celeste (2006), as falhas em opera´²o de sistemas de reservatÆrio de abastecimento de @gua s²o frequentemente inevit@veis durante per°odos hidrolÆgicos cr°ticos. As falhas que caracterizam cada sistema podem ser representadas pelos seguintes indicadores de desempenho: confiabilidade, resili¸ ncia e vulnerabilidade. Esses tr¸ s indicadores de desempenho, juntos, podem ser usados para caracterizar o `risco_ para opera´²o e planejamento de reservatÆrio.

De acordo com Oliveira (2013), tem-se a situa´²o do funcionamento de um reservatÆrio, em que Vt s²o os poss°veis valores do volume liberado do reservatÆrio no tempo t, podendo estar contido em dois conjuntos: S, o conjunto de todos os valores satisfatÆrios, ou seja, quando o volume liberado do reservatÆrio ¶ igual ao volume necess®io para atender ¯ demanda e F, o conjunto de todos os valores insatisfatÆrios, que ocorre quando o volume liberado ¶ menor do que o volume necess®io para atender ¯ demanda (Figura 10).

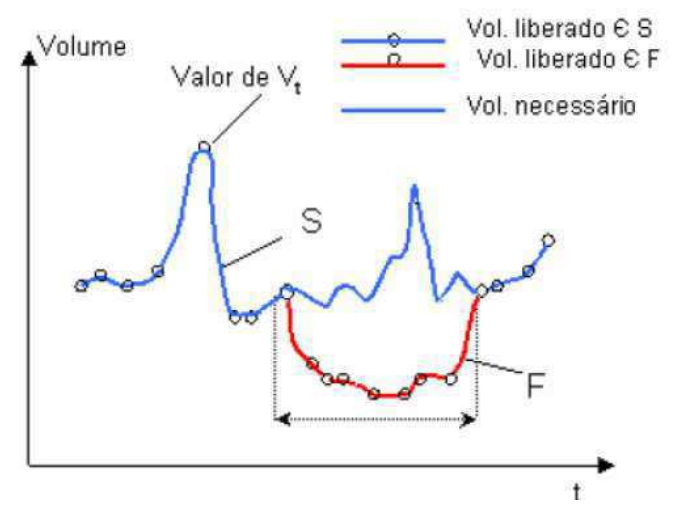


Figura 10 - Exemplo fict^ocio de descarga em reservatÆrio

Fonte - Celeste (2006)

De acordo com Hashimoto et al. (1982), os tr. s indicadores s² o definidos como:

C onfiabilidade

O indicador de Confiabilidade (Conf) estabelecido por Hashimoto em 1982, ¶a capacidade de o sistema hºdrico operar sem falhas no atendimento as demandas por determinado perºodo de tempo (Equa ´² o 7). Este indicador ¶ uma ferramenta de auxºlio aos gestores de recursos hºdricos que apresenta efici, ncia no atendimento aos requerimentos hºdricos de um sistema.

Onde: Ns = Nßmero de sucessos;

N = Nßmero de perºodos de tempo simulados.

Resili, ncia

O indicador de Resili, ncia (Res) indica a capacidade do sistema hºdrico de retornar ao seu estado original apÆs ter passado por perºodos de falhas, podendo assim, ao atendimento de suas demandas (E qua ´² o 8).

Segundo Lanna (2002), um sistema que tenha muitas falhas, mas tende a se recuperar rapidamente ¶ em alguns casos, prefer^ovel a um sistema com poucas falhas, mas o qual as se recuperem lentamente.

V ulner abilidade

O indicador de vulnerabilidade demonstra as consequ, ncias que uma falha pode ocasionar em todo o sistema hºdrico. Assim, a Vulnerabilidade (Vul) indica o grau de severidade das falhas ocorridas no sistema. Ela pode ser definida como a m¶dia do percentual de d¶ficits do conjunto de todos os valores insatisfatÆrios (Equa´²o 9).

Sustentabilidade

Loucks (2000), ainda prop×s um ondice de sustentabilidade geral (sust) definido por:

$$sust = conf * res * (1-vul)$$
 (10)

V ulnerabilidade m®ima

A an®ise do d¶ficit m®imo (defm®x) representa o valor mºnimo de atendimento de uma demanda hºdrica nos reservatÆrios estudados.

3.4.4 Phdices de efici ncia associados aos reservatÆrios

Os °ndices de efici, ncia associados aos reservatÆrios s² o utilizados para comparar cen®ios de demanda hºdrica sob diferentes formas de transporte, leito de rio ou por adutoras, por exemplo. A trav¶s deles, visa-se determinar quais cen®ios obtiveram menores perdas de ®gua no sistema e avaliar os rendimentos hºdricos de cada cen®io.

De acordo com Farias et al. (2017), os estudos de recursos hºdricos usam uma grande quantidade de dados, o que tornam as propostas de gerenciamento uma tarefa muito difºcil. Para isso ¶necess®io criar parºmetros de avalia´²o que retenham apenas os dados essenciais, que s²o chamados de indicadores de desempenho (como visto no tÆpico anterior) e os indicadores de efici, ncia associado aos reservatÆrios, os quais s²o baseados em equa´²o de balan´o hºdrico, representados a seguir segundo Farias et al. (2017):

:Vr- Rela´²o entre a variabilidade volum¶trica do reservatÆrio e o volume total afluente anual. Este °ndice indica a variabilidade intra-anual do volume do reservatÆrio.

Onde:

Vrinicial e Vrfinal s² o os volumes iniciais e finais dos reservatÆrios respectivamente. Qat e Pt s² o respectivamente os volumes mensais afluentes e precipitado no reservatÆrio.

Na fÆrmula se os valores resultarem em negativos, indica uma deple´²o do reservatÆrio (anos de seca) e valores positivos, significa um acßmulo, isto ¶ ganho de @gua no reservatÆrio.

:E-§ a rela´²o entre o volume evaporado (Et) (superf°cie do reservatÆrio) e o volume afluente:

Onde Et: evapora '2 o mensal do reservat Ario.

Este ondice tem como caracterosticas:

亦Estabelecer efici、ncia no armazenamento de 喚ua;

亦Pode indicar que o reservatÆrio tem baixa profundidade e grande ®ea do espelho l°quido;

亦 Pode ser usado para determinar a rapidez com que a 噯ua deve ser usada para reduzir as perdas por evapora 20.

:P § a rela ´² o entre a precipita ´² o direta sobre a bacia hidr®ulica do reservatÆrio (superf°cie l°quida do reservatÆrio) e o volume anual total afluente. Este °ndice indica a porcentagem de precipita ´² o direta na bacia hidr®ulica do reservatÆrio:

Onde Pt: precipita '2 o direta do reservat Ærio

亦Esse °ndice pode indicar que o reservatÆrio tem baixa profundidade e grande ®ea do espelho l°quido;

亦Altas taxas indicam que a bacia de contribui´²o ¶pequena.

:V- Rela´²o entre o volume vertido (QVt) (sangria do reservatÆrio) e o volume afluente:

Onde QV t: derrame do ßItimo reservatÆrio

Esse ondice tem como caracterosticas:

- ¿ Estabelecer a efici, ncia quanto ao armazenamento da ®gua (perdas) ou capacidade relativa do reservatÆrio;
- ¿ Indica o quanto o reservatÆrio desperdi´a a ®gua afluente por vertimento.

:u- Rela´²o entre o volume de ®gua utilizado (Qut) (descarregadores, tomadas d´®gua) e o volume afluente:

Onde Qut: reservatÆrios de volume de @gua retiram (para suprir demanda urbana, irriga´²o de animais e irriga´²o)

Esse ondice tem como caracterosticas:

- ¿ Estabelecer a efici ncia quanto ao uso da ®gua;
- ¿ Altos ondices indicam que existem poucos desperdocios;

De acordo com Oliveira (2013), uma rela´²o entre todos os °ndices citados pode criar diversos cen®ios, como os de demanda e hidroclim®icos. No primeiro tipo de cen®io pode associar uma ou v®ias demandas com par°metros (e.g.: evapora´²o) e compar®los. Nos cen®ios hidroclim®icos (seco, m¶dio e chuvoso) ¶ poss°vel avaliar a efici¸ ncia de v®ias atividades relacionadas ¯ represa (e.g.: controle de cheias, e preven´²o de secas).

Essa rela '2 o pode ser expressa por:

Segundo Farias et al (2017), os indicadores associados — potencialidade dos reservatÆrios s²o obtidos pela soma dos influxos mais a precipita′²o direta e a disponibilidade dos reservatÆrios ¶ igual — soma dos influxos mais a precipita′²o direta menos as perdas; As demandas de ®gua s²o usos consuntivos (consumo de ®gua para abastecimento humano e irriga′²o). Dentro deste contexto, os seguintes ondices s²o definidos:

Phdice de Ativa´²o Potencial (IAP) ¶ definido como a raz²o entre disponibilidade e potencialidade:

$$IAP = \frac{2^{n} \frac{1}{n} \frac{1}{n} \frac{1}{n} \frac{1}{n} \frac{1}{n} \frac{1}{n} = 1^{-n} \text{ perdas} = 1 - \frac{1}{n} \frac{1}$$

O Pholice de Utiliza $^{\prime 2}$ o de Disponibilidade (IUD) \P a raz 2 o entre demanda e disponibilidade:

$$IUD = \frac{35553}{355555} = \frac{1}{9155}$$

$$\frac{915}{355}$$

$$\frac{915}{355}$$

$$\frac{915}{355}$$

$$\frac{915}{355}$$

$$\frac{915}{355}$$

O Podice de Utiliza 2º Potencial (IUP) ¶a razº o entre a demanda e a potencialidade:

Tais °ndices tamb¶m podem ser aplicados ao sistema integrado de reservatÆrios, onde as aflu, ncias que entram no sistema mais a precipita ´²o direta sobre os reservatÆrios formam a potencialidade. Disponibilidade ¶ a potencialidade menos as perdas em tr°nsito, evapora ´Þes nos reservatÆrios e volumes de vertimento no leito do rio a jusante do sistema. As demandas s²o todos os usos consuntivos (abastecimento humano e irriga ´²o).

CAPPTULO IV - RESULTADOS E DISCUSSÚO

4.1 RESULTADOS DA SIMULA¤ ŰO

Como dito anteriormente, o objetivo da simula´²o ¶ analisar as vazÞes defluentes dos reservatÆrios Santo Ant×nio, Cordeiro, Sum¶, Soledade, Mucutu, Tapero®II e Serra Branca II, que afluem para o reservatÆrio Boqueir²o.

Observa-se que para o reservatÆrio Mucutu (Figura 11) ocorre vertimento apenas em dois meses do ano de 2016. A vaz²o vertida foi de 0,205 mE/s no m¸ s de mar´o e de 1,35 mE/s no m¸ s de abril de 2016, totalizando 1,555 mE/s toda a vaz²o vertida. Ocorreram deple´Þes no nºvel do reservatÆrio em v®rios perºodos, atingindo sua capacidade m®xima apenas em alguns meses dos anos de 2014 e 2016.

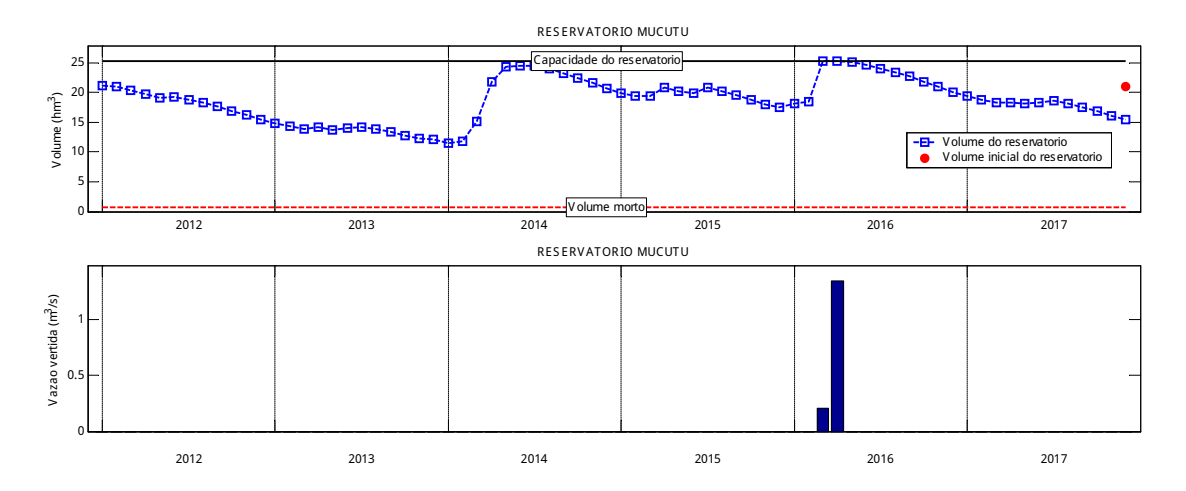


Figura 11 - Volume de @gua e vertimento do reservatÆrio Mucutu de 2012 a 2017

No reservat/Frio Tapero® II (Figura 12), os ßnicos anos que n²o houve vertimento foram os de 2012 e 2013. Em maio de 2016 houve o maior volume vertido no m¸ s de mar´o 4,5 mE/s e em julho de 2017 foi registrado o menor vertimento no per°odo analisado, de 0,126 mE/s. Os vertimentos ocorridos ao longo dos anos analisados, totalizaram um volume de 20,734 mE/s.

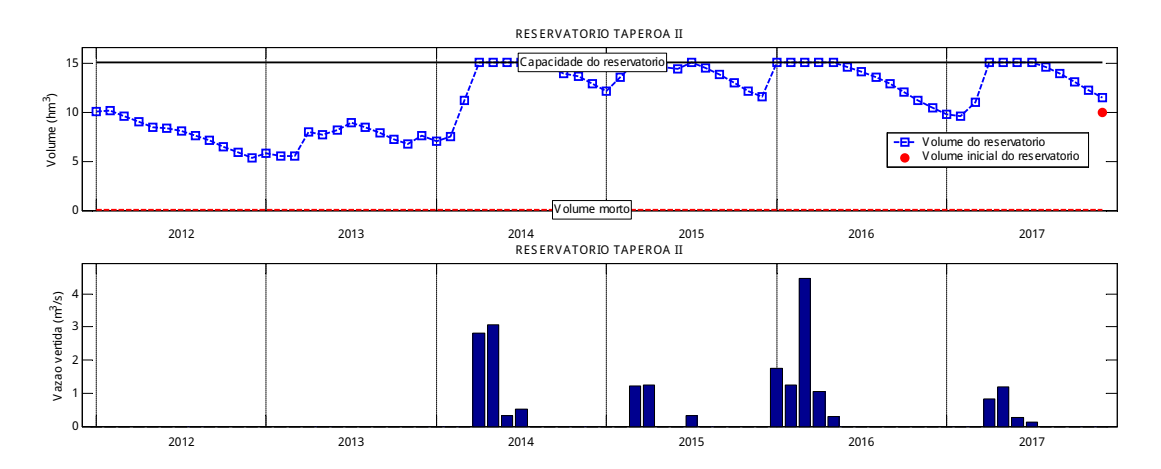


Figura 12 - Volume de @gua e vertimento do reservat/Frio Tapero®II de 2012 a 2017

Observa-se que para o reservatÆrio Soledade (Figura 13) n²o ocorreram vertimento para o perºodo analisado devido baixa aflu, ncia ao reservatÆrio (a maior foi de 0,28 mE/s, em junho de 2014).



Figura 13 - Volume de ®gua do reservatÆrio Soledade de 2012 a 2017

O reservat/Ærio Serra Branca II (Figura 14), assim como no reservat/Ærio Soledade, n² o houve vertimento no reservat/Ærio, ocorrendo deple ´² o no seu n°vel em todo o per°odo, chegando ao n°vel morto no final do ano de 2017.



Figura 14 - Volume de @gua do reservatÆrio Serra Branca II de 2012 a 2017

O reservatÆrio Sum¶ (Figura 15) contribui diretamente para o trecho principal do estudo, no leito do rio Paraºba. Os anos que n²o houve vertimento foram os de

2012, 2013 e 2015. Os volumes vertidos nos outros anos variaram de 0,25mE/s em agosto de 2014 a 9,38mE/s em abril de 2014, totalizando um volume de 33,6mE/s em todo o perºodo analisado. Em alguns meses dos anos de 2014, 2016 e 2017 o reservatÆrio atingiu seu volume m®ximo. Nestes tr¸ s anos, o reservatÆrio recebeu vazÞes afluentes consider®veis, contribuindo para chegada no volume m®ximo nestes perºodos.

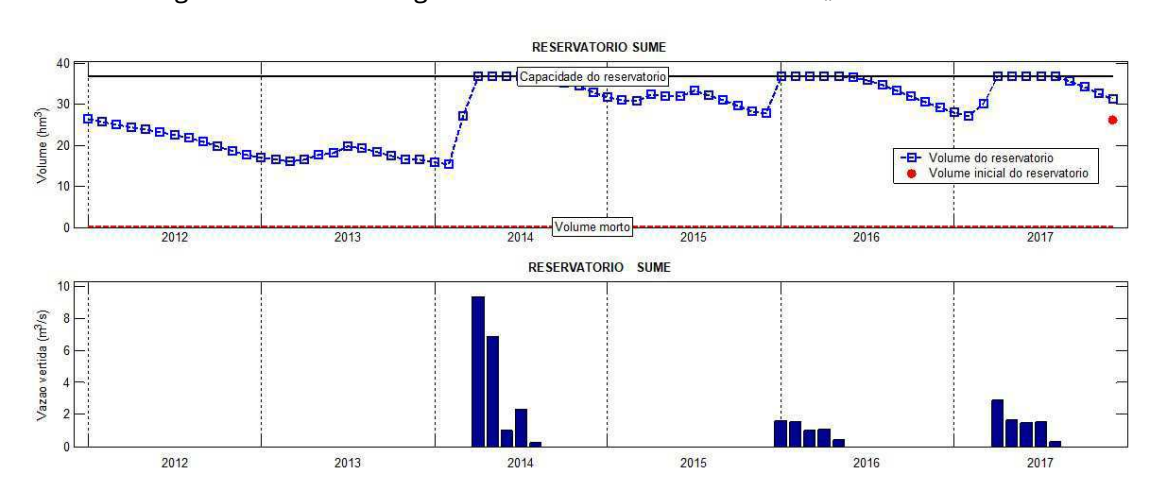


Figura 15 - V olume de @gua e vertimento do reservatÆrio Sum¶de 2012 a 2017

O a´ude de Santo Ant×nio (Figura 16) aflui diretamente no a´ude de Cordeiro, de onde desagua no trecho principal do rio Paraºba. O reservatÆrio n²o apresentou vertimento no perºodo analisado, apresentando oscila´Þes em seu nºvel de volume Dessa forma, n²o houve contribui´²o deste para o a´ude Cordeiro.



Figura 16 - Volume de @gua do reservat Ario Santo Ant×nio de 2012 a 2017

O reservatÆrio Cordeiro ¶ respons®vel pelo abastecimento da adutora do Congo, e conforme a Figura 17, tem-se que ocorreu o atendimento desta, no perºodo analisado sem apresenta falhas. No perºodo em an®ise n² o houve vertimento no reservatÆrio, logo n² o houve contribui ´² o deste para o trecho principal do rio Paraºba. Ocorreu deple ´² o no nºvel do reservatÆrio, chegando ao menor volume deste perºodo,

com apenas 11,19 hmE, onde sua capacidade de armazenamento ¶ de 69,96 hmE aproximadamente.

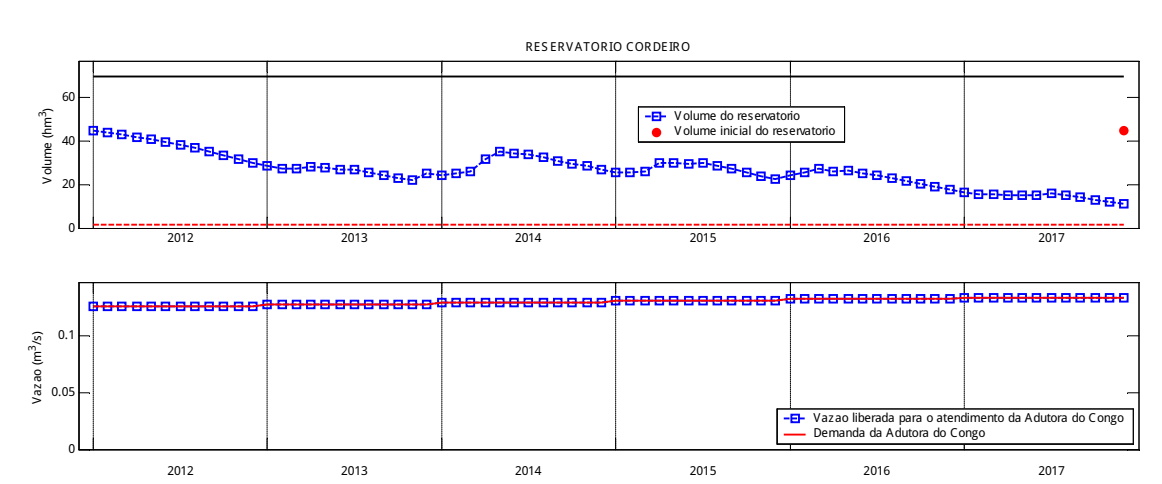


Figura 17 - V olume de ®gua do reservatÆrio Cordeiro e atendimento da adutora do Congo no perºodo de 2012 a 2017

O A nexo 3 mostra as vaz pes afluentes provenientes dos reservat Afrios a montante ao reservat Afrio Boqueir² o, no per^oodo de 2012 a 2017.

4.2 RESULTADOS DA OTIMIZA¤ ŰO

4.2.1 Cen®rio C1

A Figura 18 apresenta o atendimento das demandas estabelecidas para o abastecimento urbano (11 prioridade de atendimento) atrav¶s das adutoras consideradas no sistema. Observa-se que as demandas de abastecimento urbano foram atendidas sem apresentar falhas ao longo dos 6 anos de opera ´² o.

A segunda prioridade estabelecida para o sistema foi o da demanda hºdrica para irriga´²o das @eas agrºcolas, que nesse cen@io, considera a Resolu´²o Conjunta ANA/AESA-PB Nł 87, limitando as @eas irrigadas. A Figura 19 mostra que as demandas estabelecidas para as @eas agrºcolas neste cen@io foram atendidas sem apresentar falhas no perºodo analisado.

Figura 18 - A tendimento das demandas de abastecimento urbano no Cen ${}^{\odot}$ io C1

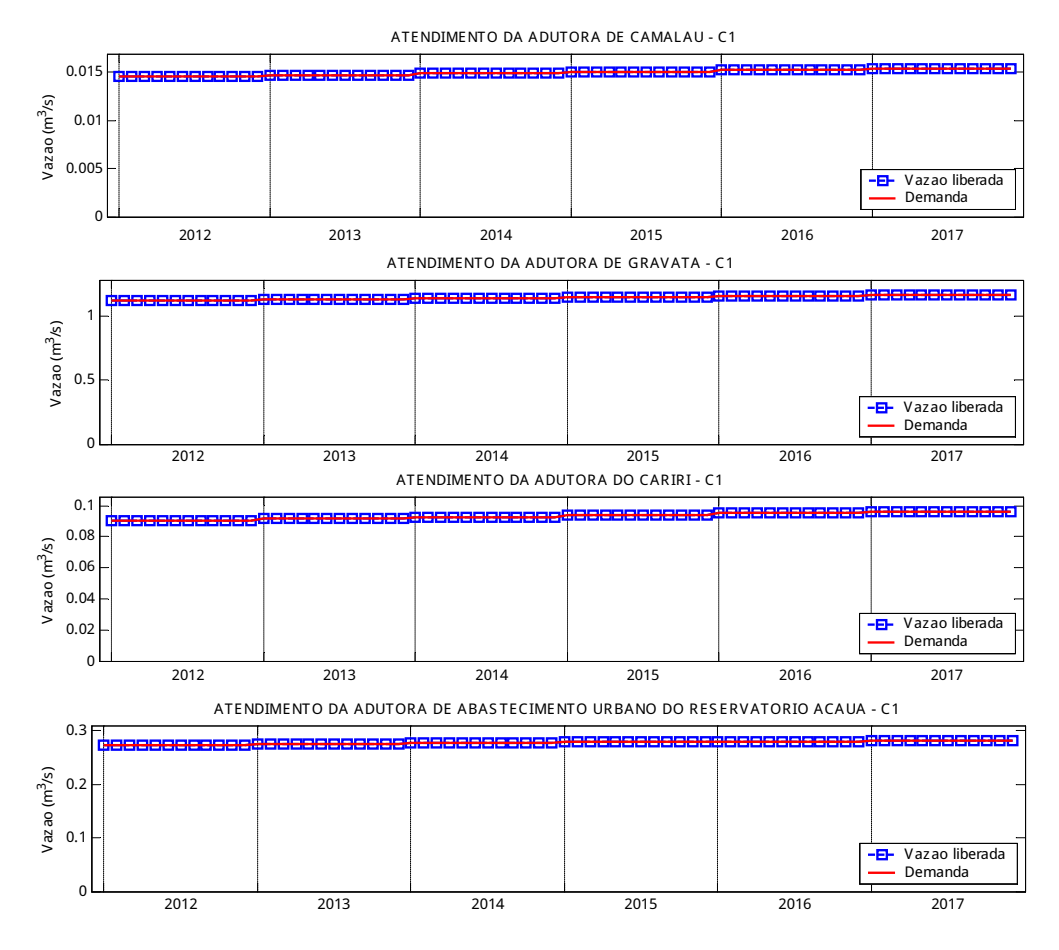
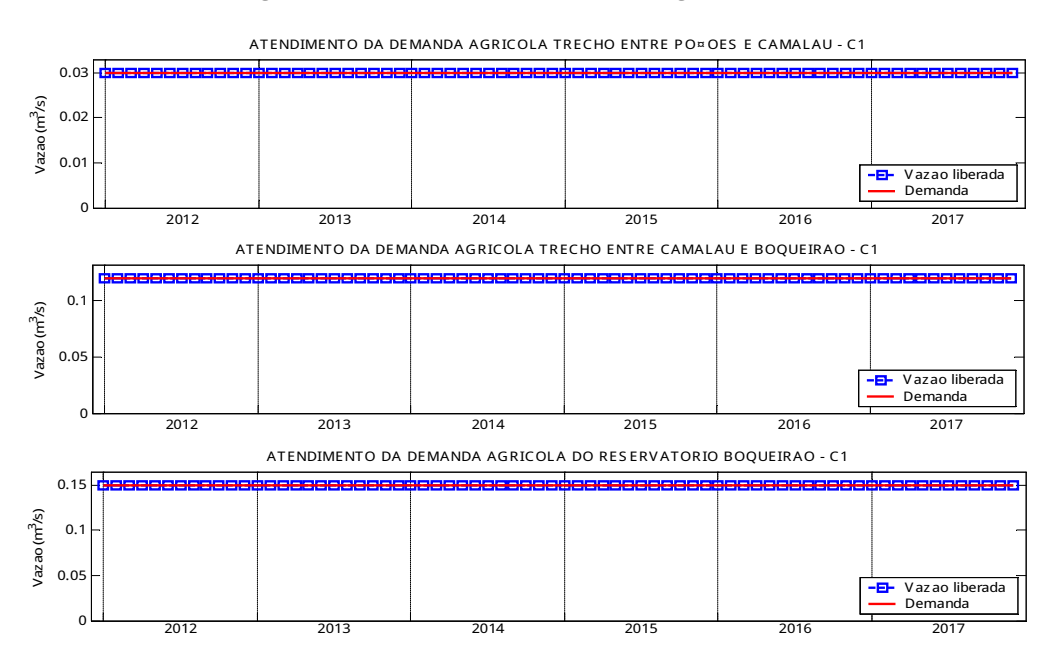


Figura 19 - A tendimento das demandas agrºcolas do Cen®io C1



A ßnica demanda n² o atendida foi a estabelecida para o canal A cau²-A ra´agi. Devido ao alto valor demandado de 10mE/s do canal, este apresentou falhas no atendimento em todo o perºodo analisado conforme observado na Figura 20. De modo que essa demanda n² o apresenta Confiabilidade, Resili, ncia e Sustentabilidade (Tabela 8). A vulnerabilidade das falhas ¶ de cerca 57% sendo a vulnerabilidade m®tima (que indica o grau de severidade das falhas ocorridas no sistema) de 75%, ou seja, em m¶dia o sistema sÆconseguir®liberar para o canal uma vaz² o de 4,3 mE/s, podendo em alguns meses liberar apenas 2,5 mE/s.

ATENDIMENTO DO CANAL ACAUA-ARA¤AGI - C1

10
8
-E- Vazao liberada
Demanda

Figura 20 - A tendimento da demanda do canal A cau² - A ra´agi no Cen®io C1

Tabela 8 ⁻ Indicadores de Hashimoto para a demanda do Canal Acau²-Ara´agi no Cen®io C1

| Confiabilidade | R esili¸ ncia | V ulnerabilidade | V ulnerabilidade | Sustentabilidade |
|----------------|---------------|------------------|------------------|------------------|
| | | | m®xima | |
| 0 | 0 | 0,57 | 0,75 | 0 |

Com rela´²o ¯ vaz²o defluente do reservatÆrio A cau² (Figura 21) tem-se que o mesmo n²o foi capaz de perenizar o rio Paraºba a jusante dele. Isso ¶ por causa da alta demanda do canal A cau²-A ra´agi, de modo, que tal situa´²o ¶ preocupante para o atendimento de possºveis demandas que possam surgir a jusante do reservatÆrio.

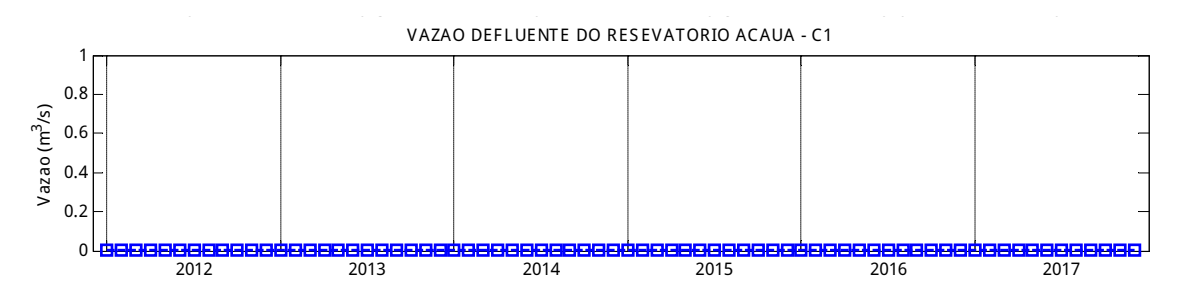


Figura 21 - V az² o defluente do reservatÆrio A cau² no Cen®rio C1

Na Figura 22, tem-se os volumes de ¿ gua dos reservat Ærios Po´ Þes, Camalaß, Boqueir² o e A cau². Pode-se observar que os a´udes de Po´ Þes e Camalaß permanecem a maior parte do tempo em seus volumes mæimos, Camalaß apresentando um decr¶scimo no seu volume no final de 2017, devido ao atendimento da sustentabilidade dos reservat Ærios Boqueir² o e A cau², tendo como restri´² o seu volume final tendo que ser maior ou igual ao volume inicial. Dessa forma, como o reservat Ærio Boqueir² o iniciou com um volume alto, Camalaß teve que liberar ¿ gua para suprir as demandas de Boqueir² o.

Os volumes mensais dos reservat/Frios Boqueir²o e A cau² apresentam comportamento caracterºstico, que diminuem entre agosto e janeiro (meses com menores vaz pes afluentes), aumentando na esta ´²o chuvosa (entre abril e maio). A lcan ´aram por alguns perºodos seu volume m®ximo, entre julho e setembro de 2014 e, maio e junho de 2016. O reservat/Frio A cau² alcan ´ou seu volume m®ximo em maior parte do tempo se comparado com o reservat/Frio Boqueir²o.

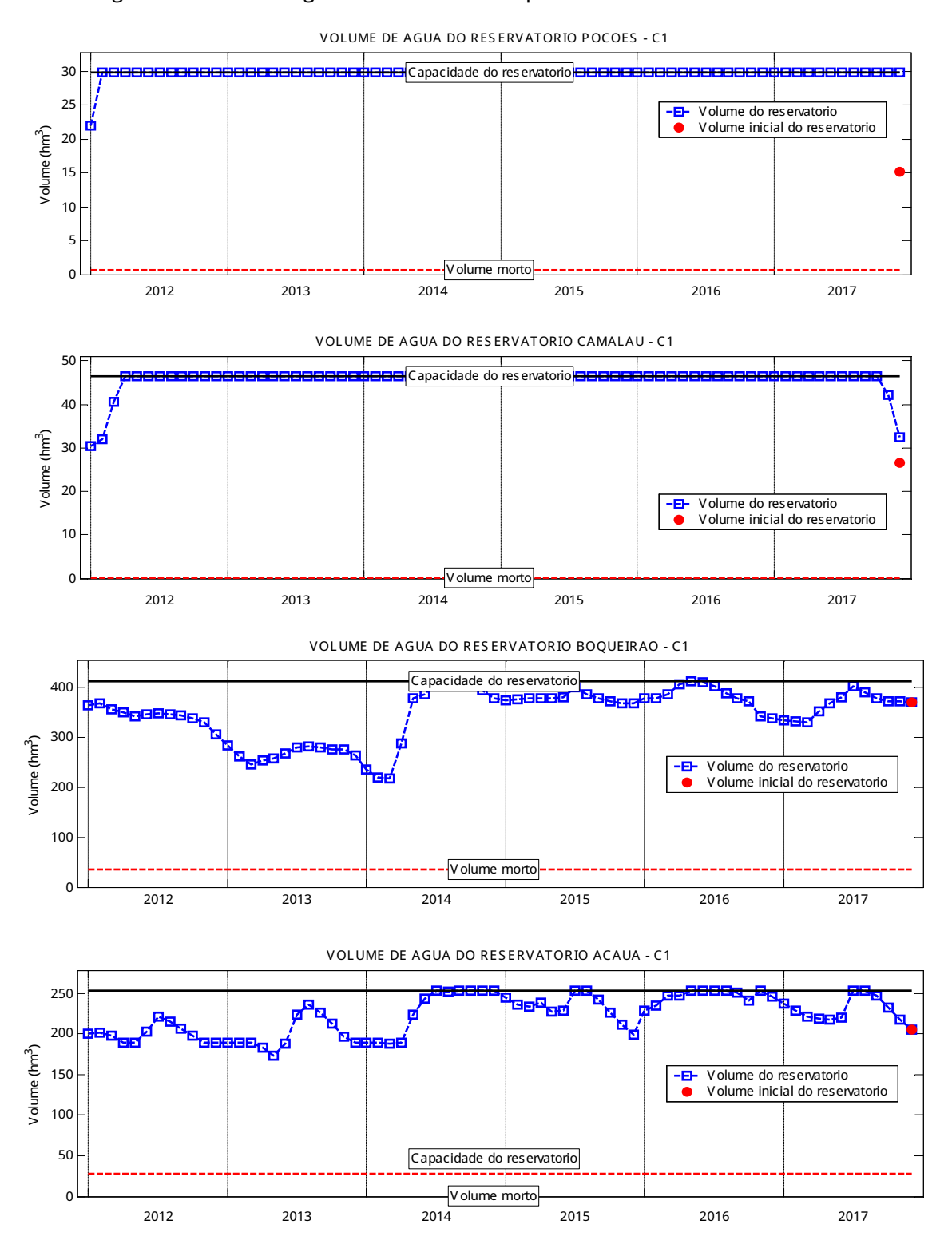


Figura 22 - V olume de @gua dos reservat/Frios receptores da vaz² o do PISF no Cen@io C1

No perºodo analisado o volume m¶dio anual dos reservatÆrios Boqueir² o e A cau² permaneceu acima de 52% das suas capacidades, o menor volume estimado no a´ude Boqueir² o foi de 217,76 hmE (cerca de 52,9% da capacidade total do

reservat/Frio) e 173,38 hmE no a´ude A cau² (cerca de 68,5% da capacidade total do reservat/Frio). Isso se deve vaz²o ex/Fgena do PISF que garantiu uma vaz²o afluente no trecho a montante do reservat/Frio Boqueir²o, mesmo com suas perdas em tronsito e por evapora´²o. Dessa forma, possovel observar que mesmo o perodo analisado sendo considerado seco, os volumes de gua desses dois reservat/Frios permaneceram acima de 50% de suas capacidades, mostrando a relevoncia das aflu, ncias aos reservat/Frios.

A Tabela 9 apresenta os valores dos volumes evaporados m¶dios mensais dos reservatÆrios no Cen®io C1. Os maiores volumes evaporados ocorrem entre os meses de outubro a dezembro. Entre todos os reservatÆrios, Boqueir²o apresentou o maior volume evaporado devido maior ®ea do espelho d ®gua.

Tabela 9 ⁻ Evapora ² o m¶dia mensal dos reservatÆrios no Cen®io C1

| R eservatÆrio | E vapora´² o m¶dia mensal (hmÞ/m¸ s) | | | | | | | | | | | |
|----------------|--------------------------------------|------|------|------|------|------|------|------|------|------|------|------|
| i esei vatalio | J an | Fev | Mar | A br | M ai | J un | J ul | Ago | Set | Out | Nov | Dez |
| Po´Þes | 1,34 | 1,08 | 0,94 | 0,8 | 0,82 | 0,9 | 1,05 | 1,31 | 1,41 | 1,61 | 1,65 | 1,69 |
| C amalaß | 1,36 | 1,07 | 0,93 | 0,81 | 0,84 | 0,92 | 1,07 | 1,33 | 1,43 | 1,64 | 1,67 | 1,68 |
| Boqueir² o | 6,03 | 5,39 | 5,15 | 5,21 | 4,97 | 3,89 | 4,06 | 4,78 | 5,38 | 7,03 | 6,69 | 6,56 |
| A cau² | 1,8 | 1,65 | 1,31 | 1,22 | 1,47 | 0,94 | 1,04 | 1,45 | 1,6 | 1,98 | 1,93 | 2,07 |

Os vertimentos dos 04 reservatArios receptores da vaz²o exAgena do PISF no cen®io C1 podem ser observados na Figura 23. Observa-se que ocorrem vertimentos, praticamente, durante todo o perºodo para os reservatArios Po´Þes e Camalaß. J®no reservatArio Boqueir²o sÆocorreu no m, s de agosto de 2014. N²o ocorreu vertimento no reservatArio A cau².

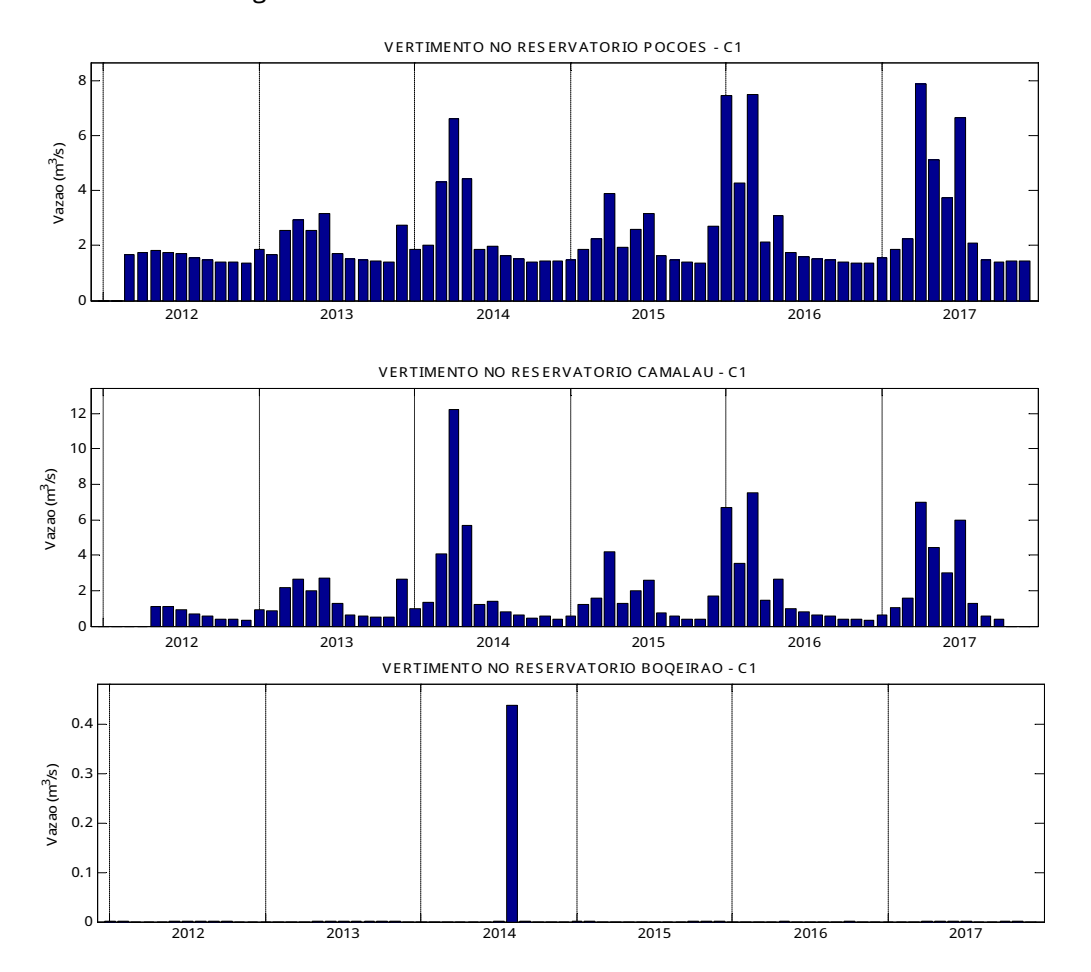


Figura 23 - Vertimento nos reservatÆrios no Cen®rio C1

A Tabela 10 apresenta os resultados dos Phdices de Efici, ncia associado aos reservatÆrios.

RESERVATΦRIO IAP IUD IUP 億虩 儢 億 偏 頒 PO¤ůES 0,02 0,47 0,92 0,43 0,09 0,02 0,46 0,43 $\mathsf{CAMALA}\Omega$ 0,54 0,96 0,51 0,01 0,10 0,02 0,37 0,51 BOQUEIRŰO 0,70 0,92 0,00 0,06 0,00 0,65 0,35 0,65 ACAUű 0,93 0,95 0,88 0,00 0,12 0,05 0,00 0,88

Tabela 10 ⁻ Phdices de Efici, ncia associados aos reservatÆrios no Cen®rio C1

Pode-se observar que:

¿ O indicador IAP mostra que os reservat/Frios Po´Pes e Camalaß, apresentam potencial para ampliar suas demandas, em 53% e 46% respectivamente. O reservat/Frio Boqueir² o ainda pode ampliar suas demandas em 30%. J® no reservat/Frio de A cau², essa amplia´² o ¶ bastante reduzida, devido ao canal A cau²-A ra´agi requerer grande parte de sua vaz² o;

- ¿ O indicador IUD indica que todos os reservatÆrios apresentam um alto valor de aloca´²o de ®gua, todos acima de 90%, devido alta demanda do Canal Acau²-Ara´agi, sendo necess®ios cuidados para o aumento de demanda, com estudos para todo o sistema para que n²o ocorram conflitos no futuro;
- O indicador IUP, o qual relaciona demanda e potencialidade do reservatÆrio, mostra que apenas no a´ude Acau² o valor ¶ alto, demonstrando que as demandas est² o prÆximas ao limite de potencialidade do reservatÆrio, n² o podendo apresentar acr¶scimos nas demandas requeridas deste. Esse valor alto como no indicador IAP, ¶ devido ao canal Acau²-Ara´agi que sobrecarrega o reservatÆrio com sua alta demanda, que pode gerar conflitos mesmo com as ®guas da transposi´²o, que como pode ser analisado neste e nos prÆximos cen®ios, n² o consegue atender a totalidade da demanda do canal de 10mE/s;
- ¿ A penas os reservatÆrios de Po´Þes e Camalaß apresentam uma variabilidade interanual do seu volume, pois permanecem cheios devido vaz²o exÆgena do PISF. Os reservatÆrios Boqueir²o e A cau² apresentaram o mesmo comportamento caracter°stico na varia´²o de seus volumes em ¶pocas de estiagem;
- A rela´²o entre o volume evaporado e o volume afluente, ou a efici¸ ncia quanto ao armazenamento de ®gua nos reservatÆrios ¶ muito menor no a´ude Boqueir²o, e isso se d®pela grande ®ea do seu espelho d´®gua, o qual facilita o processo de evapora´²o e a quantidade evaporada. De acordo com os resultados, a ®gua deve ser primeiramente utilizada no reservatÆrio Boqueir²o, seguido pelos reservatÆrios de A cau², Camalaß e Po´Þes, para melhor aproveitamento da ®gua, minimizando as perdas por evapora´²o;
- ¿ A influ, ncia da precipita´²o ¶ maior nos reservatÆrios Boqueir²o e A cau², pois com rela´²o aos outros dois reservatÆrios, eles apresentam menores vazÞes afluentes;
- Os reservat/Frios de Po´Pes e Camalaß s² o de m¶dia capacidade e recebem muita vaz² o ex/Fgena do PISF devido suas proximidades com o municºpio de Monteiro, onde ocorre a chegada das ®guas do PISF. Essas ®guas suprem todas as demandas desses reservat/Frios e o volume excedente ¶ vertido, n² o sendo aproveitado por eles, perenizando o rio a jusante. J ®os reservat/Frios Boqueir² o e A cau² n² o promovem regulariza ´² o interanual no perºodo analisado, pois as

- demandas nos dois reservatÆrios s² o muito elevadas e por apresentarem uma capacidade de armazenamento maior n² o houve a libera´² o de �gua por vertimento;
- Relacionando com o tÆpico anterior, percebe-se que o maior aproveitamento se d® no reservatÆrio de A cau², devido sua alta demanda, principalmente para atendimento do canal A cau²-A ra´agi, fazendo com que as ®guas sejam aproveitadas completamente. O outro reservatÆrio com bom aproveitamento ¶ o Boqueir² o, tamb¶m devido suas demandas serem altas. J® nos reservatÆrios Po´Þes e Camalaß o extravasamento de ®gua ¶ demasiado, n² o sendo esta ®gua aproveitada em sua totalidade.

A Figura 24 apresenta as perdas hºdricas no Cen®io C1, tanto por evapora ´² o quanto em rio ao longo do perºodo analisado.

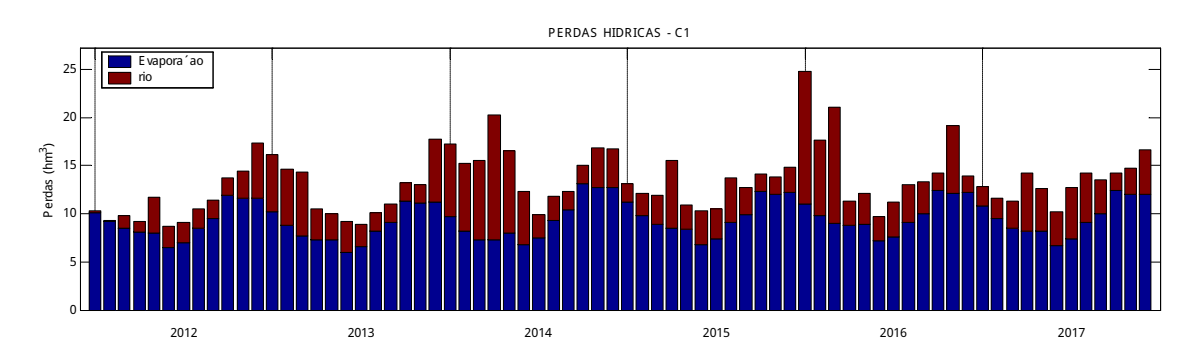


Figura 24 - Perdas hºdricas (hmB) por evapora 2º o e em leito de rio no Cen®io C1

Observa-se que as perdas hºdricas se situaram entre, aproximadamente, 10 e 20 milhbes de mE de @gua. Observa-se que a maior parte das perdas hºdricas ¶ devido evapora '2 o de @gua nos reservatÆrios (principalmente no reservatÆrio Boqueir² o), por¶m, de mar 'o a maio de 2014 e em janeiro e mar 'o de 2016 as perdas hºdricas ao longo do trecho do rio superaram as perdas por evapora '2 o.

A Tabela 11 apresenta o volume anual das perdas hºdricas por evapora´²o e leito do rio para o Cen®io C1. Tem-se que o ano de 2016 foi o que apresentou maior perda de ®gua no sistema. Em m¶dia se perde cerca de 160 hmEde ®gua por ano (maior que a capacidade dos reservatÆrios Po´Þes e Camalaß juntos).

| ANO | EVAPORA¤ Ű O (HM E) | PERDA NO RIO (HMB) | TOTAL |
|-------|---------------------|--------------------|-------|
| 2012 | 110,6 | 24,9 | 135,5 |
| 2013 | 104,8 | 44,1 | 148,9 |
| 2014 | 113,2 | 66,6 | 179,8 |
| 2015 | 116,7 | 37,1 | 153,8 |
| 2016 | 118,2 | 63,5 | 181,7 |
| 2017 | 114,9 | 44,1 | 159,0 |
| M§DIA | 113,1 | 46,7 | 159,8 |

Tabela 11 ⁻ V olume anual das perdas h^odricas por evapora ^{´2}o e leito do rio para o Cen®io C1

Considerando a Resolu´²o nł 67, de 11 de Setembro de 2018, que preconiza o pre´o da ®gua do PISF com o valor de R\$ 0,81/mE, tem-se que o custo financeiro das perdas hºdricas no Cen®io C1 ser®de cerca 129 milhÞes de reais por ano.

4.2.2 Cen@rio C2

Nesse cen®io ¶ considerada uma adutora que transportar® uma parcela das ®guas do PISF at¶ a ETA Gravat® localizada no municºpio de Queimadas - PB. As ®reas agrºcolas s² o as mesmas do Cen®io C1.

A Figura 25 apresenta o atendimento das demandas estabelecidas para o abastecimento urbano (11 prioridade de atendimento) atrav¶s das adutoras consideradas no sistema. Observa-se que as demandas de abastecimento urbano foram atendidas sem apresentar falhas ao longo dos 6 anos de opera ´² o.

A segunda prioridade estabelecida para o sistema foi o da demanda hºdrica para irriga´²o das @reas agrºcolas, que nesse cen@rio, considera a Resolu´²o Conjunta ANA/AESA-PB Nł 87, limitando as @reas irrigadas. A Figura 26 mostra que as demandas estabelecidas para as @reas agrºcolas neste cen@rio foram atendidas sem apresentar falhas no perodo analisado.

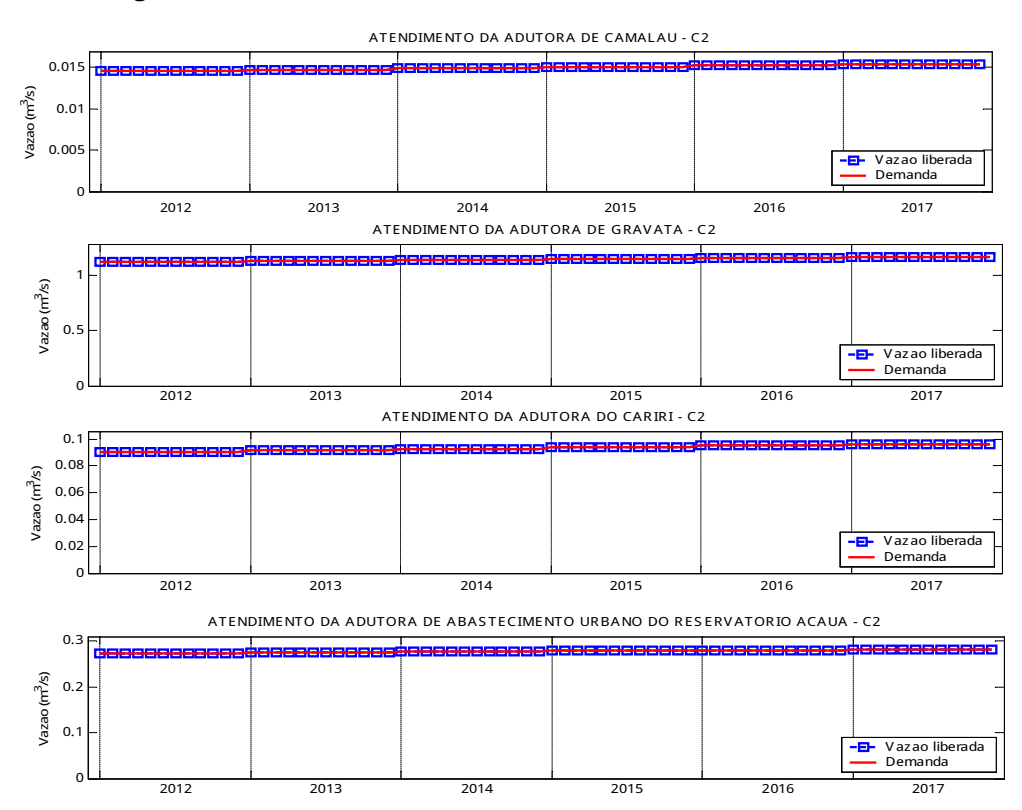
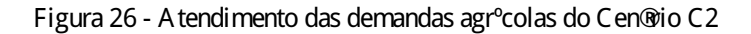
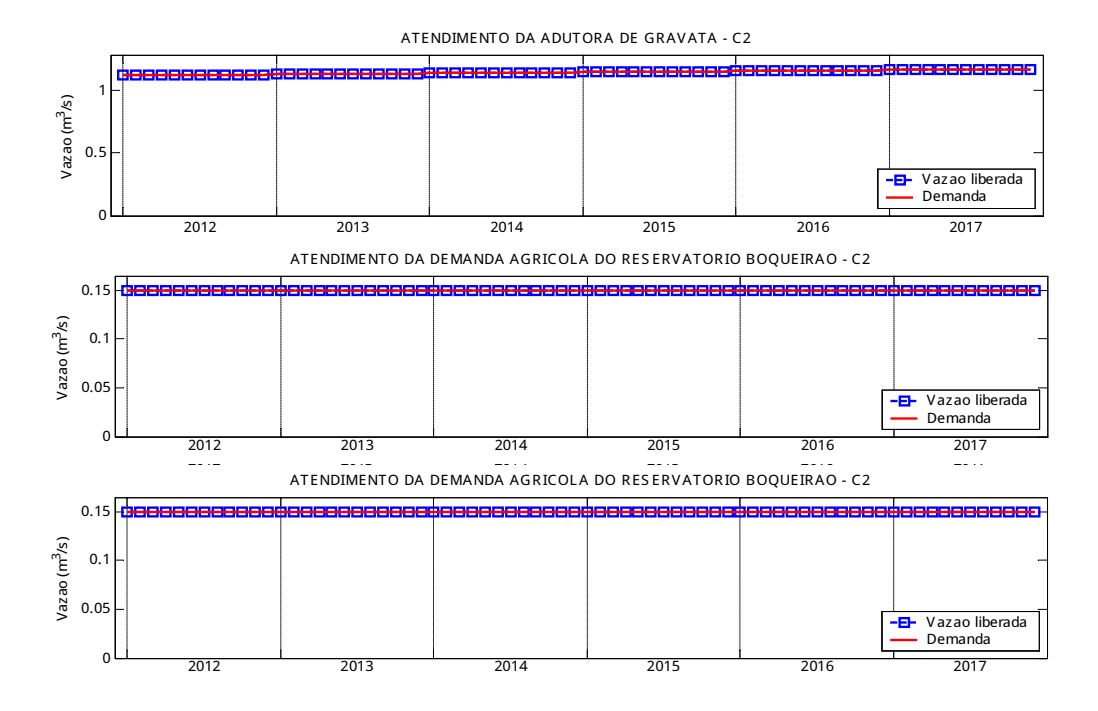


Figura 25 - A tendimento das demandas de abastecimento urbano no Cen®io C2





A ßnica demanda n² o atendida foi estabelecida para o canal A cau² - A ra´agi (do mesmo modo do Cen®io C1) como pode ser observado na Figura 27.

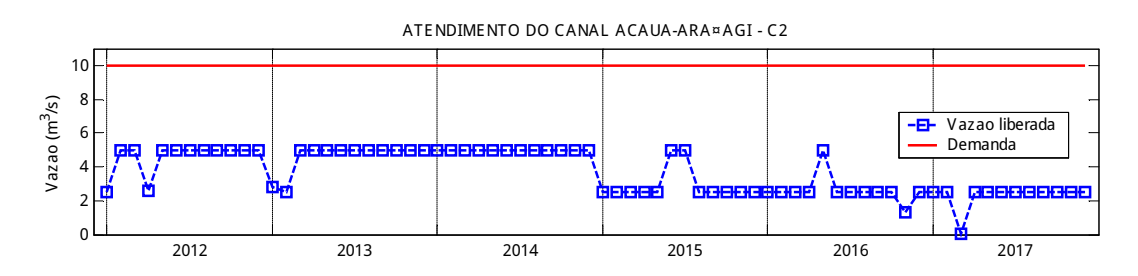


Figura 27 - Atendimento da demanda do canal Acau² - Ara´agi no Cen®io C1

Tem-se que essa demanda nº o apresenta Confiabilidade, Resili, ncia e Sustentabilidade (Tabela 12). A vulnerabilidade das falhas ¶ de cerca 63% (maior que a do Cen®io C1) sendo a vulnerabilidade m®xima (que indica o grau de severidade das falhas ocorridas no sistema) de 100%, ou seja, em m¶dia o sistema sÆconseguir® liberar para o canal uma vazº o de 3,7 mE/s, podendo em algum momento nº o atender a demanda.

Tabela 12 ⁻ Indicadores de Hashimoto para o a demanda do Canal A cau²-A ra´agi no Cen®io C2

| C onfiabilidade | R esili¸ ncia | V ulner abilidade | V ulnerabilidade m®xima | Sustentabilidade |
|-----------------|---------------|-------------------|----------------------------|------------------|
| 0 | 0 | 0,63 | 1,00 | 0 |

A Figura 28 mostra os volumes de ®gua dos reservatÆrios Po´Þes, Camalaß, Boqueir²o e A cau². Pode-se observar que os reservatÆrios Po´Þes e Camalaß permanecem a maior parte do tempo em seus volumes m®ximos (do mesmo modo do Cen®io C1) devido — proximidade desses reservatÆrios ao PISF, e por apresentarem uma capacidade menor de armazenamento.

Observa-se que o volume de @gua no reservatÆrio Boqueir² o nos anos de 2012 a 2015 s² o bem inferiores aos apresentados no Cen®io C1. Isso se deve a diminui ´² o da vaz² o exÆgena do PISF no rio Paraºba, j® que nesse cen®io, parte dessa vaz² o atende diretamente a demanda da ETA Gravat® Em nenhum momento o reservatÆrio atingiu sua capacidade de armazenamento.

Diferentemente do reservat/Frio Boqueir² o, o reservat/Frio A cau² apresentou um volume maior de ®gua nos anos de 2012 e 2013 quando comparado com o Cen®io C1, apresentando comportamento similar nos outros anos.

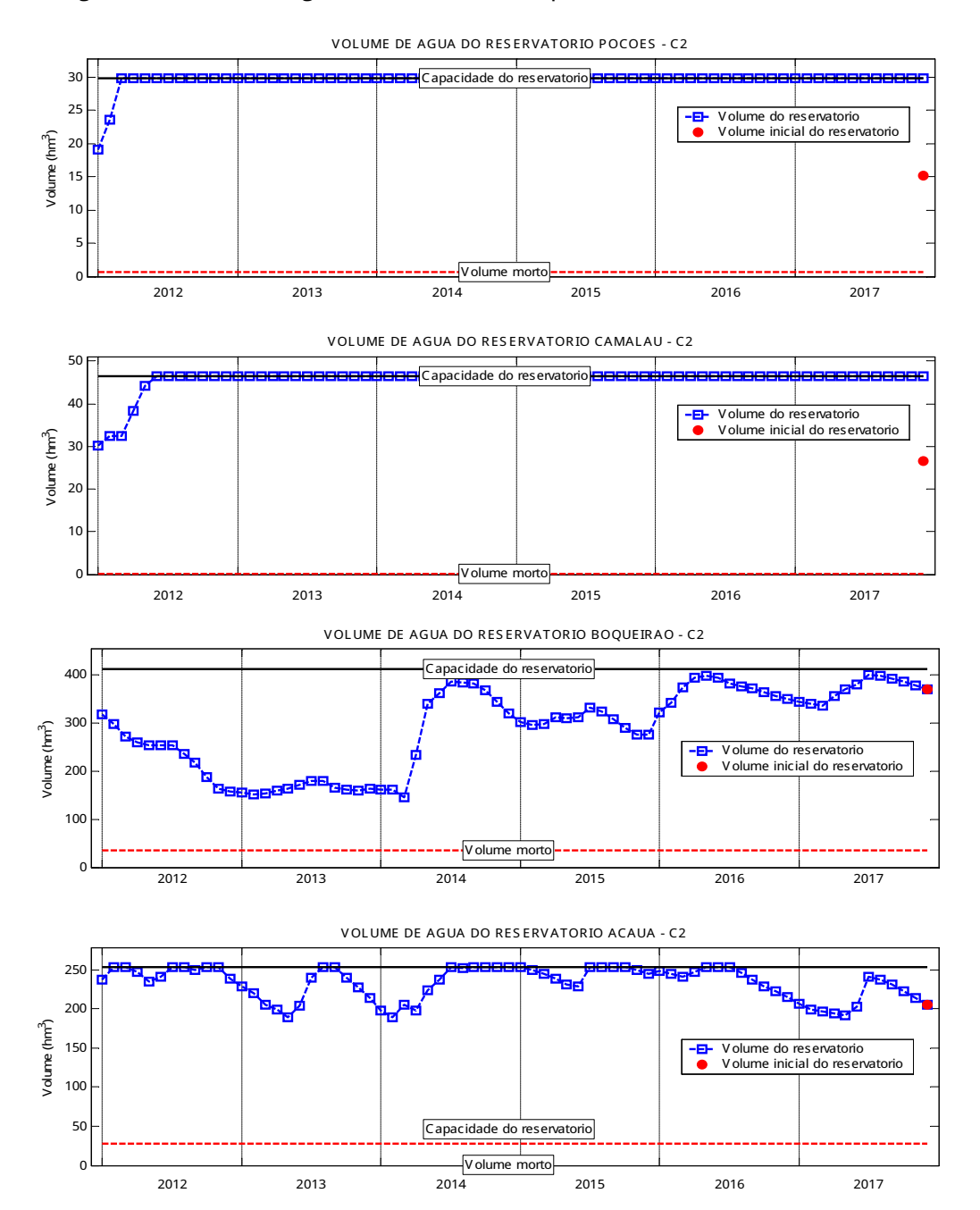


Figura 28 - Volumes de @gua dos reservat Arios receptores da vaz² o do PISF no Cen@rio C2

A Tabela 13 apresenta os valores dos volumes evaporados m¶dios mensais dos reservatÆrios no Cen®rio C2. Os valores apresentam similaridades ao Cen®rio C1, entretanto h® uma diminui′²o nos valores do reservatÆrio Boqueir²o devido a diminui′²o do volume de ®gua do reservatÆrio neste cen®rio.

Tabela 13 - Evapora '2 o m¶dia mensal dos reservatÆrios no Cen®io C2

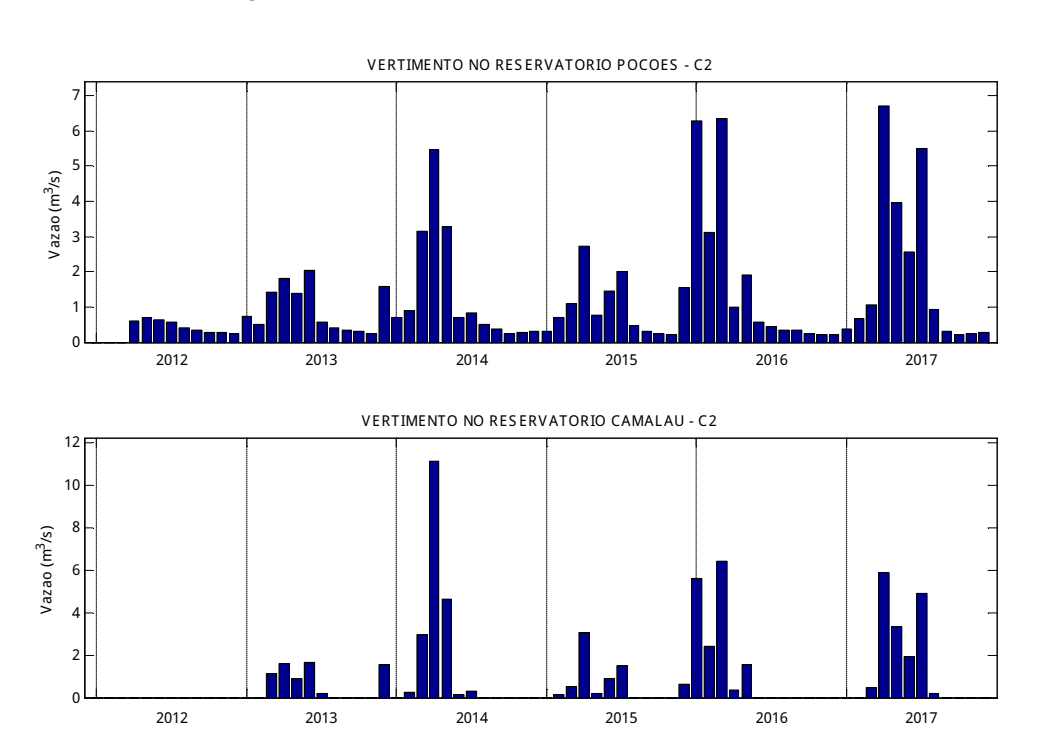
| R eservatÆrio | | | | Ev | apora′² | o m¶dia | mensal | (hm₽m | , s) | | | |
|-----------------|------|------|------|------|---------|---------|--------|-------|------|------|------|------|
| IN ESCI VALALIO | J an | Fev | Mar | Abr | Mai | J un | J ul | Ago | Set | Out | Nov | Dez |
| Po´Þes | 1,33 | 1,06 | 0,93 | 0,8 | 0,83 | 0,9 | 1,05 | 1,31 | 1,41 | 1,61 | 1,65 | 1,69 |
| Camalaß | 1,36 | 1,07 | 0,92 | 0,79 | 0,83 | 0,92 | 1,07 | 1,33 | 1,43 | 1,64 | 1,68 | 1,72 |
| Boqueir² o | 5,22 | 4,7 | 4,5 | 4,6 | 4,47 | 3,52 | 3,66 | 4,29 | 4,82 | 6,18 | 5,78 | 5,64 |
| A cau² | 1,86 | 1,71 | 1,35 | 1,25 | 1,51 | 0,95 | 1,05 | 1,47 | 1,63 | 2,05 | 2,01 | 2,16 |

Da mesma forma do Cen®io C1, n²o houve vaz²o defluente do reservatÆrio A cau² (Figura 29). E com rela´²o aos vertimentos (Figura 30), os mesmos sÆ ocorreram nos reservatÆrios de Po´Þes e Camalaß.

Figura 29 - V az² o defluente do reservatÆrio A cau² no Cen®io C2



Figura 30 - V ertimento nos reservatÆrios no Cen®rio C2



A Tabelas 14 apresenta os resultados dos Phdices de Efici, ncia associado aos reservatÆrios Cen®io C2, respectivamente.

| RESERVATΦRIO | IAP | IUD | IUP | 億號 | 億 | 信俱 | 信偶 | 信僱 |
|----------------|------|------|------|------|------|------|------|------|
| PO¤ ů ES | 0,60 | 0,92 | 0,55 | 0,02 | 0,12 | 0,03 | 0,31 | 0,55 |
| $CAMALA\Omega$ | 0,61 | 0,92 | 0,56 | 0,03 | 0,14 | 0,02 | 0,27 | 0,56 |
| BOQUEIRŰO | 0,69 | 0,92 | 0,63 | 0,00 | 0,37 | 0,06 | 0,00 | 0,63 |
| ACAUű | 0,92 | 0,94 | 0,87 | 0,00 | 0,13 | 0,06 | 0,00 | 0,87 |

Tabela 14 - Phdices de Efici, ncia associados aos reservatÆrios no Cen®io C2

Os valores de °ndices de efici, ncia neste cen®io est² o prÆximos aos do Cen®io C1, diferindo um pouco com rela´² o a potencialidade de aumento de demanda, pois para o Cen®io C2, parte da vaz² o do PISF ¶ desviada para a ETA, sendo assim, a vaz² o no trecho do rio diminui. O reservatÆrio de A cau² ¶ o que tem o menor potencial para aumento das demandas, pois conforme foi visto anteriormente, o canal A cau² - A ra´agi com capacidade de 10mE/s, sobrecarrega o reservatÆrio, pois requer grande demanda. Percebe-se que para todos os reservatÆrios, h®valores de aloca´² o dos seus volumes acima de 90%. O maior IUP apresentado ¶ tamb¶m no a´ude A cau², pois suas demandas est² o muito prÆximas ao limite de potencialidade do reservatÆrio.

A Figura 31 apresenta as perdas hºdricas no Cen®io C2, tanto por evapora ´²o quanto em rio ao longo do perºodo analisado.

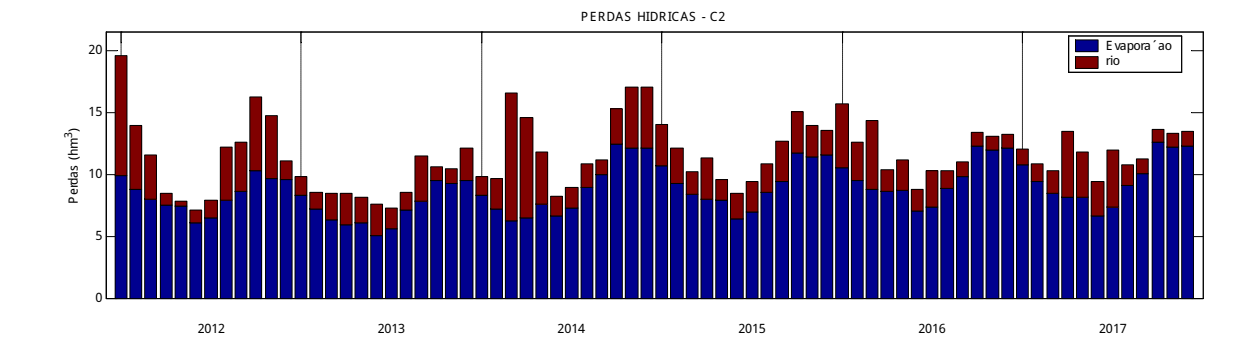


Figura 31 - Perdas hºdricas (hmb) por evapora 20 e em leito de rio no Cen®io C2

Observa-se uma varia´²o dos valores das perdas hºdricas nesse cen®io para o perºodo analisado (valores entre 7 a 20 hm.). Observa-se que a maior parte das perdas hºdricas ¶ devido — evapora´²o de ®gua nos reservatÆios (do mesmo modo que no

Cen®io C1), por¶m, nos meses de mar´o e abril de 2014 as perdas hºdricas ao longo do trecho do rio superaram as perdas por evapora´²o.

A tabela 15 apresenta volume anual das perdas hºdricas por evapora´²o e leito do rio para o Cen®io C2. Tem-se uma diminui´²o, em m¶dia, de cerca 13% do volume de ®gua perdido em compara´²o com o Cen®io C1 (cerca de 21 milhÞes de mE de ®gua por ano, quase a capacidade do reservatÆrio Po´Þes), de modo que a implementa´²o da adutora at¶a ETA Gravat®resultar®em uma economia de ®gua para o sistema.

Tabela 15 ⁻ V olume anual das perdas hºdricas por evapora ´²o e leito do rio para o Cen®io C2

| ANO | EVAPORA¤ ű O (HMB) | PERDA NO RIO (HMB) | TOTAL |
|-------|--------------------|--------------------|-------|
| 2012 | 100,4 | 43,0 | 143,4 |
| 2013 | 87,7 | 23,9 | 111,6 |
| 2014 | 105,3 | 45,8 | 151,2 |
| 2015 | 110,4 | 30,9 | 141,3 |
| 2016 | 115,8 | 28,6 | 144,4 |
| 2017 | 115,2 | 27,2 | 142,4 |
| M§DIA | 105,8 | 33,2 | 139,0 |

Tem-se que o ano de 2014 foi o que apresentou maior perda de ®gua no sistema, com a maior perda hºdrica no trecho do rio. Por¶m houve maior perda por evapora ´² o nos anos de 2016 e 2017 por causa dos volumes de ®gua dos reservatÆrios.

Considerando a Resolu´²o nł 67, de 11 de Setembro de 2018, que preconiza o pre´o da ®gua do PISF com o valor de R\$ 0,81/mE, temos que o custo financeiro das perdas hºdricas no Cen®io C2 ser®de cerca 113 milhÞes de reais por ano (cerca que 13% menor que o custo do Cen®io C1).

4.2.3 Cen®rio C3

O Cen®io C3 apresenta a mesma situa´²o do Cen®io C1, diferindo apenas em rela´²o ¯s ®eas agr°colas, cuja demanda hºdrica foi estimada por Oliveira (2013) por meio de um modelo de otimiza´²o multiobjetivo maximizando o uso das ®eas agr°colas e da ®gua.

A Figura 32 apresenta o atendimento das demandas estabelecidas para o abastecimento urbano (11 prioridade de atendimento) atrav¶s das adutoras consideradas no sistema. Observa-se que as demandas de abastecimento urbano foram atendidas sem apresentar falhas ao longo dos 6 anos de opera ´² o.

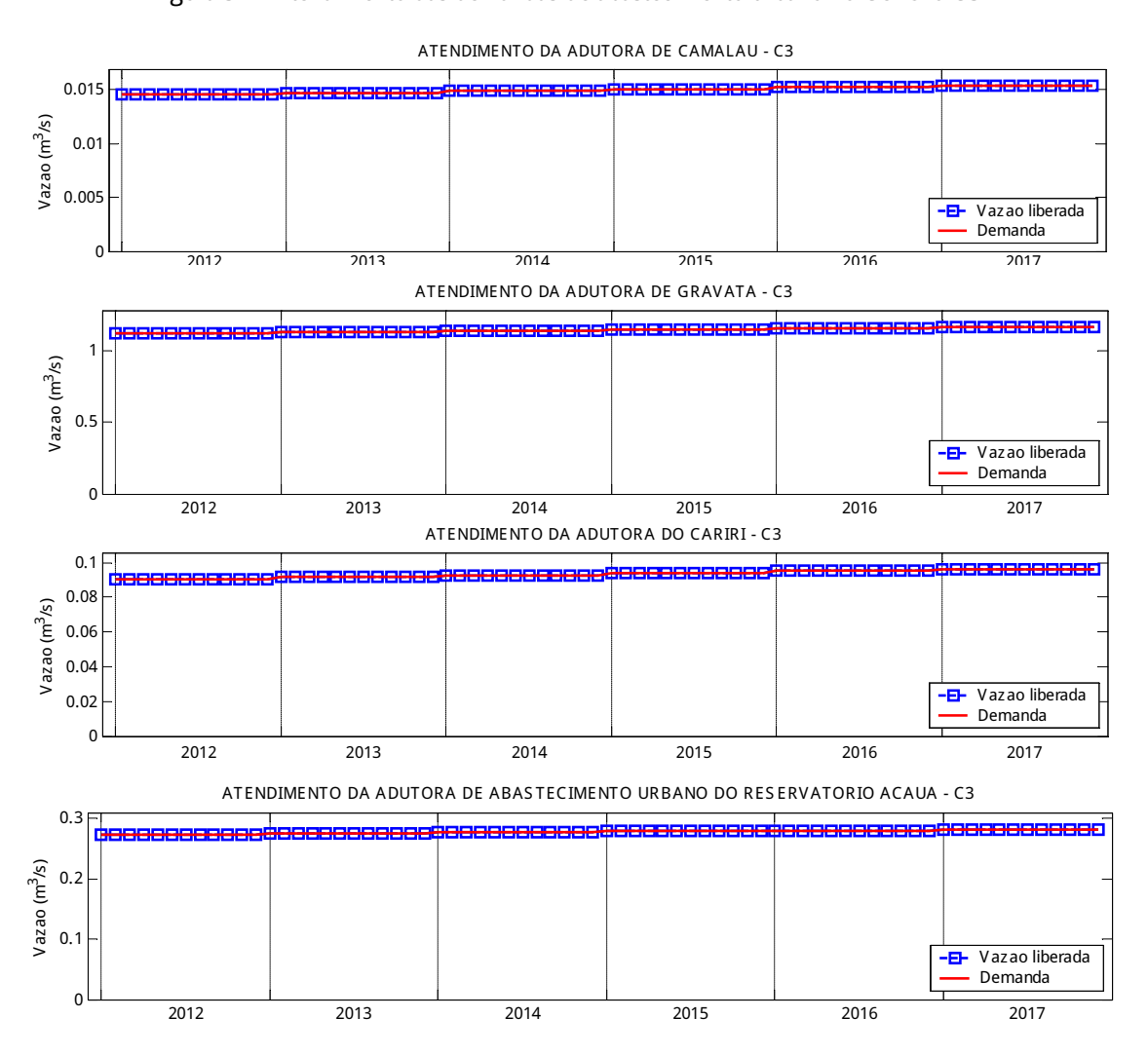


Figura 32 - Atendimento das demandas de abastecimento urbano no Cen®io C3

A segunda prioridade estabelecida para o sistema foi o da demanda hºdrica para irriga´²o das ®eas agr°colas, que nesse cen®io, considera as ®eas irrigadas de Oliveira (2011). A Figura 33 mostra que as demandas estabelecidas para as ®eas agr°colas neste cen®io foram atendidas sem apresentar falhas no per°odo analisado.

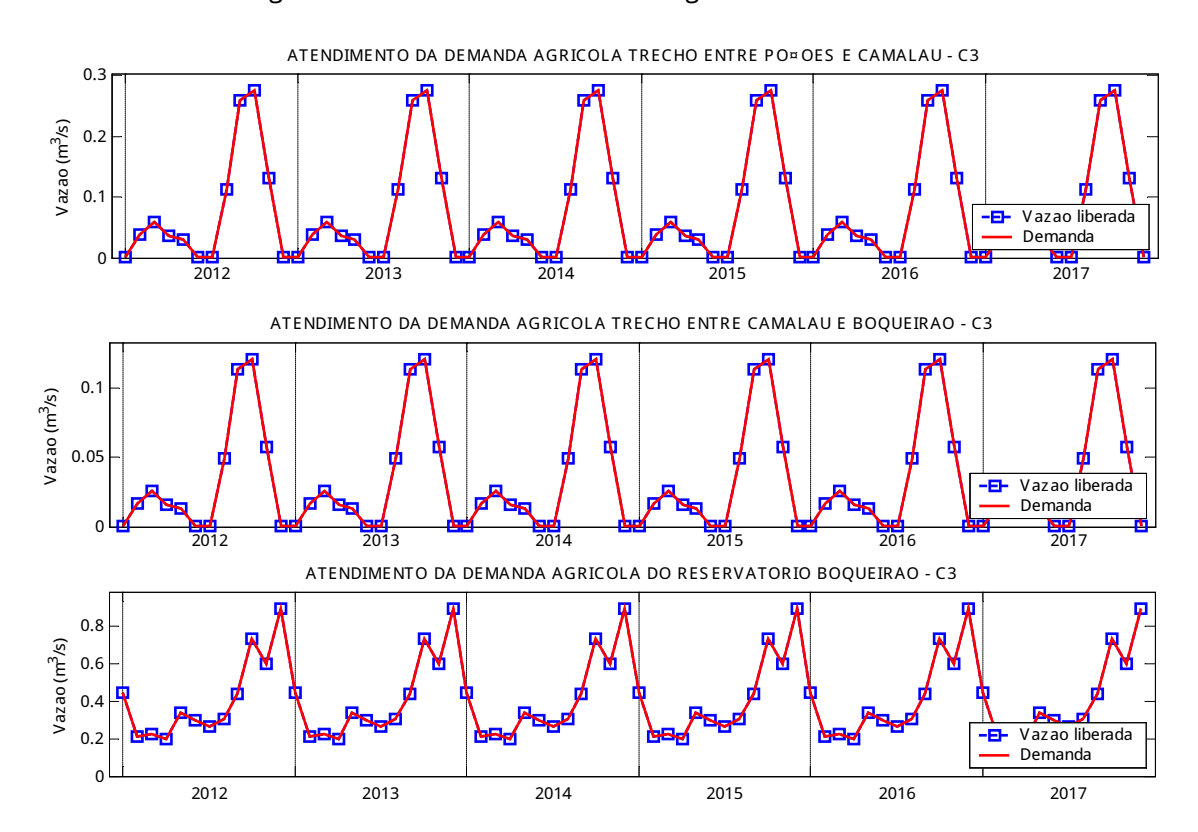


Figura 33 - A tendimento das demandas agrºcolas do Cen®io C3

O atendimento da demanda estabelecida para o canal A cau²-A ra´agi (Figura 34) apresenta comportamento similar ao apresentando no Cen®io C1, por¶m com vulnerabilidade um pouco maior (Tabela 16).

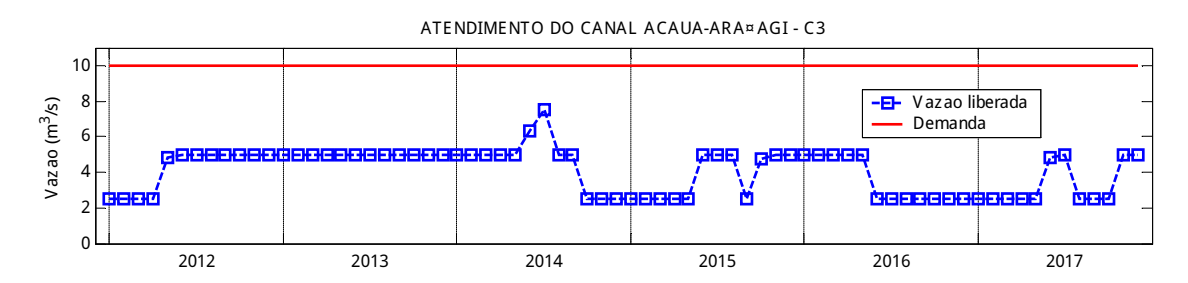


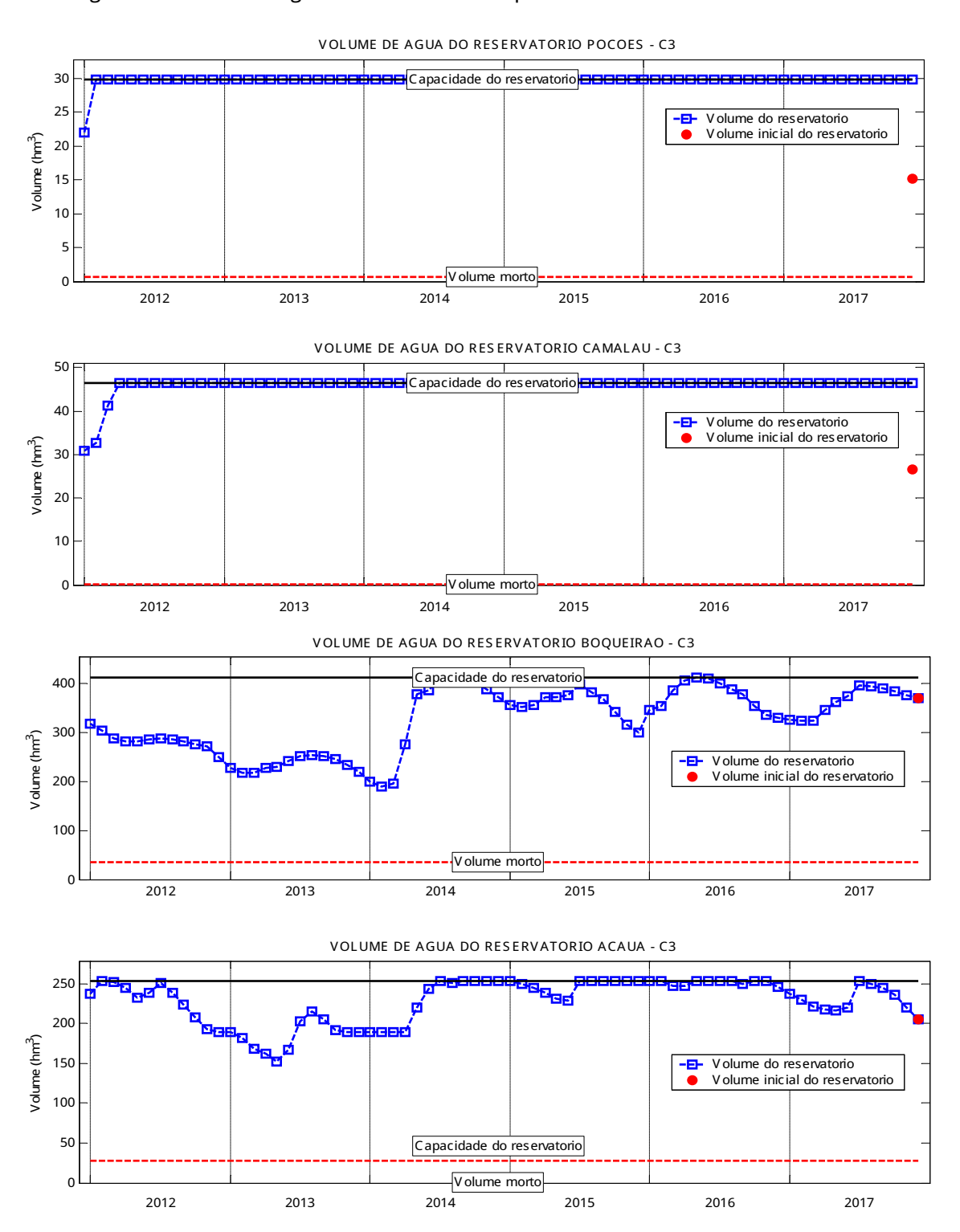
Figura 34 - Atendimento para o canal Acau² - Ara´agi no Cen®io C3

Tabela 16 ⁻ Indicadores de Hashimoto para o a demanda do Canal A cau²-A ra´agi no Cen®io C3

| Confiabilidade | R esili¸ ncia | V ulnerabilidade | Sustentabilidade | |
|----------------|---------------|------------------|------------------|---|
| | | | | |
| 0 | 0 | 0,59 | 0,75 | 0 |

A Figura 35 mostra os volumes de ®gua dos reservatÆrios Po´Þes, Camal®u, Boqueir²o e A cau².

Figura 35 - Volumes de @gua dos reservat/Frios receptores da vaz² o do PISF no Cen@rio C3



Da mesma forma que nos Cen®ios C1 e C2, o volume de ®gua dos reservatÆrios Po´Pes e Camalaß permanecem praticamente todo o perºodo de tempo em seus volumes m®ximos. No reservatÆrio Boqueir² o os volumes de ®gua situaram entre os valores apresentados nos Cen®ios C1 e C2, ou seja, houve uma diminui ´² o do volume de ®gua armazenado por causa do aumento da demanda hºdrica nas ®eas agrºcolas (compara ´² o com o Cen®io C1) como um aumento do volume de ®gua armazenado por causa da maior vaz² o do PISF no leito do rio. O reservatÆrio atinge o seu volume m®ximo em 2014 e 2016. Com rela ´² o ao reservatÆrio A cau² tem-se que o volume de ®gua apresenta comportamento similar aos cen®ios anteriores.

A Tabela 17 apresenta os valores dos volumes evaporados m¶dios mensal dos reservatÆrios no Cen®io C3. Os valores apresentam similaridades aos Cen®ios C1 e C2, entretanto h® uma diminui ´²o nos valores do reservatÆrio Boqueir²o (quando comparado com os valores do Cen®io C1). Assim tem-se que o aumento da demanda hºdrica do sistema diminui as perdas por evapora ´²o nos reservatÆrios.

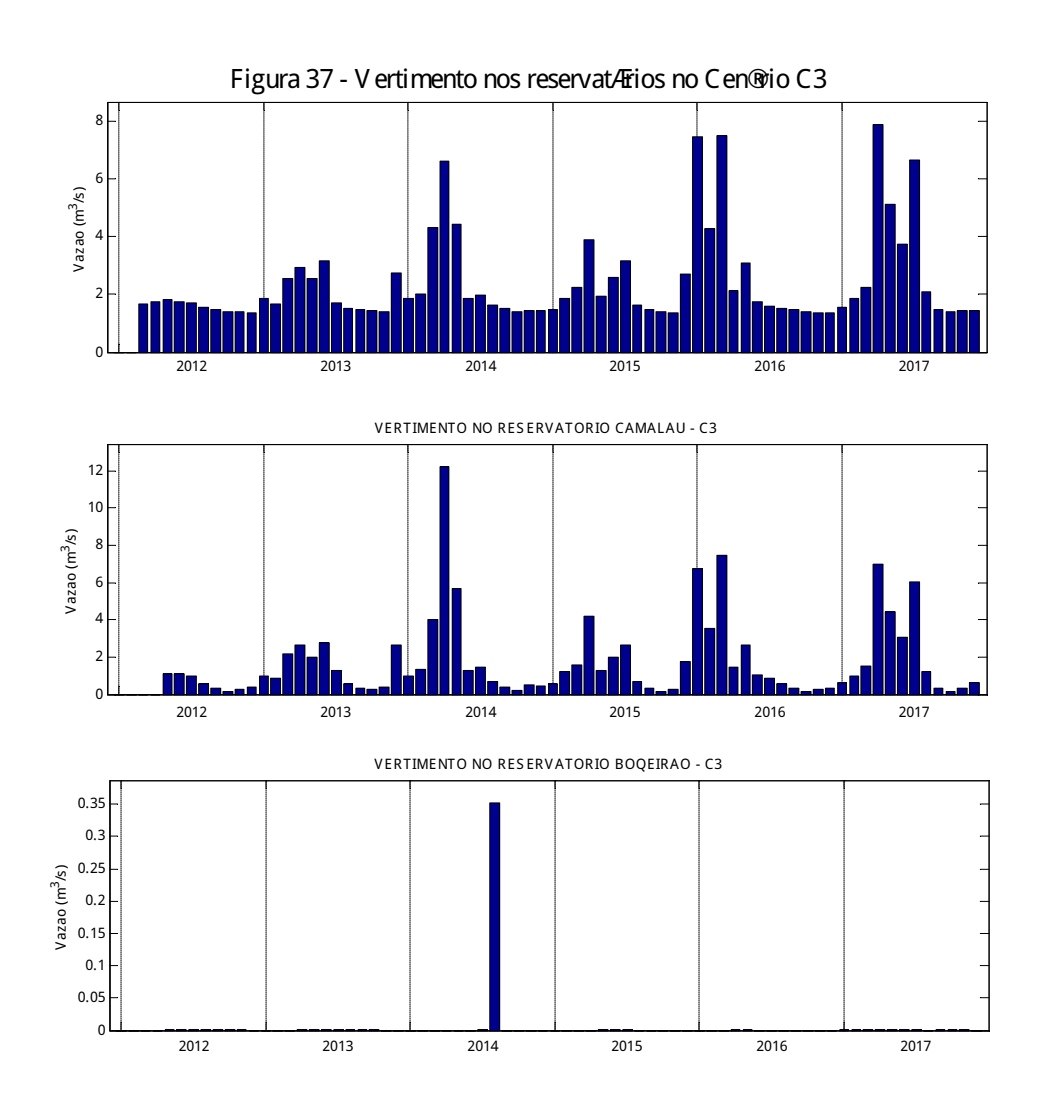
Evapora '2 o m¶dia mensal (hmE/m, s) R eservatÆrio J an Fev Mar Abr Mai J un J ul Ago Set Out Nov Dez Po´Þes 1,34 1,08 0,94 0,83 0,9 1,41 0,8 1,05 1,31 1,61 1,65 1,69 Camalaß 1,36 1,1 0,93 0,81 0,84 0,92 1,07 1,33 1,43 1,64 1,68 1,72 Boqueir² o 5,7 4,88 5,02 3,79 3,96 4,66 5,27 6,24 5,07 4,83 6,84 6,43 A cau² 1,84 1,71 1,35 1,24 1,49 0,95 1,04 1,45 1,6 2,001 1,96 2,12

Tabela 17 - Evapora ´²o m¶dia mensal dos reservatÆrios no Cen®io C3

Da mesma forma dos Cen®ios C1 e C2, n²o houve vaz²o defluente do reservatÆrio A cau² (Figura 36). Com rela´²o aos vertimentos (Figura 37), ocorreram nos reservatÆrios de Po´Þes, Camalaß e Boqueir²o (apenas em 2014).



Figura 36 - V az² o defluente do reservatÆrio A cau² no Cen®rio C3



A Tabela 18 apresenta os resultados dos Phdices de Efici, ncia associado aos reservat/Frios no Cen®io C3.

Tabela 18 - Phdices de Efici, ncia associados aos reservatÆrios no Cen®io C3

| RESERVATΦRIO | IAP | IUD | IUP | 德雅 | 信偃 | 信俱 | 偏 | 信 _作 |
|----------------|------|------|------|------|------|------|------|----------------|
| PO¤ ů ES | 0,47 | 0,92 | 0,43 | 0,02 | 0,09 | 0,02 | 0,46 | 0,43 |
| $CAMALA\Omega$ | 0,54 | 0,93 | 0,50 | 0,02 | 0,11 | 0,02 | 0,37 | 0,50 |
| BOQUEIRŰO | 0,71 | 0,93 | 0,66 | 0,00 | 0,34 | 0,05 | 0,00 | 0,66 |
| ACAUű | 0,93 | 0,94 | 0,88 | 0,00 | 0,12 | 0,05 | 0,00 | 0,88 |

Os valores de °ndices de efici, ncia neste cen®io est² o prÆximos aos valores do Cen®io C1. O Cen®io C3 requer maior demanda para irriga′²o, diminuindo o seu potencial para aumento de demandas com rela′²o aos cen®ios anteriores. O reservatÆrio de A cau² ¶ o que tem o menor potencial para aumento das demandas como nos cen®ios anteriores, devido ¯ sobrecarga no reservatÆrio.

A Figura 38 apresenta as perdas hºdricas no Cen®io C2, tanto por evapora´²o quanto em rio ao longo do perºodo analisado.

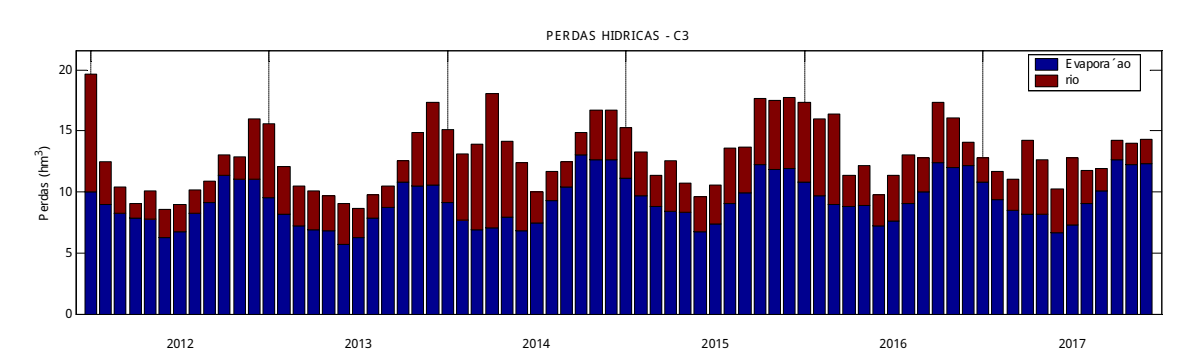


Figura 38 - Perdas hºdricas (hml) por evapora 2 o e em leito de rio no Cen®io C3

Observa-se uma varia´²o dos valores das perdas hºdricas nesse cen®io para o perºodo analisado (valores entre 7 a 20 hm.). Observa-se que a maior parte das perdas hºdricas ¶ devido ¯ evapora´²o de ®gua nos reservatÆrios (do mesmo modo que no Cen®io C1), por¶m, nos meses de mar´o e abril de 2014 as perdas hºdricas ao longo do trecho do rio superaram as perdas por evapora´²o (como no Cen®io C2).

A Tabela 19 apresenta volume anual das perdas hºdricas por evapora ´² o e leito do rio para o Cen®io C3. Tem-se uma diminui ´² o, em m¶dia, de cerca 2% do volume de ®gua perdido em compara ´² o com o Cen®io C1 (cerca de 4 milhÞes de mEde ®gua por ano), de modo que o aumento da demanda hºdrica do sistema resultar®em uma economia de ®gua para o sistema.

| Tabela 19 | 7 V olume anual | das perdas | s h⁰dricas po | or evapora´ | ´²o e lei | to do rio | para o (| Cen®io C3 | , |
|-----------|-----------------|------------|---------------|-------------|-----------|-----------|----------|-----------|---|
| | | | | | | | | | |

| ANO | EVAPORA¤ Ű O (HM B) | PERDA NO RIO (HMB) | TOTAL |
|-------|---------------------|--------------------|-------|
| 2012 | 106,7 | 35,5 | 142,3 |
| 2013 | 99,1 | 41,6 | 140,7 |
| 2014 | 111,2 | 58,0 | 169,2 |
| 2015 | 115,5 | 48,3 | 163,8 |
| 2016 | 117,6 | 50,2 | 167,8 |
| 2017 | 115,4 | 36,4 | 151,7 |
| M§DIA | 110,9 | 45,0 | 155,9 |

Tem-se que o ano de 2014 foi o que apresentou maior perda de ®gua no sistema, com a maior perda hºdrica no trecho do rio. Por¶m houve maior perda por evapora ´²o no ano de 2016 por causa dos volumes de ®gua dos reservatÆrios.

Considerando a Resolu´²o nł 67, de 11 de Setembro de 2018, que preconiza o pre´o da ®gua do PISF com o valor de R\$ 0,81/mE, temos que o custo financeiro das perdas hºdricas no Cen®io C3 ser®de cerca 126 milhÞes de reais por ano (cerca que 2% menor que o custo do Cen®io C1).

4.2.4 Cen®rio C4

O Cen®io C4 apresenta o mesmo layout do Cen®io C2, diferindo apenas com rela´²o ¯s ®eas agr°colas, cuja demanda h°drica foi estimada por Oliveira (2013).

A Figura 39 apresenta o atendimento das demandas estabelecidas para o abastecimento urbano (11 prioridade de atendimento) atrav¶s das adutoras consideradas no sistema. Observa-se que as demandas de abastecimento urbano foram atendidas sem apresentar falhas ao longo dos 6 anos de opera ´² o.

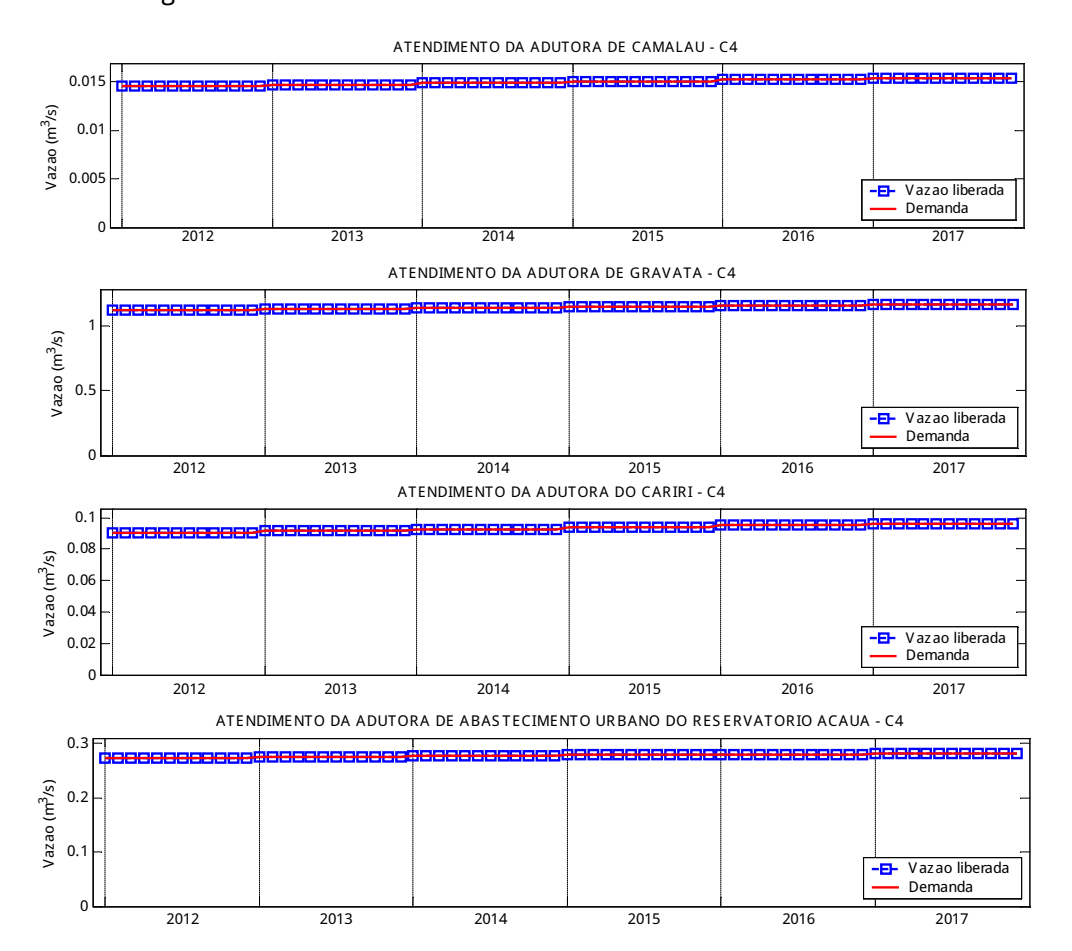


Figura 39 - A tendimento das demandas de abastecimento urbano no Cen®io C4

A segunda prioridade estabelecida para o sistema foi o da demanda hºdrica para irriga´²o das ®eas agr°colas, que nesse cen®io, considera as ®eas irrigadas de Oliveira (2011). A Figura 40 mostra que as demandas estabelecidas para as ®eas agr°colas neste cen®io foram atendidas sem apresentar falhas no per°odo analisado.

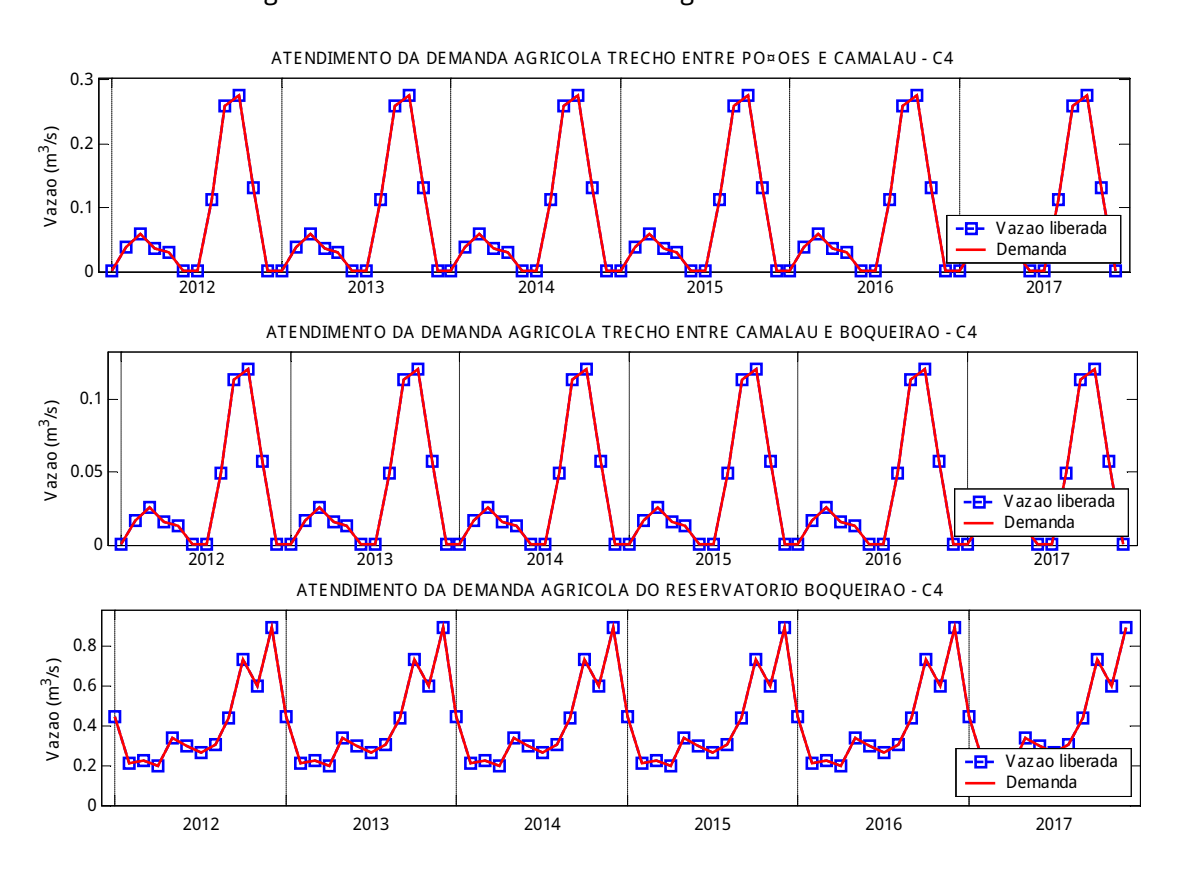


Figura 40 - A tendimento das demandas agrocolas do Cen®io C4

O atendimento da demanda estabelecida para o canal A cau²-A ra´agi (Figura 41) apresenta comportamento similar ao apresentando no cen®io C2, por¶m com vulnerabilidade um pouco maior (Tabela 20).

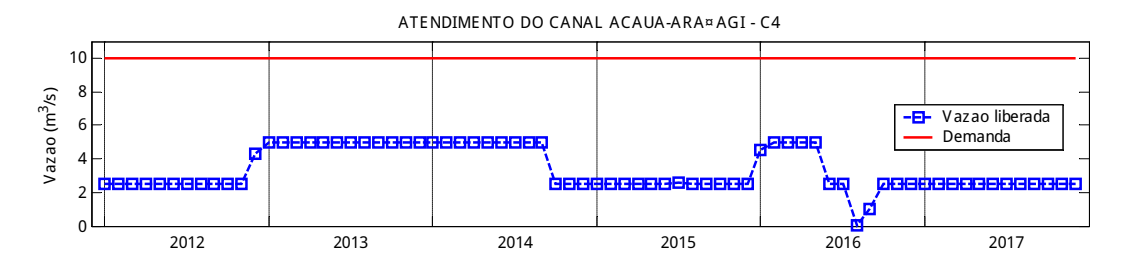


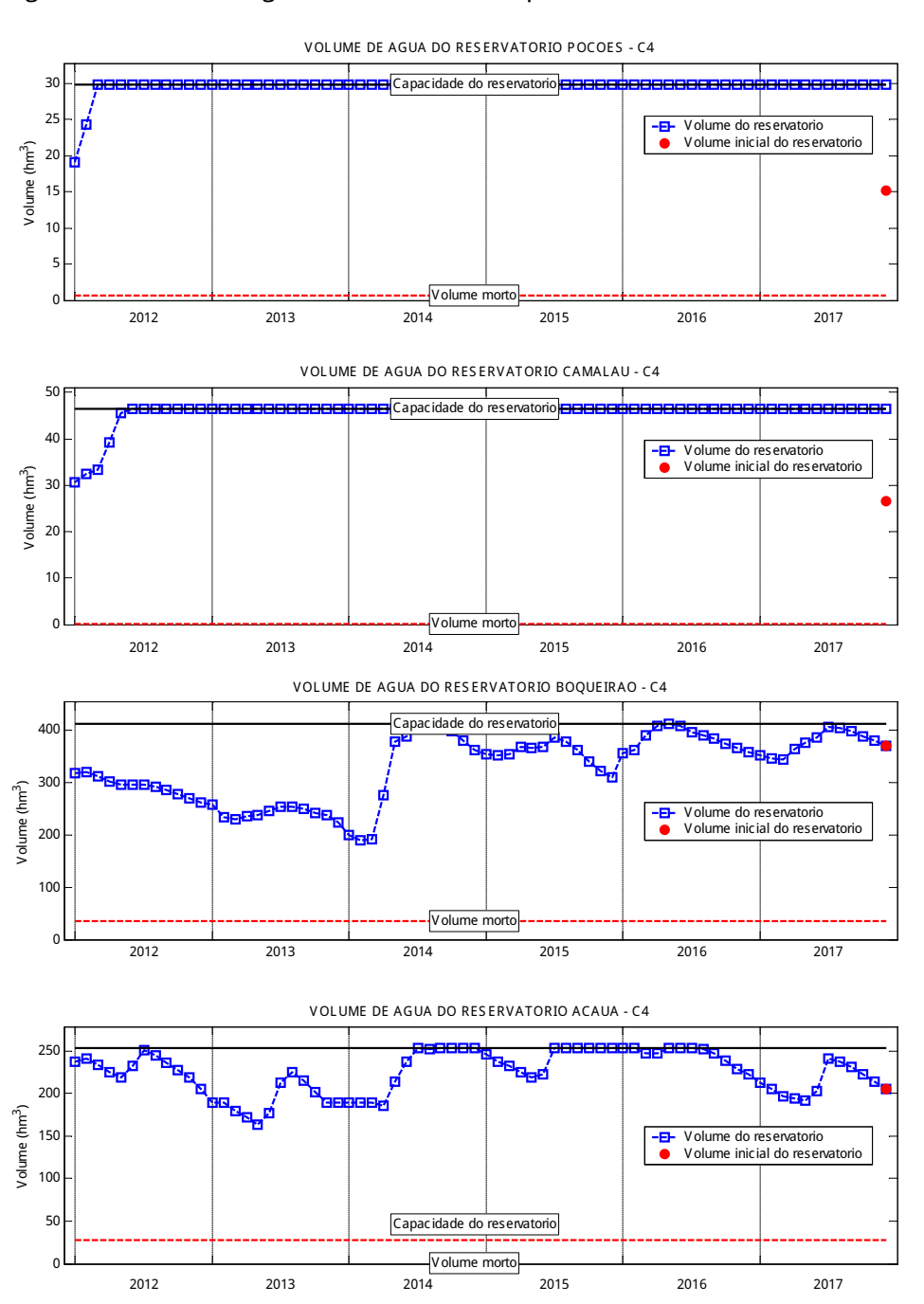
Figura 41 - Atendimento para o canal Acau²-Ara´agi no Cen®io C4

Tabela 20 ⁻ Indicadores de Hashimoto para o a demanda do Canal A cau²-Ara´agi no Cen®io C4

| Confiabilidade | R esili¸ ncia | V ulnerabilidade | V ulnerabilidade | Sustentabilidade |
|----------------|---------------|------------------|------------------|------------------|
| | | | m®xima | |
| 0 | 0 | 0,66 | 1,00 | 0 |

A Figura 42 mostra os volumes de ®gua dos reservatÆrios Po´Þes, Camalaß, Boqueir²o e A cau².

Figura 42 - Volumes de @gua dos reservat/Frios receptores da vaz² o do PISF no Cen@rio C4



Da mesma forma que nos cen®ios anteriores, o volume de ®gua dos reservatÆrios Po´Þes e Camalaß permanecem praticamente todo o perºodo de tempo em seus volumes m®cimos. Os volumes de ®gua dos reservatÆrios Boqueir² o e A cau² apresentam comportamento similar ao do Cen®io C3.

A Tabela 21 apresenta os valores dos volumes evaporados m¶dios mensal dos reservatÆrios no Cen®rio C4. Os valores apresentam similaridades aos cen®rios anteriores, sendo os valores prÆximos aos observados no Cen®rio C3.

Evapora '2 o m¶dia mensal (hmE/m, s) R eservatÆrio Mar Abr Mai Jun J ul Ago Set Out J an Fev Nov Dez 0,93 Po'Þes 1,33 1,06 0,8 0,83 0,9 1,05 1,31 1,41 1,61 1,65 1,69 Camalaß 1,36 1,08 0,92 0,79 0,83 0,92 1,07 1,33 1,43 1,64 1,68 1,72 Boqueir² o 5,78 5,16 4,96 5,09 4,88 3,82 3,97 4,67 5,28 6,85 6,46 6,3 A cau² 1,82 1,68 1,32 1,21 1,46 0,93 1,04 1,45 1,61 2,005 1,96 2,11

Tabela 21 - Evapora '20 m¶dia mensal dos reservatÆrios no Cen®io C4

Da mesma forma que nos cen®ios anteriores, n² o houve vaz² o defluente do reservatÆrio A cau² (Figura 43). Com rela´² o aos vertimentos (Figura 44), ocorreram nos reservatÆrios de Po´Pes e Camalaß.



Figura 43 - V az² o defluente do reservatÆrio A cau² no Cen®rio C4

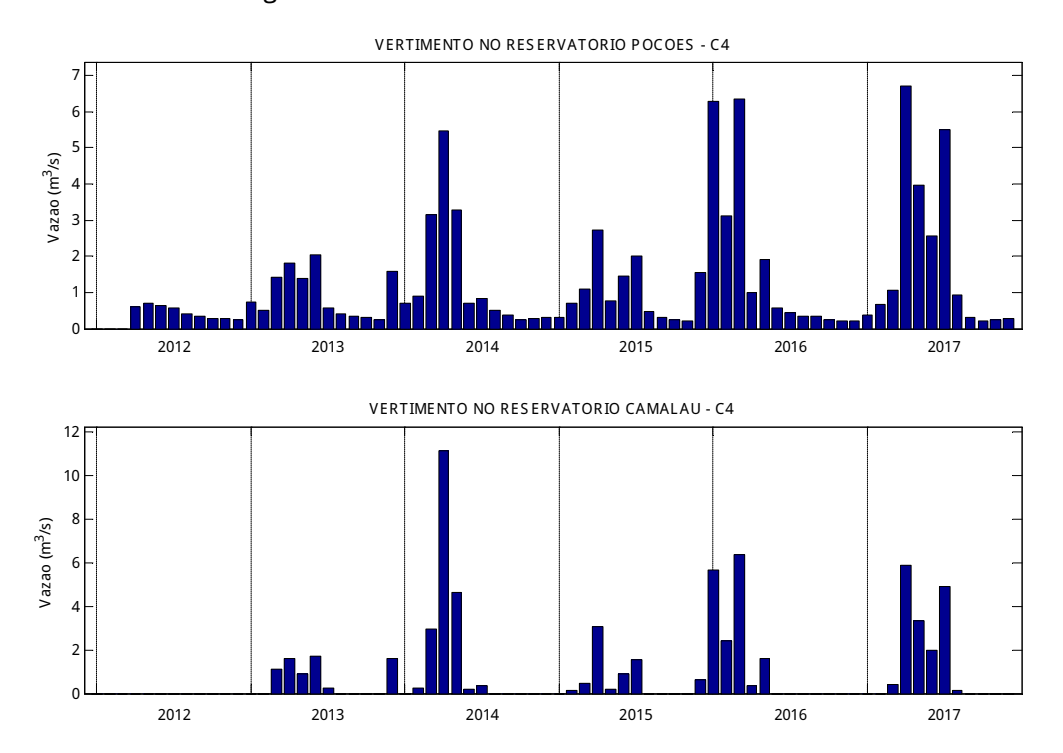


Figura 44 - V ertimento nos reservatÆrios no Cen®io C4

A Tabela 22 apresenta os resultados dos Phdices de Efici, ncia associado aos reservat/Frios no Cen®io C4.

RESERVATORIO IAP IUD IUP 億號 信_便 信 偏 偏 PO¤ŭES 0,60 0,92 0,55 0,02 0,12 0,03 0,31 0,55 $\mathsf{CAMALA}\Omega$ 0,61 0,91 0,56 0,03 0,14 0,02 0,27 0,56 BOQUEIRŰO 0,66 0,91 0,60 0,00 0,40 0,06 0,00 0,60 ACAUű 0,92 0,93 0,86 0,00 0,14 0,06 0,00 0,86

Tabela 22 - Phdices de Efici, ncia associados aos reservatÆrios no Cen®io C4

Os valores de °ndices de efici, ncia neste cen®io s² o maiores do que o Cen®io C3, devido a diferen´a na vaz² o da transposi´² o, visto que o Cen®io C4 apresenta parte da vaz² o do PISF cedida para a ETA, diminuindo assim o potencial para aumento de demandas nos reservatÆrios Po´Pes e Camalaß. Para o reservatÆrio Boqueir² o, houve diferen´a no potencial de ativa´² o com rela´² o ao Cen®io C3, devido a diminui´² o das perdas h°dricas no reservatÆrio por causa da ETA. O reservatÆrio de A cau² ¶ o que tem o menor potencial para aumento das demandas como nos cen®ios anteriores, devido ¯ sobrecarga no reservatÆrio.

A Figura 45 apresenta as perdas hºdricas no Cen®io C4, tanto por evapora´²o quanto em rio ao longo do per°odo analisado.

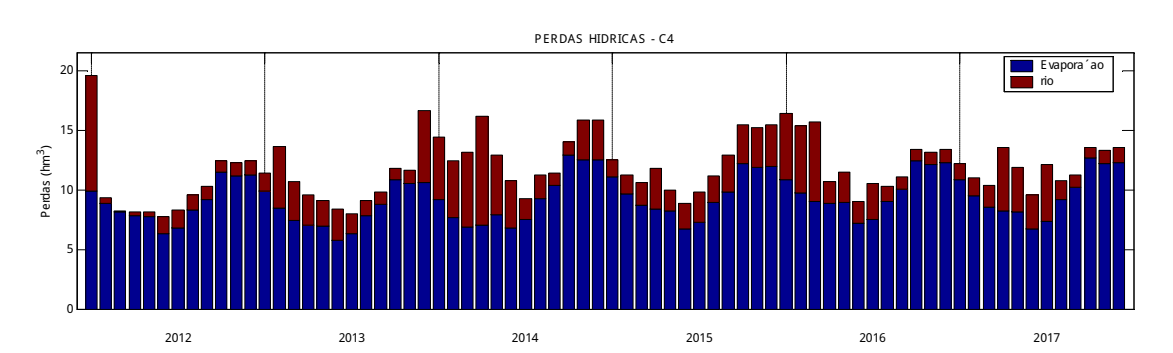


Figura 45 - Perdas hºdricas (hmĐ) por evapora 20 e em leito de rio no Cen®io C4

Observa-se uma varia´²o dos valores das perdas hºdricas nesse cen®io para o perºodo analisado (valores entre 8 a 20 hm.). Observa-se que a maior parte das perdas hºdricas ¶ devido ¯ evapora´²o de ®gua nos reservatÆrios (do mesmo modo que nos cen®ios anteriores).

A Tabela 23 apresenta volume anual das perdas hºdricas por evapora´²o e leito do rio para o Cen®io C4. Tem-se uma diminui´²o, em m¶dia, de cerca 11% do volume de ®gua perdido em compara´²o com o Cen®io C1 (cerca de 18 milhÞes de mE de ®gua por ano) e de 9% em rela´²o ao Cen®io C3 (cerca de 14 milhÞes de mE de ®gua por ano) o que comprova que a implementa´²o da adutora diminuir® substancialmente as perdas hºdricas do sistema.

| Tahola 22 - \/ olumo anua | al dae nordae h ^o dricae nor ovan | ora´²o e leito do rio para o Cen®io C4 |
|-------------------------------|----------------------------------------------|----------------------------------------|
| i abela 23 - V ululi le aliua | II UAS DELUAS II UITLAS DOL EVAD | 01a -0 e 1e10 00 110 bara 0 Ce11910 C4 |

| ANO | EVAPORA¤ ǘ O (HM B) | PERDA NO RIO (HMB) | TOTAL |
|-------|---------------------|--------------------|-------|
| 2012 | 107,1 | 19,4 | 126,5 |
| 2013 | 100,5 | 29,4 | 129,9 |
| 2014 | 110,6 | 47,0 | 157,7 |
| 2015 | 114,9 | 30,2 | 145,1 |
| 2016 | 118,2 | 32,5 | 150,7 |
| 2017 | 116,0 | 27,3 | 143,3 |
| M§DIA | 111,2 | 31,0 | 142,2 |

Tem-se que o ano de 2014 foi o que apresentou maior perda de ®gua no sistema, com a maior perda hºdrica no trecho do rio. Por¶m houve maior perda por evapora ´² o no ano de 2016 por causa dos volumes de ®gua dos reservatÆrios.

Considerando a Resolu´²o nł 67, de 11 de Setembro de 2018, que preconiza o pre´o da ®gua do PISF com o valor de R\$ 0,81/mE, temos que o custo financeiro das perdas hºdricas no Cen®io C4 ser®de cerca 115 milhÞes de reais por ano (cerca que 11% menor que o custo do Cen®io C1).

4.3 RESUMO DAS PERDAS E DOS CUSTOS DOS CENERIOS

A Figura 46 apresenta a perda hºdrica m¶dia anual de cada cen®io para o perºodo analisado.

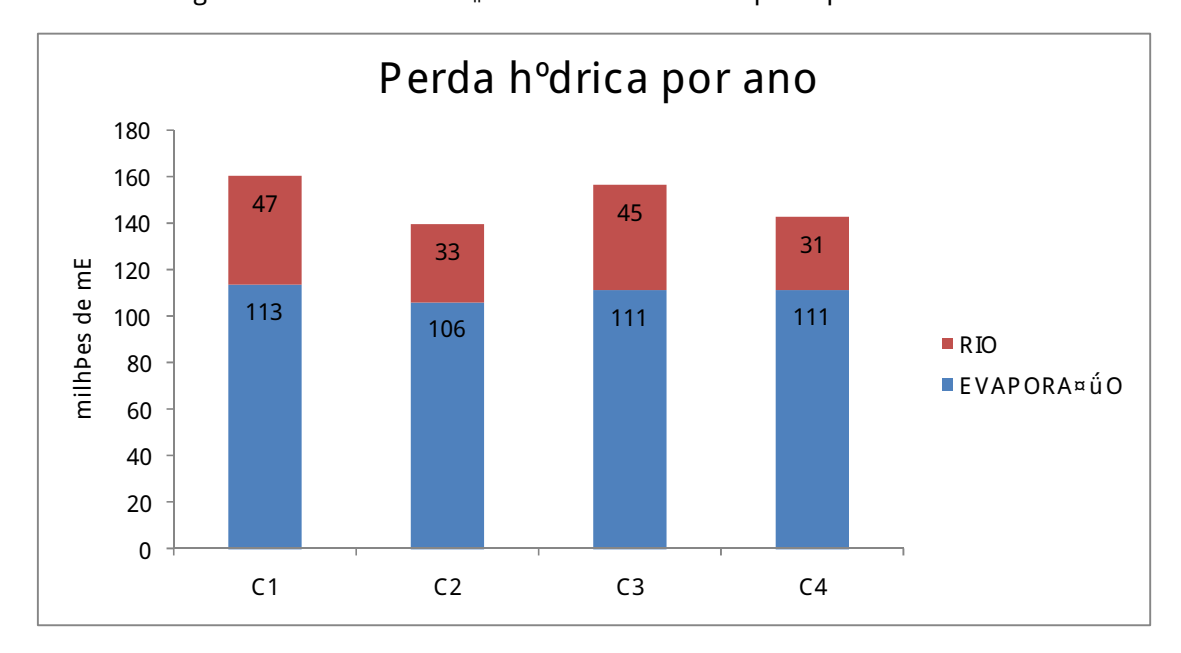


Figura 46 - Perda hºdrica m¶dia anual de cada cen®io para o perºodo analisado

V erifica-se que as perdas hºdricas s²o menores nos cen®ios que propÞem a adutora para transportar parte da vaz²o do PISF diretamente para a ETA Gravat® (Cen®ios C2 e C4) em compara ´²o aos cen®ios que representam a atual forma de transpor as ®guas do PISF (Cen®ios C1 e C3). Isso se deve ao fato de parte da vaz²o transportada via adutora n²o sofrer perdas hºdricas, principalmente ao longo do rio.

Tem-se, tamb¶m, que o aumento do uso da ®gua nas ®eas agr°colas (Cen®io C3) diminuiu as perdas hºdricas (quando comparada com o Cen®io C1) devido principalmente a diminui ´² o do volume evaporado dos reservatÆrios (principalmente do reservatÆrio Boqueir² o). Fato n² o ocorrido quando comparado entre os cen®ios C2

e C4, pois, no cen®io C4, o reservatÆrio Boqueir² o teve que armazenar mais ®gua (devido ¯ diminui′² o da vaz² o no leito do rio e o aumento da demanda hºdrica do sistema) para garantir o atendimento da sustentabilidade hºdrica, o que aumentou a ®ea do espelho d´®gua aumentando consequentemente o volume evaporado. Fato comprovado pela diminui′² o da vaz² o liberada por descarga de fundo pelo reservatÆrio nesse cen®io. Por¶m, tem-se que as perdas hºdricas no leito do rio foram as menores dos cen®ios analisados

A Tabela 24 realiza um comparativo entre os cen®ios, avaliando a economia de ®gua e o custo financeiro considerando a Resolu´²o nl 67, de 11 de Setembro de 2018, que preconiza o pre´o da ®gua do PISF com o valor de R\$ 0,81/mE

COMPARA¤ŰO ENTRE ECONOMIA DE EGUA ECONOMIA FINANCEIRA CENERIOS ANUAL (HMB) ANUAL (R\$) CENERIOS C1 E C2 20,76 16.811.961,70 CENERIOS C1 E C3 3,86 3.128.924,70 CENERIOS C1 E C4 17,57 14.232.113,40 CENERIOS C3 E C4 13,7 11.103.188,70

Tabela 24 ⁻ Economia de ®gua e financeira anuais

Tem-se que a economia de ®gua no sistema pode-se chegar a mais de 20 milhbes de mE por ano, o que equivale ao volume acumulado de muitos reservatÆrios da regi²o (comparativo entre Cen®io C1 e C2), resultando em uma economia financeira de quase 17 milhbes reais por ano.

Observa-se que a implementa ´² o da adutora at¶ a ETA Gravat®(Cen®ios 2 e 4) sempre resultar² o em uma economia financeira, em m¶dia, maior que 10 milhÞes de reais.

5 CONCLUS \ddot{u} ES E RECOMENDA \ddot{u} \ddot{u} ES

O modelo de otimiza´²o multiobjetivo utilizado nessa pesquisa apresentou capacidade de gerar solu´Þes otimizadas para todas as an®ises multiobjetivo propostas, atendendo todas as restri´Þes do sistema impostas ao modelo. Tamb¶m teve a habilidade de prover informa´Þes para analisar o desempenho de v®ios tipos de usos de ®gua, com suas respectivas demandas, integrando e analisando, simultaneamente, os diversos componentes do sistema de recursos hºdricos.

Diante disto, conclui-se que o sistema estudado n² o apresentou falhas no atendimento as demandas de abastecimento e de irriga´² o nos quatro cen®ios propostos em todo perºodo analisado, sendo essas demandas respectivamente de primeira e segunda prioridades de atendimento.

Para a terceira prioridade de atendimento - canal de integra´² o A cau²-A ra´agi - em nenhum cen®io houve atendimento ¯s demandas sem apresentar falhas, devido a sua elevada e requerida vaz² o, fazendo com que todo o sistema fique sobrecarregado para que haja alguma libera´² o para seu abastecimento, o qual n² o foi atendido em sua totalidade. Sendo assim, pode-se afirmar que n² o h® sustentabilidade para o canal, visto que a magnitude de suas falhas ¶ da ordem de 60% em m¶dia.

Com rela´²o ¯ an®ise dos valores gastos com as perdas hºdricas nos quatro cen®ios, ¶possºvel verificar que para os cen®ios com implementa´²o da adutora at¶a ETA de Gravat® o valor gasto ¶inferior se comparado aos cen®ios sem adutora, devido as menores perdas hºdricas ocorridas no sistema, principalmente em leito de rio.

Fazendo uso da Resolu´²o nł 87 que limita as @eas irrigadas no percurso estudado, comparando os Cen®ios C1 e C2, com e sem adutora, tem-se uma estimativa de economia anual de R\$ 16.811.961,70 para o cen®io com adutora. Comparando os Cen®ios C3 e C4, considerando as @eas irrigadas sem restri´bes, a estimativa da economia anual ¶ de R\$ 11.103.188,70 para o cen®io com adutora. § possºvel aferir que para os Cen®ios C1 e C3, sem adutoras, mas com e sem limita´²o de @eas irrigadas respectivamente, a limita´²o estabelecida na Resolu´²o nł 87, n²o economiza as @guas do PISF e sim aumenta as perdas hºdricas por evapora´²o, resultando num gasto anual estimado em R\$ 3.128.924,70. Ou seja, o objetivo de diminuir a demanda das @guas do PISF para irriga´²o e consequentemente diminuir o gasto hºdrico para o sistema n²o foi alcan´ado por haver um maior volume de @gua

armazenado tanto no reservatÆrio quanto em leito de rio, fazendo com que as perdas (evaporativas e em tronsito) sejam maiores. Sendo assim, ocorreram ainda mais perdas hodricas por evapora 20, as quais poderiam ser aproveitadas de forma planejada pelos produtores rurais, gerando renda na agricultura local.

O reservatÆrio Epit®tio Pessoa apresentou comportamento tºpico em todos os cen®tios e em todo o perºodo analisado, apresentando maiores volumes no perºodo chuvoso (abril a maio) e menores nos perºodos com poucas vaz Pes afluentes (agosto a janeiro). Manteve na maior parte do tempo nos quatro cen®tios uma m¶dia de volume acima de 70% da sua capacidade, apresentando potencial de ativa ´²o, mas sendo necess®tio um estudo detalhado que avalie o comportamento do sistema caso ocorra a amplia ´²o de alguma demanda ou a implementa ´²o de uma nova.

O reservatÆrio A cau² tamb¶m apresentou, em todos os cen®ios, um comportamento tºpico no perºodo analisado, por¶m diferentemente do reservatÆrio E pit®io Pessoa, seu potencial de ativa′²o ¶ bastante reduzido, devido — alta demanda do canal de integra′²o A cau²-A ra′agi que sobrecarrega o reservatÆrio, fazendo com que n²o haja vaz²o defluente desse reservatÆrio para pereniza′²o do rio Paraºba, mesmo com as ®guas do PISF.

Os reservat/Ærios Po´Þes e Camalaß n² o utilizam toda a sua disponibilidade, por apresentarem um espelho d´®gua menor que dos reservatÆrios Epit®rio Pessoa e A cau² e por serem mais prÆximos da entrada das ®guas do PISF no Estado da Paraºba, rapidamente atingem a capacidade m®rima e o volume excedente ¶ liberado para o trecho do rio Paraºba a jusante.

Contanto, recomendam-se para trabalhos futuros:

- ¿ Estabelecimento de uma vaz²o firme para o canal de integra´²o A cau²-A ra´agi de modo que n²o haja alguma demanda reprimida no sistema e que n²o gere conflitos pelo uso da ®gua na bacia;
- Estabelecimento de uma vaz²o para a pereniza²o do rio Para⁰ba a jusante do reservatÆrio A cau² de modo a atender poss⁰veis demandas a jusante do mesmo e garantindo as condi² pes ecolÆgicas do rio;
- ¿ A proveitamento, principalmente para usos n² o consuntivos (pr®ica da piscicultura e/ou carcinocultura), dos reservatÆrios Po´Þes e Camalaß desde que sejam realizados estudos de viabilidade, para evitar ocorr, ncia de problemas futuros;

¿ A umento da ®ea agrºcola do sistema, por causa, da vaz² o ex Agena do PISF, o que causar®uma diminui ´² o das perdas hºdricas e um melhor aproveitamento da ®gua.

Contudo, essa pesquisa tamb¶m pode ser implementada no Eixo Norte do PISF, ampliando a vis² o dos gestores e possibilitando uma melhor tomada de decis² o.

REFERNNCIAS

A ESA ¯ A g, ncia Executiva de Gest² o das Ξ guas do Estado da Paraºba. Disponºvel em: < http://www.aesa.pb.gov.br/aesa-website>. A cesso em: 15/01/2018.

ANA ¯ Ag, ncia Nacional das Ξ guas. RESOLU¤ ū́O Nł 67, DE 11 DE SETEMBRO DE 2018. Aprova as tarifas para a presta ´² o do servi ´o de adu ´² o de @gua bruta do Projeto de Integra ´² o do Rio S² o Francisco com Bacias Hidrogr@ficas do Nordeste Setentrional ¯ PISF pela CODEVASF, para o ano de 2018, com fundamento no art. 4é, inciso XIX da Lei né 9.984, de 2000. Disponºvel em: http://arquivos.ana.gov.br/resolucoes/2018/0067-2018_Ato_Normativo.pdf?150511. A cesso em: 08/11/2018.

ANA ¯ Ag, ncia Nacional das Ξ guas. RESOLU¤ ú O CONJUNTA ANA/AESA-PB Nł 87, DE 05 DE NOVEMBRO DE 2018. Estabelece as condi ´Pes de uso de recursos hºdricos superficiais e subterr° neos para o Sistema Hºdrico Rio Paraºba - Boqueir² o, no Estado da Paraºba, durante o perºodo de pr¶opera ´² o do Projeto de Integra ´² o do Rio S² o Francisco com as Bacias Hidrogr®ficas do Nordeste Setentrional - PISF. Disponºvel em: http://arquivos.ana.gov.br/resolucoes/2018/0087-2018_Ato_Normativo.pdf?154812. A cesso em: 10/11/2018.

ASSIS, L. F., VIEIRA, A. S.; Modelo de Cobran´a Pelo Uso Da Egua: Estima´² o e An®ise da Arrecada´² o na Sub-Bacia Do Rio Do Peixe No Sert² o Da Paraºba. XXI SimpÆsio Brasileiro de Recursos Hºdricos, ¯ Brasºlia ¯ DF, 2015.

BARROS, S. V. A. Otimiza ´² o dos usos mßltiplos em pequenos a ´udes na bacia do a ´ude de Sum¶PB. Disserta ´² o de Mestrado, Curso de PÆ-Gradua ´² o em Engenharia Civil, ®ea de concentra ´² o: Recursos hºdricos e Sanit®ia - Universidade Federal de Campina Grande, Campina Grande - PB, 2010.

BASHIRI-ATRABI, H., QADERI, K., RHEINHEIMER, DE et al. Application of Harmony Search Algorithm to Reservoir Operation Optimization. Water Resources Management. Vol. 29: p. 5729⁻5748, 2015.

BRASIL. Lei Federal nł 9.433, de 8 de janeiro de 1997. Institui a Polºtica Nacional de Recursos Hºdricos, cria o Sistema Nacional de Gerenciamento de Recursos Hºdricos, regulamenta o inciso XIX do art. 21 da Constitui ´² o Federal, e altera o art. 1ł da Lei nł 8.001, de 13 de mar ´o de 1990, que modificou a Lei nł 7.990, de 28 de dezembro de 1989.Di®io Oficial da Uni² o, Brasºlia, 9 de janeiro de 1997. Disponºvel em: http://www.planalto.gov.br/ccivil 03/LEIS/L9433.htm>. A cesso em 20/02/2018.

- BRITO, F. B. de. O conflito pelo uso da @gua do a´ude Epit@cio Pessoa (Boqueir² o) PB. 208 f. Disserta´²o (Mestrado em Geografia) Universidade Federal da Paraºba, Programa de PÆs-Gradua´²o em Geografia. Jo²o Pessoa PB, 2008.
- CELESTE, A. B. Determina ´² o e An®ise de Indicadores de Desempenho e de Sustentabilidade de Seis A´udes na Bacia do Rio PiancÆPB e de Suas Potenciais Demandas. Disserta ´² o de Mestrado em Engenharia Civil e Ambiental Universidade Federal de Campina Grande, Campina Grande PB, 2006.
- DINIZ, L. S. Regionaliza ´² o de par° metros de modelos chuva-vaz² o usando redes neurais. Tese (Doutorado em Engenharia de Recursos Hºdricos e Saneamento A mbiental) ¯ Universidade Federal do Rio Grande do Sul, Porto A legre ¯ RS, 2008.
- DNOCS Departamento Nacional de Obras Contra as Secas. Disponvel em: http://www.dnocs.gov.br/~dnocs/doc/canais/barragens/Barragem%20da%20Paraiba/pocoes.htm. A cesso em: 20/01/2018.
- FARIAS, E. E. V. Distribui´² o da ®gua do projeto de integra´² o do Rio S² o Francisco no estado da Paraºba eixo leste: an®ise de perdas. Disserta´² o de mestrado, Curso de PÆs-gradua´² o em Engenharia Civil, ®ea de concentra´² o: Recursos Hºdricos Universidade Federal de Campina Grande, Campina Grande-PB, 2009.
- FARIAS, E.E.V.; CURI, W. F.; DINIZ, L. S. . S² o Francisco river Integration Project, Eastern Axis: losses analysis and performance indicators. Revista Brasileira de Recursos H^odricos, v. 22, p. 1, 2017.
- GOLDBARG, M.C.; LUNA, H. P.L.; GOLDBARG, E.F.G. Programa '2 o linear e fluxos em redes. 1. ed. Rio de Janeiro: Elsevier, 2015.

HAMID-REZA ASGARI; OMID BOZORG HADDAD; MARYAM PAZOKI; AND HUGO A. LOE ICIGA. Weed Optimization Algorithm for Optimal Reservoir Operation. Journal of Irrigation and Drainage Engineering. Vol. 142. 2016.

HASHIMOTO, T.; STEDINGER, J. R.; LOUCKS, D. P. Reliability, resiliency, and vulnerability criteria for water resource system performance evaluation. Water Resources Research, v. 18, n. 1, p. 14-20, 1982.

IBGE [−] Instituto Brasileiro de Geografia e Estat°stica. Dados HistÆricos dos Censos. Dispon°vel em:

https://ww2.ibge.gov.br/home/estatistica/populacao/censohistorico/default_hist.shtm>. A cessoem: 13/07/2018.

LABADIE, J. W. Optimal Operation of Multireservoir Systems: State-Of-The-Art Review.Journal of Water Resources Planning and Management, v. 130. n. 2, p. 93-11. 2004.

LANNA, A. E. L. Introdu´² o. In: T¶cnicas quantitativas para o gerenciamento de recursos hºdricos. Porto A legre. E ditora da Universidade / UFRGS ¯ ABRH, p.15-41, 1997.

LANNA, A. E. Introdu´²o. In: PORTO, R. L. L. (Org.). T¶cnicas Quantitativas para o Gerenciamento de Recursos H°dricos. 2. ed. Porto A legre: Editora da Universidade/UFRGS, p. 16-41, 2002.

LIMA, C. A. G. An®ise e sugestÞes para diretrizes de uso das disponibilidades hºdricas superficiais da bacia hidrogr®ica do rio PiancÆ situada no estado da Paraºba.Tese de Doutorado, Curso de PÆ-Gradua´²o em Recursos Naturais - Universidade Federal de Campina Grande, Campina Grande - PB, 2004.

LOUCKS, D. P.; STEDINGER, J. R.; HAITH, D. A. Water Resource Systems Planning and Analysis. Prentice-Hall, Englewood Cliffs, New Jersey, 1981.

LOPES, J. E. G.; BRAGA, B. P. F.; CONEJO, J. G. L. Simula 2 o Hidrol Agica: Aplica Pes de um modelo simplificado. In: IV Simp Asio Brasileiro de Recursos Horicos, Fortaleza, CE, Brasil. Anais... Fortaleza/CE: ABRH, p. 42-62, 1981.

LOUCKS, D. P. Sustainable water resources management. Water International Resource Association, v. 25, n. 1 p. 3-10, mar. 2000.

MAUAD, F. F. Planejamento Integrado de Recursos Hidroenerg¶ticos: O conflito de usos Mßltiplos da Egua no Aproveitamento Hidroel¶trico de Alqueva em Portugal. Faculdade de Engenharia Mec°nica, Universidade Estadual de Campinas - UNICAMP. Tese de Doutorado, 2000.

MENDOZA, C.J.C1, FRIZZONE, J.A. Economia de energia em irriga ´² o por piv× central em fun ´² o da melhoria na uniformidade da distribui ´² o de @gua. Revista Brasileira de Agricultura Irrigada, Fortaleza v.6, n. 3, p.184 ¯ 197, 2012.

MING, B., LIU, P., BAI, T. et al. Improving Optimization Efficiency for Reservoir Operation Using a Search Space Reduction Method. Water Resources Management. Vol. 31, p. 1173-1190, 2017.

NEPOMUCENO, T. C. Modelo para simula ´² o de nitrog¸ nio e fÆsforo em sistemas de recursos hºdricos, aplica ´² o em regi² o do alto curso do rio Piranhas-PB. Disserta ´² o (Mestrado em Recursos Hºdricos e Saneamento) - Universidade Federal de Campina Grande, Campina Grande ¯ PB, 2018.

OLIVEIRA, G. M.; LEIT ÜO, M. M. V. B. R.; GALV ÜO, C. O.; LEIT ÜO, T. H. V. Estimativa da Evapora ´² o e Analise de Uso do Coeficiente (kp) do Tanque `Classe A_ nas Regi Pes do Cariri e Sert² o da Paraºba. Revista Brasileira de Recursos Hºdricos, v. 10, n. 4,p. 73-83. 2005.

OLIV EIRA, D. S. L. An@ise de alternativas para o uso das @guas do Projeto de Integra ´² o do rio S² o Francisco do Eixo Leste no estado da Paraºba atrav¶s de um modelo de otimiza ´² o multiobjetivo. Disserta ´² o (Mestrado em Recursos Hºdricos e Saneamento) ¯ Universidade Federal de Campina Grande, Campina Grande ¯ PB, 2013.

PAN, L., HOUSH, M., LIU, P., CAI, X., and CHEN, X. Robust stochastic optimization for reservoir operation. Water Resources Research. Vol. 51, p.409⁻ 429, 2015.

PERH-PB. Plano estadual de recursos hºdricos: Resumo executivo e atlas. Governo Estadual da Paraºba: Secretaria de Estado da Ci¸ ncia e Tecnologia e do Meio A mbiente, SECTMA; Ag¸ ncia Executiva de Gest² o das E guas do Estado da Paraºba ESA Brasºlia, DF: ConsÆcio TC/BR Concremat, 2006.

PESSOA, M. F., ASSIS, L. F., VIEIRA, A. S.; Planejamento Φtimo da Ξ gua na A gricultura Irrigada: Um Estudo de Caso em Um Perºmetro Paraibano. Revista Ibero-A mericana de Ci, ncias A mbientais. v. 7, n. 1 2016.

PIZZOLATO, N. D.; GANDOLPHO, A. A. T¶cnicas de otimiza 2 o. Rio De Janeiro: Editora Ltc. 225 P, 2013.

REGO, J. C.; ALBUQUERQUE, J. P. T.; RIBEIRO, M. M. R. (2000). Uma An®ise da Crise de 1998-2000 no Abastecimento D ®gua de Campina Grande - PB. In: V SIMPΦSIO DE RECURSOS HPDRICOS DO NORDESTE, Natal, RN, Brasil. A naisǔ Natal/RN: 21 a 24 de Novembro de 2000, CD-ROM.

- RIMA RelatÆrio de Impacto sobre o Meio Ambiente do Projeto de integra´² o do rio S² o Francisco com bacias hidrogr®icas do nordeste setentrional, Brasºlia, Junho 2004. MI Minist¶rio da Integra´² o Nacional.
- ROS, D. A.; BARROS, M. Estrat¶gias Operacionais de Sistemas Hidroenergeticos: Impactos de Diferentes Objetivos. In: XV SimpÆsio Brasileiro de Recursos H°dricos. Curitiba, 2003. CD-ROM
- SALLA, M. R., ARQUIOLA, J. P., SOLERA, A., ELVAREZ, J. A., PEREIRA, C. E., ALAMY FILHO, J. E., OLIVEIRA, A. L. Sistema de Suporte Decis² o em Recursos H°dricos na Bacia Hidrogr®ica do Rio Uberabinha, Minas Gerais. Revista Brasileira de Recursos H°dricos, v. 19, n. 1, p. 189 204, 2014.
- SANTOS, V. da S. Um modelo de otimiza ´² o multiobjetivo para an®ise de sistemas de recursos hºdricos. Disserta ´² o de Mestrado, Curso de PÆ-Gradua ´² o em Engenharia Civil, ®ea de concentra ´² o: Engenharia Hidr®ulica Universidade Federal de Campina Grande, Campina Grande PB, 2007.
- SANTOS, V. da S. Modelo de otimiza ´² o quali-quantitativo multiobjetivo para o planejamento dos recursos hºdricos superficiais, com aplica ´² o ¯ bacia do rio Paraºba. T ese de Doutorado, Curso de PÆs-Gradua ´² o em Recursos Naturais Universidade Federal de Campina Grande, Campina Grande PB, 2011.
- SANTOS, V. DA S.; CURI, W. F.; CURI, R. C.; VIEIRA, A. S. Um Modelo de Otimiza´² o Multiobjetivo para An®ise de Sistema de Recursos H°dricos I: Metodologia. Revista Brasileira de Recursos H°dricos, v.16, p.49-60, 2011.
- SANTOS, V. DA S.; CURI, W. F.; CURI, R. C.; VIEIRA, A. S. Um Modelo de Otimiza '2 o Multiobjetivo para An®ise de Sistema de Recursos Hºdricos II: Aplica '2 o. Revista Brasileira de Recursos Hºdricos, v.16, p.61-71, 2011.
- SILVA, W. P. et al. `LAB Fit Ajuste de Curvas_: Um software em portugu¸ s para tratamento de dados experimentais. R evista Brasileira de Ensino de F°sica, v. 26, n. 4, p. 419 427, nov. 2004.
- SIMONOVIC, S. P. Reservoir system analysis: closing gap between theory and practice. Journal of Water Resources Planning and Management. 118 (3), p.262-280, 1992.

SNIS - Sistema Nacional de Informa´Þes sobre Saneamento. S¶rie HistÆrica. Dispon⁰vel em: http://app3.cidades.gov.br/serieHistorica/#. A cesso em: 15/09/2018.

SRINIVASAN, K., NEELAKANTAN, T. R., NARAYAN, P. S., NAGARAJUKUMAR, C. Mixed-Integer programming model for reservoir performance optimization. Journal of Water Resources Planning and Management. 125 (5), p. 298-301, 1999.

TC/BR RIVERSIDE TECHONLOGY. Plano diretor de recursos hºdricos da bacia hidrogr@fica do Rio Paraºba. Jo² o Pessoa: SEMARH/PB, 2001.

TIANTIAN YANG, XIAOGANG GAO, SCOTT LEE SELLARS and SOROOSH SOROOSHIAN. Improving the multi-objective evolutionary optimization algorithm for hydropower reservoir operations in the California Oroville Thermalito complex. Environmental Modelling & Software. Vol. 69, p. 262-279, 2015.

VIEIRA, V. P. P. B. Recursos H°dricos e o Desenvolvimento Sustent®vel do Semi®ido Nordestino. Revista Brasileira de Recursos H°dricos, v.1, n.1, p. 91-107, 1996.

VIEIRA, Z. M. C. L. Metodologia de an®ise de conflitos na implanta ´² o de medidas de gest² o da demanda de ®gua. Tese (Doutorado em Recursos Naturais) ¯ Universidade Federal de Campina Grande, Campina Grande - PB, 2008.

VIEIRA, A. S.; CURI, W. F.. Evidencia 2 o dos modelos de simula 2 o e t¶cnicas para o planejamento integrado dos sistemas hºdricos. Revista Gest2 o & Sustentabilidade A mbiental. V ol. 5, p. 233-266, 2016.

WURBS, R. A. Reservoir-system simulation and optimization models. Journal of Water Resources Planning and Management. 119 (4), p.455-472, 1993.

YANGYANG LI, QUAN CUI, CHUNHUI LI, XUAN WANG, YANPENG CAI, GUANNAN CUI and ZHIFENG YANG. An improved multi-objective optimization model for supporting reservoir operation of China's South-to-North Water Diversion Project. Science of The Total Environment. Vol. 575, p. 970-981, 2017.

Y EH, W. W-G. Reservoir Management and Operation Models: a State-of-the-Art Review. Water Resources Research, v. 21, n. 12, p. 1797-1818. 1985.

ZHONG-KAI FENG, WEN-JING NIU, CHENG CHUN-TIAN and SHENG-LI LIAO. Hydropower system operation optimization by discrete differential dynamic programming based on orthogonal experiment design. Energy. Vol. 126, p. 720-732, 2017.

ANEXOS

A NEX O 1 $^-$ Consumo per capita e perdas na distribui $^{\prime 2}$ o dos munic $^{\circ}$ pios

| MUNICPPIOS | CONSUMO PER CAPITA (L/HAB.DIA) | PERDA NA DISTRIBUI¤ ú́ O (%) | PER CAPITA + PERDA (L/HAB.DIA) | PROGRESSŰO POPULACIONAL - 2024 | CONSUMO (MEANO) |
|---------------------------------|--------------------------------------|------------------------------------|--------------------------------------|--------------------------------------|--------------------|
| CAMALAΩ | 98,7 | 40,73 | 138,9 | 3288 | 166697,28 |
| Sű O J Oű O D O TIGRE | 90,2 | 11,9 | 100,93 | 2100 | 77365,75 |
| Sű O SEBASTIÚ O DO UMBUZEIRO | 139,2 | 19,11 | 165,8 | 2798 | 169327,70 |
| ZABELN | 90,2 | 11,9 | 100,93 | 1816 | 66902,95 |
| AMPARO | 124,6 | 14,2 | 142,29 | 1646 | 85488,33 |
| CONGO | 79,3 | 50,55 | 119,38 | 4832 | 210558,96 |
| COXIXOLA | 121,3 | 37,35 | 166,6 | 853 | 51871,8 |
| DESTERRO | 54,3 | 59,08 | 86,38 | 6742 | 212567,57 |
| GURJűO | 105,2 | 17,31 | 123,41 | 2727 | 122836,88 |
| LIVRAMENTO | 87,1 | 25,59 | 109,38 | 5029 | 200792,60 |
| MONTEIRO | 97,7 | 10,69 | 108,14 | 24153 | 953381,88 |
| OURO VELHO | 102 | 22,01 | 124,45 | 2363 | 107337,67 |
| PARARI | 95,8 | 26,96 | 121,62 | 1075 | 47723,66 |
| PRATA | 90 | 28,79 | 115,91 | 2809 | 118841,8 |
| SANTO ANDR§ | 121,3 | 37,35 | 166,6 | 1109 | 67439,42 |
| SŰO JOŰO DO CARIRI | 92,6 | 20,03 | 111,14 | 3202 | 129901,74 |
| SűOJOS§ DOS CORDEIROS | 90,2 | 11,9 | 100,93 | 2030 | 74786,89 |
| SERRA BRANCA | 97,5 | 28,54 | 125,32 | 9048 | 413893,27 |
| SUM§ | 98,7 | 45,25 | 143,36 | 13384 | 700345,08 |
| TAPEROE | 97,5 | 28,54 | 125,32 | 9771 | 446966,3 |
| ASSUN¤ ű O | 145,8 | 20 | 174,96 | 4457 | 284625,8 |
| JUNCO DO SERIDΦ | 125,9 | 2,27 | 128,75 | 5743 | 269901,72 |
| ΤΕΝΦRΙΟ | 145,8 | 20 | 174,96 | 2426 | 154925,33 |
| BOA VISTA | 91,9 | 15,37 | 106,02 | 4009 | 155144,83 |
| BOQUEIRŰO | 88,2 | 31,5 | 115,98 | 14656 | 620444,09 |
| CABACEIRAS | 95,5 | 37,76 | 131,56 | 3111 | 149389,26 |
| JUAZEIRINHO | 88,3 | 17,63 | 103,86 | 10127 | 383930,37 |
| OLIVEDOS | 85,2 | 16,79 | 99,50 | 2315 | 84079,3 |
| SOLEDADE | 85,7 | 10,05 | 94,31 | 12893 | 443831,08 |
| ALCANTIL | 108,6 | 2,27 | 111,06 | 2782 | 112778,95 |
| POCINHOS | 111,5 | 21,33 | 135,28 | 14310 | 706603,14 |
| PUX INANŰ | 88 | 38,83 | 122,17 | 6358 | 283517,18 |
| BARRA DE SÚO MIGUEL | 108,6 | 2,27 | 111,06 | 2904 | 117724,69 |
| CAMPINA GRANDE | 97,1 | 24,53 | 120,91 | 397044 | 17523656,03 |

| CATURIT§ | 106,3 | 34,27 | 142,72 | 4261 | 221981,43 |
|----------------------------------|-------|-------|--------|--------|-------------|
| MASSARANDUBA | 88 | 38,83 | 122,17 | 6146 | 274063,63 |
| LAGOA SECA | 89,9 | 18,53 | 106,55 | 13063 | 508070,25 |
| QUEIMADAS | 81,7 | 16 | 94,77 | 29465 | 1019246,79 |
| RIACHO DE SANTO ANTX NIO | 27,7 | 6,18 | 29,41 | 1347 | 14460,48 |
| AROEIRAS | 91,2 | 46,97 | 134,03 | 15760 | 771032,36 |
| FAGUNDES | 83,7 | 36,64 | 114,36 | 5968 | 249129,4 |
| GADO BRAVO | 106,3 | 34,27 | 142,72 | 947 | 49334,99 |
| INGE | 89,1 | 29,49 | 115,37 | 10375 | 436912,93 |
| ITABAIANA | 142,7 | 47,76 | 210,85 | 20393 | 1569476,57 |
| ITATUBA | 89,7 | 23,29 | 110,59 | 7374 | 297657,13 |
| JUAREZ TEVORA | 86,2 | 13,47 | 97,81 | 6303 | 225023,81 |
| JURIPIRANGA | 95,4 | 58,74 | 151,43 | 10546 | 582928,62 |
| MOGEIRO | 128,8 | 59,47 | 205,39 | 6868 | 514894,21 |
| PILAR | 91,2 | 46,97 | 134,03 | 9468 | 463206,5 |
| RIACHŰ O DO BACAMARTE | 53,7 | 36,19 | 73,13 | 3472 | 92681,29 |
| RIACHŰO DO PO¤O | 106,3 | 34,27 | 142,72 | 1448 | 75435,13 |
| SALGADO DE SÚO F§LIX | 101,3 | 57,08 | 159,12 | 6812 | 395637,85 |
| SÚO MIGUEL DE TAIPU CALDAS | 185,8 | 2,27 | 190,01 | 4362 | 302532,8 |
| BRANDŰO | 93,5 | 29,24 | 120,83 | 5233 | 230808,69 |
| GURINH§M | 89,2 | 19,78 | 106,84 | 7224 | 281721,35 |
| MARI | 96,2 | 30,27 | 125,31 | 17596 | 804871,04 |
| SAP§ | 86,4 | 34,3 | 116,03 | 41146 | 1742650,28 |
| SOBRADO | 96,7 | 17,57 | 113,69 | 1809 | 75067,92 |
| BAYEUX | 100,3 | 43,18 | 143,60 | 111399 | 5839255,08 |
| CABEDELO | 160,4 | 42,23 | 228,13 | 99401 | 8277118,86 |
| CRUZ DO ESPRITO SANTO | 105,4 | 62,34 | 171,1 | 11407 | 712410,74 |
| JOű O PESSOA | 148,9 | 40,28 | 208,87 | 893811 | 68144218,39 |
| SANTA RITA | 113 | 41,13 | 159,47 | 134816 | 7847513,77 |
| NATUBA | 85,7 | 18,87 | 101,87 | 3733 | 138804,62 |
| UMBUZEIRO | 111,1 | 17,1 | 130,09 | 3447 | 163683,57 |
| CARAΩBAS | 60,9 | 50,74 | 91,8 | 2705 | 90637,08 |
| SÚO DOMINGOS DO CARIRI | 90,1 | 25,91 | 113,44 | 1955 | 80951,45 |
| ARA¤AGI | 100 | 28,33 | 128,33 | 8202 | 384185,37 |
| CUITEGI | 83,2 | 37,04 | 114,01 | 5786 | 240791,95 |
| GUARABIRA | 117,5 | 37,41 | 161,45 | 57731 | 3402186,76 |
| ITAPOROROCA | 48,4 | 0 | 48,4 | 14662 | 259018,89 |
| MAMANGUAPE | 106,2 | 31,91 | 140,08 | 37614 | 1923289,32 |
| PILOEZINHOS | 87,9 | 44,43 | 126,95 | 3610 | 167280,89 |
| RIO TINTO | 110,2 | 45,92 | 160,80 | 13880 | 814664,41 |
| | | | | | |

A NEX O 2 - Rela´²o Cota x E rea x V olume dos reservatÆrios

| RESERVATΦRIO | COTA(m) | ΞREA (mД | VOLUME (mB) |
|----------------------|---------|------------|-------------|
| | 32,00 | 0 | 0 |
| | 33,00 | 3.750 | 1.875 |
| | 34,00 | 11.000 | 9.250 |
| | 35,00 | 59.500 | 44.500 |
| | 36,00 | 219.000 | 183.750 |
| | 37,00 | 577.750 | 582.125 |
| S | 38,00 | 992.000 | 1.367.000 |
| " _ П | 39,00 | 1.579.500 | 2.652.750 |
| »⊓ ¤ | 40,00 | 2.167.250 | 4.526.125 |
| PO¤ | 41,00 | 2.838.750 | 7.029.125 |
| <u> </u> | 42,00 | 3.640.250 | 10.268.625 |
| | 43,00 | 4.596.250 | 14.386.875 |
| | 44,00 | 5.756.000 | 19.563.000 |
| | 45,00 | 7.107.000 | 25.994.500 |
| | 46,00 | 8.381.250 | 33.728.625 |
| | 47,00 | 8.615.250 | 42.716.875 |
| | 48,00 | 11.603.000 | 53.326.000 |
| RESERVATΦRIO | COTA(m) | ΞREA (m2) | VOLUME (m3) |
| | 305,00 | 26.000 | - |
| | 306,00 | 79.680 | 52.840 |
| | 307,00 | 133.360 | 159.360 |
| | 308,00 | 187.040 | 319.560 |
| | 309,00 | 240.720 | 533.440 |
| | 310,00 | 294.400 | 801.000 |
| | 311,00 | 327.840 | 1.112.120 |
| | 312,00 | 361.280 | 1.456.680 |
| | 313,00 | 394.720 | 1.834.680 |
| | 314,00 | 428.160 | 2.246.120 |
| | 315,00 | 461.600 | 2.691.000 |
| Q | 316,00 | 906.400 | 3.375.000 |
| j | 317,00 | 1.351.200 | 4.503.800 |
| ∀ ⋝ | 318,00 | 1.796.000 | 6.077.400 |
| CAMALAΩ | 319,00 | 2.240.800 | 8.095.800 |
| O | 320,00 | 2.685.600 | 10.559.000 |
| | 321,00 | 3.363.920 | 13.583.760 |
| | 322,00 | 4.042.240 | 17.286.840 |
| | 323,00 | 4.720.560 | 21.668.240 |
| | 324,00 | 5.398.880 | 26.727.960 |
| | 225.00 | 6.077.200 | 22.466.000 |
| | 325,00 | 0.077.200 | 32.466.000 |

| 1 | 226.00 | C 00F 7C0 | 20.007.400 |
|--------------|---------|------------|-------------|
| | 326,00 | 6.985.760 | 38.997.480 |
| | 327,00 | 7.894.320 | 46.437.520 |
| | 328,00 | 8.802.880 | 54.786.120 |
| | 329,00 | 9.711.440 | 64.043.280 |
| | 330,00 | 10.620.000 | 74.209.000 |
| | | | |
| RESERVATORIO | COTA(m) | ΞREA (m2) | VOLUME (m3) |
| | 343,00 | 37223 | 16994 |
| | 344,00 | 70593 | 69800 |
| | 345,00 | 142867 | 174286 |
| | 346,00 | 257180 | 366771 |
| | 347,00 | 421869 | 707956 |
| | 348,00 | 631536 | 1230617 |
| | 349,00 | 873903 | 1981542 |
| | 350,00 | 1158564 | 2990176 |
| | 351,00 | 1506467 | 4314820 |
| | 352,00 | 1866251 | 5996469 |
| | 353,00 | 2261179 | 8058687 |
| | 354,00 | 2697741 | 10529191 |
| | 355,00 | 3217443 | 13477904 |
| | 356,00 | 3859121 | 17006273 |
| | 357,00 | 4556783 | 21217917 |
| 0 | 358,00 | 5260937 | 26112154 |
| Αů | 359,00 | 6158316 | 31819531 |
| EI | 360,00 | 7030425 | 38416664 |
| BOQUEIRŰ(| 361,00 | 8029009 | 45934680 |
| 0 | 362,00 | 8999597 | 54453579 |
| Ω | 363,00 | 10013408 | 63965416 |
| | 364,00 | 11031533 | 74490376 |
| | 365,00 | 12260463 | 86139409 |
| | 366,00 | 13693060 | 99074597 |
| | 367,00 | 15486319 | 113650769 |
| | 368,00 | 17365964 | 130099018 |
| | 369,00 | 19443185 | 148504719 |
| | 370,00 | 21743159 | 169122415 |
| | 371,00 | 24290550 | 192184935 |
| | 372,00 | 26752308 | 217765387 |
| | 373,00 | 29120116 | 245796027 |
| | 374,00 | 31256425 | 276130869 |
| | 375,00 | 33046998 | 308486064 |
| | 376,00 | 34539523 | 342495505 |
| | 377,00 | 36142787 | 377846134 |
| | 377,55 | 38135841 | 397990704 |
| | 377,90 | 39623321 | 411686287 |
| | I | | |

| RESERVATΦRIO | C ota(m) | Ξ rea (m2) | V olume (m3) |
|--------------|----------|------------|--------------|
| | 90 | 140000 | 0 |
| | 94 | 380000 | 2000000 |
| | 98 | 980000 | 4800000 |
| | 100 | 1410000 | 7000000 |
| | 104 | 2560000 | 14500000 |
| | 108 | 4090000 | 27500000 |
| | 112 | 5960000 | 47600000 |
| <u>`:</u> ⊐ | 114 | 7020000 | 60800000 |
| ACAUű | 116 | 8140000 | 76100000 |
| Ö | 118 | 9340000 | 93800000 |
| ⋖ | 120 | 10590000 | 114000000 |
| | 122 | 11880000 | 136600000 |
| | 124 | 13200000 | 161800000 |
| | 126 | 14550000 | 189500000 |
| | 128 | 15900000 | 220100000 |
| | 130 | 17250000 | 253100000 |
| | 132 | 18570000 | 288800000 |

Fonte: AESA (2018)

A NEX O 3 ⁻ V az Þes afluentes provenientes dos reservat Ærios a montante do reservat Ærio Boqueir² o

| MNS - ANO | VAZŰO (ME∕S) | MNS - ANO | VAZŰO (ME⁄S) |
|-----------|--------------|-----------|--------------|
| J an-12 | 0,006 | Jan-15 | 9,1115E-05 |
| Fev-12 | 0,064 | Fev-15 | 0,016 |
| Mar-12 | 0,002 | Mar-15 | 1,246 |
| A br-12 | 0 | A br-15 | 1,266 |
| Mai-12 | 0,008 | Mai-15 | 0,003 |
| J un-12 | 0,248 | J un-15 | 0,024 |
| J ul-12 | 0,064 | J ul-15 | 0,585 |
| Ago-12 | 0,009 | Ago-15 | 0,002 |
| Set-12 | 0 | Set-15 | 0,001 |
| Out-12 | 0 | Out-15 | 0 |
| Nov-12 | 0 | Nov-15 | 0 |
| Dez-12 | 0 | Dez-15 | 0,005 |
| J an-13 | 0 | Jan-16 | 3,477 |
| Fev-13 | 0 | Fev-16 | 2,833 |
| Mar-13 | 0 | Mar-16 | 5,812 |
| A br-13 | 0,02 | A br-16 | 3,591 |
| Mai-13 | 0,045 | Mai-16 | 0,844 |
| | | | |

| Jun-13 | 0,107 | Jun-16 | 0,011 |
|---------|--------|---------|--------|
| J ul-13 | 0,088 | J ul-16 | 0,0003 |
| Ago-13 | 0,051 | Ago-16 | 0 |
| Set-13 | 0,011 | Set-16 | 0 |
| Out-13 | 0,0001 | Out-16 | 0 |
| Nov-13 | 0,0029 | Nov-16 | 0 |
| Dez-13 | 0,015 | Dez-16 | 0 |
| J an-14 | 0 | J an-17 | 0 |
| Fev-14 | 0,174 | Fev-17 | 0 |
| Mar-14 | 0,115 | Mar-17 | 0 |
| A br-14 | 13,616 | A br-17 | 3,729 |
| Mai-14 | 10,598 | Mai-17 | 2,911 |
| J un-14 | 1,62 | J un-17 | 1,85 |
| J ul-14 | 3,011 | J ul-17 | 1,872 |
| Ago-14 | 0,269 | Ago-17 | 0,338 |
| Set-14 | 0,038 | Set-17 | 0,005 |
| Out-14 | 0,01 | Out-17 | 0 |
| Nov-14 | 0 | Nov-17 | 0 |
| Dez-14 | 0 | Dez-17 | 0 |
| | | | • |